



TESIS-TM142502

# **PENGARUH SUDUT BLADE FAN RADIATOR GAS TURBIN GENERATOR TERHADAP PERFORMANSI AUXILIARY COOLING WATER SYSTEM**

ERRYAWAN KUSUMA  
21116207702

DOSEN PEMBIMBING  
Dr.Ir. Agus Sigit Pramono DEA

PROGRAM MAGISTER  
BIDANG KEAHLIAN MANAJEMEN ENERGI  
KERJASAMA PT PJB  
DEPARTEMEN TEKNIK MESIN  
FAKULTAS TEKNOLOGI INDUSTRI  
INSTITUT TEKNOLOGI SEPULUH NOVEMBER  
SURABAYA  
2018

( Halaman ini sengaja dikosongkan )



---

TESIS-TM142502

## **EFFECT OF FAN BLADE ANGLE RADIATOR GAS TURBIN GENERATOR ON PERFORMANCE AUXILIARY COOLING WATER SYSTEM**

ERRYAWAN KUSUMA  
21116207702

SUPERVISOR  
Dr.Ir. Agus Sigit DEA

MASTER PROGRAM  
FIELD STUDY OF ENERGY MANAGEMENT  
IN COOPERATION WITH PT.PJB  
MECHANICAL ENGINEERING DEPARTEMENT  
FACULTY OF INDUSTRIAL TECHNOLOGY  
SEPULUH NOPEMBER INSTITUTE OF TECHNOLOGY  
SURABAYA  
2018

( Halaman ini sengaja dikosongkan )

## **LEMBAR PENGESAHAN TESIS**

**Tesis disusun untuk memenuhi salah satu syarat memperoleh gelar  
Magister Teknik (M.T)**

**di**

**Institut Teknologi Sepuluh Nopember**

**Oleh:**

**Erryawan Kusuma**

**NRP. 021116207702**

**Tanggal Ujian: 20 Juli 2018**

**Periode Wisuda: September 2018**

**Disetujui oleh:**

1. Dr. Ir. Agus Sigit Pramono, DEA.

NIP: 196508101991021001

(Pembimbing)

2. Arif Wahjudi, ST. MT. Ph D..

NIP: 197303222001121001

(Pengaji)

3. Dr. Eng. Unggul Wasiwitono, ST. M.Eng. Sc

NIP: 198005202005011003

(Pengaji)

4. Dr. Eng. Sutikno, ST. MT.

NIP: 197407032000031001

(Pengaji)

**Dekan Fakultas Teknologi Informasi**

**Dr. Bambang Lelono Widjiantoro, S.T., M.T.**

**NIP. 196905071995121001**



# **PENGARUH SUDUT BLADE FAN RADIATOR GAS TURBIN GENERATOR TERHADAP PERFORMANSI AUXILIARY COOLING WATER SYSTEM**

Nama Mahasiswa : Erryawan Kusuma  
NRP : 2116207702  
Pembimbing : Dr.Ir. Agus Sigit DEA

## **ABSTRAK**

System ACWS (Auxiliary Cooling Water System) pada GTG 1.3 (Gas turbin Generator Blok 1 No 3) UP Muara Karang menurun kehandalnya karena 4 fan radiator harus beroperasi akibat naiknya temperatur udara ambient dan bertambahnya interval inspeksi dari setiap 8000 EOH (Equivalent Operating Hours) menjadi 32.000 EOH setelah dilakukan Upgrade. ACWS merupakan salah satu peralatan pendukung dari gas turbin yang berfungsi sebagai pendingin jika temperatur air keluar radiator lebih dari 46°C saat beban 100 MW akan timbul alarm dari akibat temperatur Minyak pelumas mencapai 68°C dan Gas Turbin akan diturunkan bebananya 15-25 MW agar temperatur Minyak pelumas tidak naik ke tempat trip di 73°C. Penelitian ini bertujuan untuk mengoptimalkan kinerja Radiator ACWS dengan meningkatkan mass flow udara cooling fan dengan merubah sudut blade fan agar bisa beroperasi dengan 3 fan on dan 1 fan standby sehingga keandalan dan effisiensi unit bisa terjaga.

Penelitian ini diawali dengan pengambilan data eksperimen kecepatan udara dan ampere motor pada sudut blade cooling fan eksisting dikurangi atau ditambah 2° tiap pengukuran di GTG1.2 yaitu 11°, 13°(eksisting), 15°, 17°, dan 19° dan data operasi diambil dari GTG1.3, kemudian disimulasikan menggunakan software Cycle Tempo pengaruh penambahan mass flow udara akibat perubahan sudut blade fan terhadap temperature outlet radiator serta pemakaian power motor dengan 3 fan on dan input parameter operasi saat kondisi temperature outlet radiator ACWS 46°C.

Hasil dari penelitian ini, validasi hasil perhitungan data eksperimen dan numerik memiliki error dibawah 5%, dengan penambahan sudut blade fan maksimal yang bisa dilakukan adalah 19°, juga di dapat pada sudut 16.7° dengan operasi 3 dari 4 fan on output temperature radiator sebesar 46° dan panas yang dibuang sebesar 627.2 kW dimana nilai ini adalah nilai yang sama dengan kondisi eksisting sekarang. Dari pola operasi 3 dari 4 fan on dengan sudut 16.7° keandalan ACWS meningkat karena adanya fan yang standby operasi serta didapat penghematan pemakaian power motor fan sebesar 14,920 Watt

**Kata kunci :** *Temperatur radiator, Cooling fan ,sudut serang blade fan,Mass flow udara, standby operasi*

# **THE EFFECT OF FAN BLADE RADIATOR GAS TURBIN GENERATOR ANGLE ON AUXILIARY COOLING WATER SYSTEM PERFORMANCE**

By : Erryawan Kusuma  
Student Identity Number : 2116207702  
Supervisor : Dr.Ir. Agus Sigit DEA

## **ABSTRACT**

The Auxiliary Cooling Water System (ACWS) on GTG 1.3 (Gas turbine Generator Blok 1 No 3) UP MuaraKarang has declined of reliability because 4 fans radiator must be operated due to increasing ambient air temperature and increase inspection interval from 8000 EOH (Equivalent Operating Hours) become 32.000 EOH after Upgrade in turbin part. ACWS is one of the supporting equipments of gas turbine that serves as cooling. If radiator water outlet temperature flow over 46°C at 100 MW load it will arise alarm from result of temperature Lubricant oil reach 68°C and Gas Turbine will be lowered its load 15-25 MW to avoid temperature of Oil lubricant did not reach to Trip temperature at 73°C. This study aims to optimize Radiator ACWS performance by increasing the cooling fan air mass flow by changing the fan blade angle so it can be operated with 3 fans on and 1 fan standby so that the reliability and efficiency of the unit can be maintained.

This research began with taking data of air velocity experimental and motor current at reduced or added blade fan angle 2° each measurement at GTG1.2 at 11°, 13°(existing), 15°, 17°, and 19° with operation data taken from GTG1.3. Then it will simulated by Cycle Tempo software and will be analyzed how the influence the addition of air mass flow due to the change of the blade fan angle to the radiator water outlet temperature and the power consumption of the motor with 3 fan operated with input operating parameters when the temperature condition of outlet radiator ACWS 46°C.

The results of this study, validation of experimental and numerical data calculations have errors below 5%. The maximum angle of fan blade that can be set is until 19°. At 16.7° with operation 3 of 4 fan on, radiator temperature output is 46° and heat disposed is 627.2 kW where this value is the same value as the current condition. With operating 3 of 4 fan with the angle 16.7°, reliability of ACWP system increase because of one fan standby on operation and obtained saving usage of motor fan power equal to 14,920 Watt.

**Keywords:** *Radiator outlet temperature , Cooling fan , blade fan angle, Air mass flow , standby operation*

## KATA PENGANTAR

Alhamdulillah segala puji dan syukur kehadirat **Allah SWT**, Tuhan yang maha esa yang selalu memberi anugerah tiada tara pada penulis hingga mampu menyelesaikan Tesis ini dengan judul " Pengaruh Sudut Blade Fan Radiator Gas Turbin Generator Terhadap Performansi Auxiliary Cooling Water System".

Keberhasilan penulisan Tesis ini tentu tidak lepas dari bantuan berbagai pihak. Untuk itu penulis mengucapkan terima kasih yang sebesar-besarnya kepada:

1. **Bapak Ibu** yang senantiasa memberi dukungan, semangat dan doa.
2. **Widya Ningsih**, Istriku, terima kasih ‘bu’ buat kesabaran, motivasi, dukungan dan doa-doanya selama ini.
3. **Alfira Aliya Kusuma dan Dede** diperut ibu, Anak-anak yang paling bapak sayangi yang selalu menghibur hati dan memberikan semangat baru.
4. **Mas Devy, Mbak Ary, Yanu, Pipit dan Fian**, terimakasih doa, dan bantuannya.
5. Kunto Wibisono dkk, makasih banyak support dan dukungannya
6. Semua teman-teman angkatan 1, S2 ini, makasih banyak atas kerjasamanya dan kekompakannya.
7. Bapak Dr.Ir. Agus Sigit DEA., selaku dosen pembimbing yang telah banyak membantu dan memberikan saran dan motivasinya hingga terselesaikan penulisan Tesis ini.
8. Arif Wahjudi, ST. MT. Ph D., Dr. Eng. Unggul Wasiwitono, ST. M.Eng. Sc., MT., Dr. Eng. Sutikno, ST. MT. selaku dosen penguji yang memberi banyak arahan dan masukan
9. Para dosen pengajar, seluruh staf dan karyawan ITS program S2 ini
10. Seluruh jajaran direksi PT. PJB yang telah memberikan kesempatan kepada penulis untuk belajar dan menuntut ilmu di Teknik Mesin FTI ITS Surabaya.
11. UP Muara Karang dan UP Paiton, seluruh rekan-rekan, Mesin Blok 1, staf dan management yang telah banyak membantu dan mensupport

## DAFTAR ISI

HALAMAN JUDUL.....	i
LEMBAR PENGESAHAN .....	v
ABSTRAK .....	vi
ABSTRACT .....	vii
KATA PENGANTAR .....	viii
DAFTAR ISI .....	ix
DAFTAR GAMBAR .....	xi
DAFTAR TABEL .....	xiii
DAFTAR SIMBOL .....	xiv
DAFTAR LAMPIRAN.....	xvi
BAB 1. PENDAHULUAN	
1.1. Latar Belakang .....	1
1.2. Perumusan Masalah.....	3
1.3. Tujuan Penelitian.....	4
1.4. Batasan Masalah.....	5
1.5. Manfaat Penelitian.....	5
BAB 2. KAJIAN PUSTAKA DAN DASAR TEORI	
2.1 Auxiliary Cooling Water System .....	7
2.2 Air Cooled Heat Exchanger (ACHE).....	15
2.3 Penelitian Terdahulu .....	16
2.3.1 Meningkatkan Performa Air-Cooled Heat Exchanger (ACHE)..	16
2.3.2 Efek Sudut Sudu Serangan Dan Rasio Hub Terhadap Ujung Pada Aliran Massa Tingkat Di Kipas Aksial Pada Kecepatan Rotasi Tetap.....	18
2.4 Setting Sudut Blade .....	19
2.5 Perhitungan Daya Motor .....	20
2.6 Peralatan Pengambilan Data Lapangan.....	20
2.7 Pemilihan Software untuk Pemodelan.....	24
2.8 Perpindahan Panas di Radiator .....	37

2.9 Persamaan Pada Splitter.....	39
2.10. Persamaan Pada Mixer.....	40
<b>BAB 3. METODOLOGI PENELITIAN</b>	
3.1 Tahap-tahap Penelitian.....	41
3.2 Permodelan di Cycle Tempo.....	44
3.3 Diagram Alir Penelitian .....	46
3.4 Alokasi Waktu Penelitian.....	48
<b>BAB 4 HASIL DAN PEMBAHASAN</b>	
4.1 Data Perhitungan.....	49
4.1.1 Pengambilan Data Kecepatan Udara tiap Variasi Sudut Blade ..	49
4.1.2 Perhitungan Massa Aliran Udara .....	51
4.1.3 . Perhitungan Perpindahan Panas Eksisting .....	52
4.2. Permodelan system ACWS di Cycle Tempo .....	54
4.2.1. Off-Design Radiator.....	56
4.3. Perhitungan Numerik Cycle Tempo Variasi Massa aliran Udara.	58
4.3.1 Simulasi 3 fan pada sudut blade $13^\circ$ .....	59
4.3.2 Simulasi 3 fan pada sudut blade $15^\circ$ .....	59
4.3.3 Simulasi 3 fan pada sudut blade $17^\circ$ .....	60
4.3.4 Simulasi 3 fan pada sudut blade $19^\circ$ .....	60
4.4 Analisa dan Pembahasan.....	61
4.4.1 Pengaruh variasi Sudut Blade terhadap Temperatur outlet Radiator.....	61
4.4.2 Pengaruh variasi Sudut Blade terhadap Panas yang di Buang ....	62
4.3.3 Ampere Motor pada Variasi Sudut Blade .....	64
<b>BAB 5 KESIMPULAN</b>	
5.1 Kesimpulan .....	67
5.2 Saran.....	67
<b>DAFTAR PUSTAKA</b> .....	71
<b>LAMPIRAN</b> .....	73
<b>BIODATA</b> .....	83

## DAFTAR GAMBAR

Gambar 1.1	Interval Inspeksi GTG 13 sebelum dan sesudah Upgrade .....	2
Gambar 1.2	Ilustrasi beban panas dan kemampuan Cooling Fan .....	4
Gambar 2.1	Skema ACWS .....	8
Gambar 2.2.	Piping Cooling Water System (off-base) .....	9
Gambar 2.3	Cooling Water Pump .....	10
Gambar 2.4.	Heat Exchanger pada Sistem Pelumasan .....	11
Gambar 2.5.	Cooling Air Fan Radiator .....	12
Gambar 2.6.	Gambar Detail Cooling Air Fan .....	13
Gambar 2.7.	Radiator fin tube.....	14
Gambar 2.8.	Komponen ACHE .....	15
Gambar 2.9.	Proses perpindahan panas di Finned Tube ACHE .....	16
Gambar 2.10.	Grafik flow rate pada variasi angle of attack dengan rasio hub to tip 0.2 pada kecepatan 200 rad/sec dengan jumlah blade yang berbeda .....	18
Gambar 2.11.	Fan ACWS (GE,MS 9000 Service Manual Turbin Accessories and Generator, GEK-98786, Volume 1) .....	19
Gambar 2.12.	Gambar Bagian Fan ACWS (GE,MS 9000 Service Manual Turbin Accessories and Generator, GEK-98786, Volume 1) .....	19
Gambar 2.13.	Digital Level .....	21
Gambar 2.14.	Digital Anemometer .....	22
Gambar 2.15.	Ultrasonic Flowmeter Katflow 220 .....	22
Gambar 2.16.	Fluke High-Temperature Infrared Thermometer .....	23
Gambar 2.17.	Efisiensi elektromotor termasuk efisiensi mekanis dari motor dan pompa sebagai fungsi dari daya pada poros pompa .....	25
Gambar 2.18.	Penentuan medium primer dan skunder Heat Exchanger .....	27
Gambar 2.19.	Profil Garis Temperatur Heat Exchanger.....	29
Gambar 2.20.	DELTH/DETLT pada off-design .....	30
Gambar 2.21.	System ACWS di Cycle Tempo.....	37

Gambar 2.22. Type dan Diagram Radiator ACWS .....	37
Gambar 2.23. Radiator di Cycle Tempo.....	38
Gambar 2.24. Pipa Diagram Splitter .....	39
Gambar 2.25. Pipa Diagram Mixer .....	40
Gambar 3.1. Grafik beban, Tambient, Tout oli, Talarm dan T trip terhadap jam .....	42
Gambar 3.2. Posisi pengambilan data .....	43
Gambar 3.3. Permodelan System ACWS Dengan Cycle Tempo .....	45
Gambar 3.4. Permodelan Radiator dengan Cycle Tempo .....	46
Gambar 3.5 Diagram Alir Penelitian .....	47
Gambar 4.1 Grafik kecepatan dan Arus motor terhadap Sudut blade .....	50
Gambar 4.2 Diagram Alir Radiator .....	52
Gambar 4.3 Running ACWS di Cycle Tempo .....	54
Gambar 4.4 Running Radiator di Cycle Tempo .....	55
Gambar 4.5 Input Parameter Off Design parameter Radiator .....	56
Gambar 4.6 Running Off Design Radiator 4 Fan .....	57
Gambar 4.7 Input dan Running Off Design Radiator 3 fan sudut blade 13°.....	59
Gambar 4.8 Input dan Running Off Design Radiator 3 fan sudut blade 15°.....	59
Gambar 4.9 Input dan Running Off Design Radiator 3 fan sudut blade 17°.....	60
Gambar 4.10 Input dan Running Off Design Radiator 3 fan sudut blade 19°....	60
Gambar 4.11 Grafik temperatur outlet radiator terhadap sudut blade .....	61
Gambar 4.12 Grafik $\dot{q}$ (Kw) per Bay dengan variasi sudut blade .....	63
Gambar 4.13 Grafik $\dot{q}$ total (kW) 3 fan per variasi sudut blade dan 4 fan dengan sudut eksisting.....	64
Gambar 4.14 Grafik ampere motor terhadap sudut blade .....	65

## **DAFTAR TABEL**

Tabel 2.1. Penambahan kapasitas berbagai ACHE dengan kenaikan 10% aliran udara .....	16
Tabel 2.3. Efek metode upgrade ACHE terhadap performa dan cost .....	17
Tabel 3.1. Loogsheet GTG 13.....	41
Tabel 3.2. Alokasi waktu penelitian .....	48
Tabel 4.1. Data Pengukuran Kecepatan dan Arus Motor terhadap variasi sudut blade Fan A GTG 1.2 .....	49
Tabel 4.2. Perhitungan massa aliran udara pada fan dengan variasi sudut blade .	51
Tabel 4.3. Input Parameter ACWS di Cycle Tempo.....	54
Tabel 4.4. Heat Exchanging Equipment .....	56
Tabel 4.5. Validasi perhitungan terhadap running system di Cycle Tempo .....	58
Tabel 4.6. Massa Alir tiap bay dengan variasi jumlah fan operasi .....	58
Tabel 4.7. Tabel outlet temperatur dengan variasi sudut blade.....	61
Tabel 4.8. Tabel $\dot{q}$ per Bay Radiator setiap variasi sudut blade.....	63

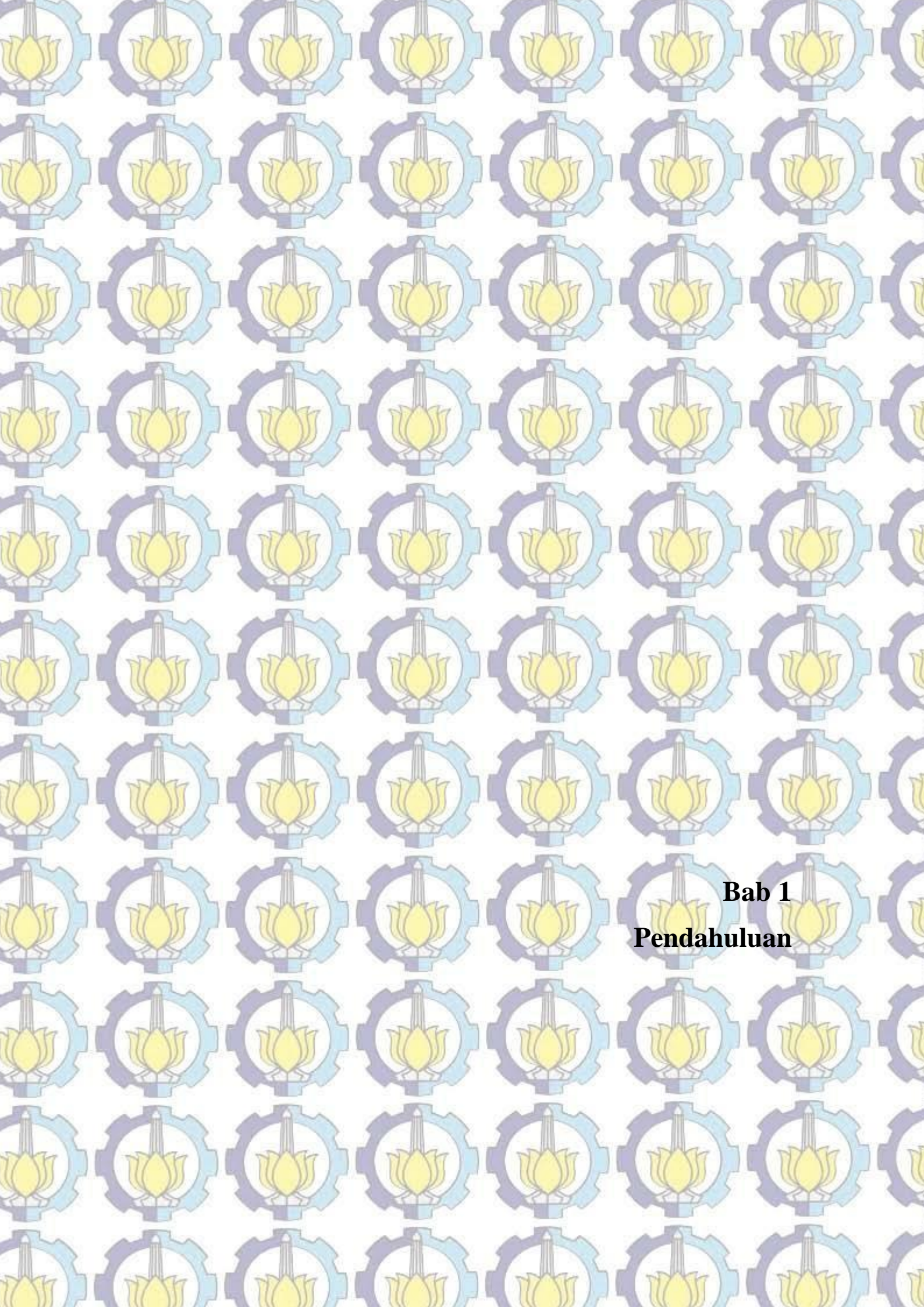
## **DAFTAR SIMBOL**

VVIP	= Very Very Important Person
MW	= Mega Watt
GTG 1.1	= Gas Turbin Generator Blok 1 no 1
GTG 1.2	= Gas Turbin Generator Blok 1 no 2
GTG 1.3	= Gas Turbin Generator Blok 1 no 2
STG1.0	= Steam Turbin Generator Blok 1
AGP	= Advance Gas Path
ACWS	= Auxiliary Cooling Water System
CFD	= Computational Fluid Dynamics
LNG	= Liquid Natural Gas
EOH	= Euqivalent Operating Hours
PLTGU	= Pembangkit Listrik Tenaga Gas dan Uap
Off-Base	= Di luar pondasi Gas Turbin
On-Base	= Di dalam pondasi Gas Turbin
VTR2-1	= Temperature actuated 3-way valve No 2-1
VTR1-1	= Temperature actuated 3-way valve No 1-1
HP	= Horse Power
ACHE	= Air Cooled Heat Exchanger
Blade	= Sudu Fan
ACW	= Auxiliary Cooling Water Pump
PIN	= Pressure Input (Bar atau Mpa)
Pout	= Pressure output (Bar atau Mpa)
Tin	= Temperatur Input (°C)
Tout	= Temperatur Output (°C)
DELT	= Kenaikan atau penurunan temperature sisi inlet dan outlet (°C)
ETHAI	= Effiseinsi Isentropik
ETHAM	= Effiseinsi Mekanik

ETHAE	= Effiseinsi Electrical
DELP	= Kerugian Tekanan Aliran (Bar atau Mpa)
h	= Entalphy (Bar atau Mpa)
EEQCOD 1	= Energy Energy untuk menghitung aliran massa
EEQCOD 2	= Energy Energy untuk menghitung Enthaphy
UA	= heat transfer rate
DELTH	= Perbedaan Temperatur Tout1 dan Tin 2 ( $^{\circ}\text{C}$ )
DETLT	= Perbedaan Temperatur Tout2 dan Tin 1 ( $^{\circ}\text{C}$ )
RPSM	= Rasio antara aliran massa primer dan sekunder
DELE	= Aliran energy ke lingkungan (losses)(Kw)
$\Delta p$	= Perbedaan tekanan (bar atau Mpa)
DSMAS1	= Desain aliran massa sisi primer (kg / s)
DSMAS2	= Desain aliran massa sisi sekunder (kg / s)
$\Phi m$	= Mass Flow (kg/s)
ESTMAS	= Estimasi mass flow rate (kg/s)
DELV	= Aliran volume dari atau ke system (m <sup>3</sup> /s)
DELVN	= Aliran volume pada kondisi normal (1.01325 bar, 0 $^{\circ}\text{C}$ ) dari atau ke system
Xout	= Fraksi uap pada outlet
DTSUBC	= Perbedaan antara temperature saturated liquid dan aktual temperature (K)
DTSUPH	= Perbedaan antara aktual temperature dan temperature saturated vapor (K)
RMASS1	= Perkiraan awal untuk semua aliran massa
Cp	= Kapasitas Panas (Kj/kg)
$\dot{m}$	= Massa Aliran (Kg/s)
$\dot{q}$	= Heat Transfer Rate (Kw)
Re	= Reynold Number
Pr	= Prandtl Number
$\Delta T_{\text{LMTD}}$	= log mean temperature difference

## **DAFTAR LAMPIRAN**

Lampiran 1	Sistem Off-base ACWS .....	71
Lampiran 2	Sistem On-base ACWS .....	72
Lampiran 3.	Spesifikasi Radiator .....	73
Lampiran 4.	Parameter Pengukuran Cooling Fan .....	74
Lampiran 5.	Spesifikasi Fan Motor .....	74
Lampiran 6.	Table Propertis Air .....	75
Lampiran 7.	Balde Overload.....	76
Lampiran 8	Computer-Aided Thermodynamic Table (CATT) .....	77
Lampiran 9	Sum Square Error dan Interval Confidence Fungsi Regresi Grafik Gambar 4.11 .....	78
Lampiran 10	Sum Square Error dan Interval Confidence Fungsi Regresi Grafik Gambar 4.13 .....	79
Lampiran 11	Sum Square Error dan Interval Confidence Fungsi Regresi Grafik Gambar 4.14 .....	80
Lampiran 12	Grafik viscositas DTE Oil Ligt terhadap temperature .....	81



## **Bab 1**

### **Pendahuluan**

# **BAB 1**

## **PENDAHULUAN**

### **1.1 Latar Belakang**

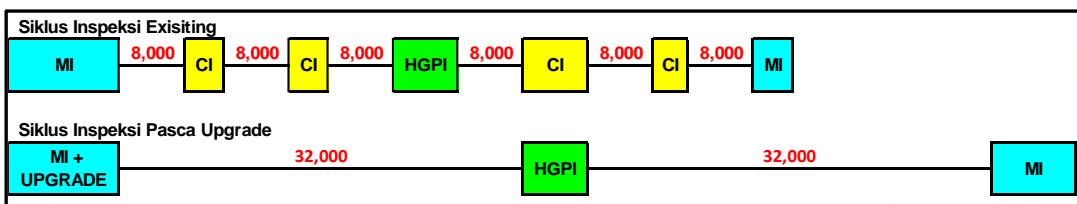
PT. Pembangkitan Jawa Bali merupakan perusahaan penghasil listrik. Salah satu unit pembangkit yang memiliki nilai krusial yaitu adalah Unit pembangkitan Muara Karang karena berperan utama dalam memenuhi kebutuhan listrik ibukota Jakarta, terutama daerah-daerah VVIP seperti Istana Negara, Gedung MPR/DPR dan lain-lain. Unit pembangkitan Muara Karang dengan kapasitas total 1625 MW. Terdiri dari 3 Blok pembangkit yaitu blok 1 kapasitas 500 MW, Blok II kapasitas 725 MW dan Blok 45 kapastias 400 MW. Mengingat pentingnya area yang disupply, Unit Pembangkitan Muara Karang dituntut untuk menghasilkan listrik yang handal, cepat dan effisien

Blok 1 terdiri dari 3 buah Gas Turbine (GTG1.1, GTG1.2 dan GTG 1.3) yang masing-masing memiliki kapasitas daya sebesar 105 MW dan 1 buah Steam Turbine (STG1.0) dengan kapasitas daya 185 MW (Total 500 MW).

Untuk meningkatkan daya output, effisiensi dan availability maka Blok 1 dilakukan Upgrage di sisi combustor dan turbin pada salah satu unitnya yaitu GTG1.3 pada tahun 2016 dengan Advanced Gas Path (AGP)<sup>1</sup> dan Extendor<sup>2</sup> pada combustor, hal ini memberikan keuntungan antara lain :

- Menaikkan 2% output saat combined cycle/3.8% saat simple cycle
- Menaikan 2% effisiensi bahan bakar saat combined cycle/0.9% saat simple cycle
- Menaikan interval maintenance dari 8000 jam operasi ke 32,000-jam operasi atau 1,200 start, sehingga memperpanjang interval inspeksi 33%

Dengan interval inspeksi GTG1.3 yang meningkat dari awalnya setiap 8000 jam operasi menjadi 32.000 jam operasi (4 x lipat) seperti terlihat di Gambar 1.1, maka perlu dilakukan perubahan-perubahan maintenance di peralatan bantu (Auxiliary) GTG.13 agar selama periode operasi 32.000 jam diupayakan tidak ada gangguan dari alat bantu tersebut yang membuat performa GTG1.3 turun.



Gambar 1.1 Interval Inspeksi GTG 13 sebelum dan sesudah Upgrade

ACWS (Auxiliary Cooling Water System) merupakan salah satu peralatan bantu dari gas turbin yang berfungsi untuk mendinginkan Minyak pelumas, Generator, udara Atomizing dan tumpuan (Support) turbin dimana ada equipment yang memiliki interval maintenace setiap 8.000 jam yaitu Cooling Fan. Cooling Fan berfungsi untuk menghisap udara pendingin Radiator, Radiator terdiri dari 2 bay, dan setiap bay memiliki 2 fan, sehingga total berjumlah 4 buah yang beroperasi semua (tidak ada unit fan cadangan). Kemampuan Radiator dalam membuang panas sangat penting karena salah satu komponen yang didinginkan oleh ACWS yaitu minyak pelumas memiliki batasan operasi dimana jika temperatur pelumas mencapai **68°C** akan timbul alarm dan trip jika mencapai **73°C**. Akibat kenaikan suhu udara sekitar dan juga adanya penurunan performa dari Radiator ACWS. Kondisi saat ini jika satu cooling fan mati disaat beban 100 MW dan temperatur udara sekitar diatas  $34^{\circ}\text{C}$ , maka tiga fan yang operasi tidak mampu menjaga temperatur minyak pelumas dibawah temperatur alarm dan Gas Turbin harus diturunkan bebannya 15-25 MW agar temperatur Minyak pelumas tidak naik ke tempetaur Trip di  $73^{\circ}\text{C}$ . Untuk penanganan emergency agar unit tidak turun beban pada kasus ini telah dibuat oleh divisi pemeliharaan mesin blok 1 peralatan spray air disisi udara masuk radiator untuk menurunkan temperatur. Dari kondisi inilah ide penelitian dilakukan dengan mengoptimalkan kemampuan cooling fan agar Radiator ACWS mampu membuang panas saat beban maksimal dan temperatur udara tinggi dengan tiga cooling fan tanpa ada kenaikan temperatur minyak pelumas.

Dari penelitian terdahulu oleh Steve Boes, P.E.(2017)<sup>3</sup> dengan menambah sudut serang fan akan menaikan aliran udara sejauh tidak sampai terjadi effek stall dan power motor masih mencukupi.

Mohammad J. Izadi dan Alireza Falahat (2008)<sup>4</sup> melakukan penelitian terhadap efek angle of attack dan hub tip rasio pada laju aliran massa fan axial dengan kecepatan putaran konstan, dengan menggunakan CFD dalam analisisnya dengan variasi blade angle 30 sampai 70 derajat diperoleh maksimum laju aliran pada sudut 45 samai 50 derajat dan selanjutnya akan mulai menurun seiring dengan kenaikan angle of attack

## 1.2 Perumusan Masalah

Akibat dari bertambahnya interval inspeksi di GTG 13 akibat Upgrade yang dilakukan menjadikan ACWS menjadi kurang handal pada salah satu peralatannya yaitu cooling fan radiator, dimana cooling fan radiator ini memiliki interval penggantian bearing, fan belt satu tahun sekali berbarengan dengan siklus combustion inspection.

Kondisi saat ini ke empat cooling fan beroperasi penuh, dan jika salah satu cooling fan tersebut mengalami kerusakan akan mengakibatkan alarm pada temperatur lube oil dan beban akan diturunkan 15 sampai 25 MW sampai temperatur lube oil tersebut turun.

Kondisi ini diakibatkan oleh menurunnya kapasitas pendinginan dari radiator oleh karena naiknya suhu sekitar dan juga menurunnya performa fin tube. Dari literatur dan referensi yang ada, kemampuan radiator dalam melepas panas dapat ditingkatkan dengan melakukan pengaturan sudut serang blade cooling fan sehingga laju aliran massa udara fan naik. Hal yang perlu di analisis adalah sebagai berikut :

1. Bagaimana pengaruh penambahan sudut blade fan radiator setiap 2 derajat terhadap kapasitas udara hisap Radiator
2. Bagaimana pengaruh penambahan kapasitas udara terhadap kemampuan radiator dalam melepas panas dengan 3 fan beroperasi serta mengetahui seberapa besar kemampuan maksimal dari fan dalam melepas panas.
3. Melalui cycle tempo di simulasikan variasi penambahan kapasitas udara dengan 3 fan beroperasi terhadap temperatur air keluaran Radiator dengan nilai maksimal adalah temperatur keluaran saat ini yaitu 46°C

4. Seberapa besar pemakaian daya total fan 3 fan dengan penambahan sudut blade fan.

### 1.3 Tujuan Penelitian

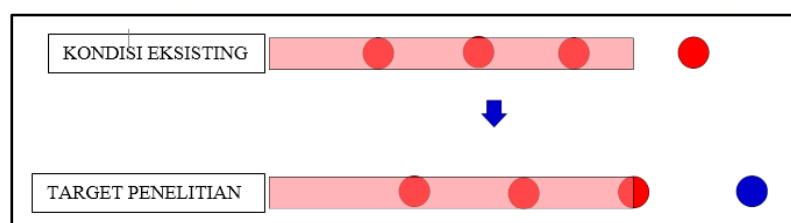
Adapun tujuan penelitian ini dibagi menjadi dua yaitu :

a. Tujuan umum

Penelitian ini bertujuan menjaga ACWS agar keandalan dan effisiensi operasi serta maintenace GTG 1.3 tetap optimal selama interval maintenance yang baru

b. Tujuan khusus

- Memperoleh data pengaruh penambahan sudut blade fan radiator setiap 2 derajat terhadap kapasitas udara hisap Radiator
- Mendapatkan data pengaruh penambahan kapasitas udara terhadap kemampuan radiator dalam melepas panas dengan 3 fan beroperasi sehingga diharapkan radiator existing agar bisa beroperasi dengan 3 Fan dan 1 fan standby seperti diilustrasikan pada gambar 1.2, serta mengetahui seberapa besar kemampuan maksimal radiator dalam membuang panas.



Gambar 1.2 Ilustrasi beban panas dan kemampuan Cooling Fan

- Melalui cycle tempo di simulasikan variasi penambahan kapasitas udara dengan 3 fan beroperasi terhadap temperatur air keluaran Radiator dengan nilai maksimal adalah temperatur keluaran saat ini yaitu 46°C
- Mendapatkan total pemakaian daya fan 3 fan dengan penambahan sudut blade fan.

## **1.4 Batasan Masalah**

Batasan masalah yang diambil dalam penelitian ini adalah sebagai berikut :

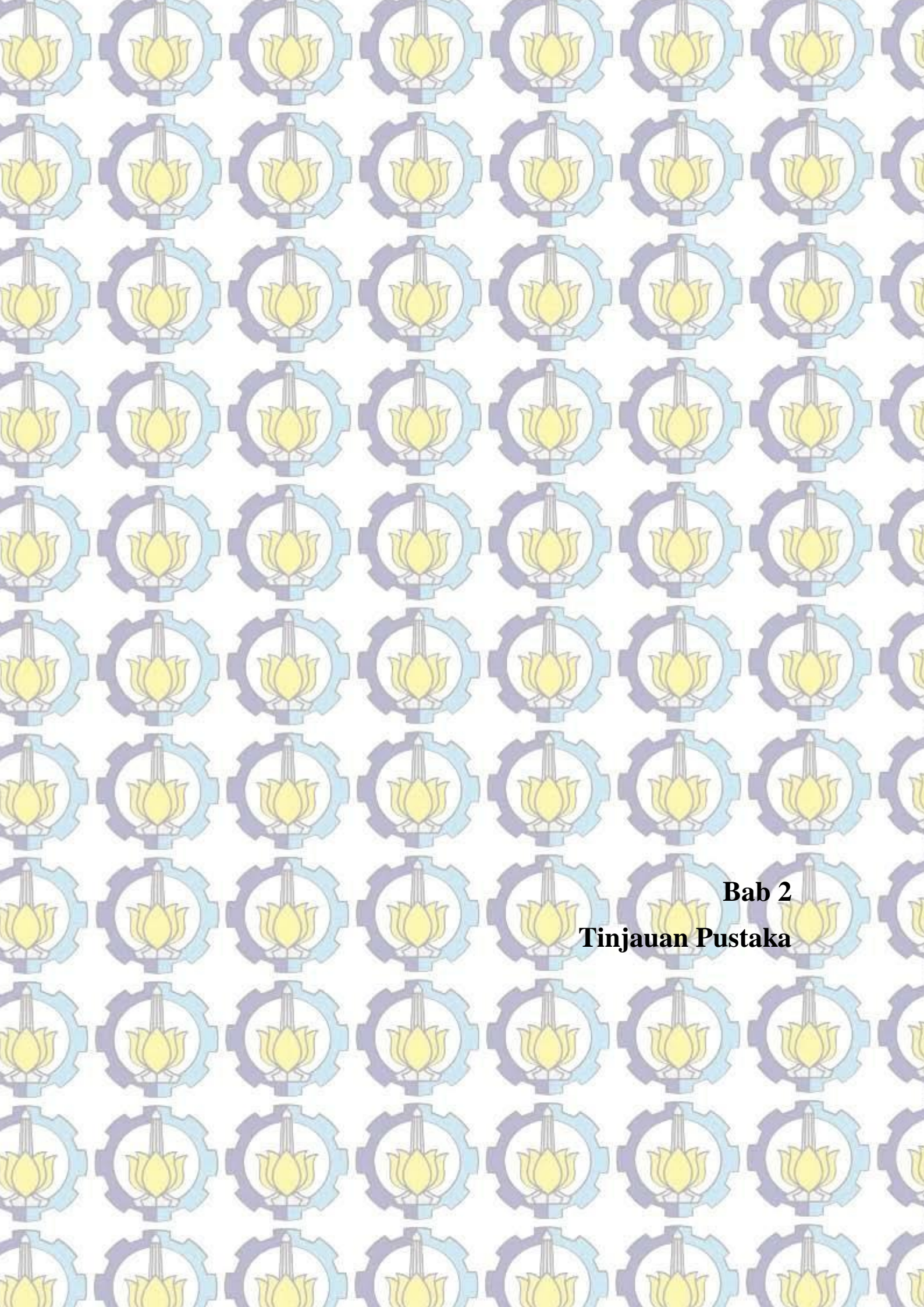
1. Parameter operasi saat temperatur lube oil header paling dekat dengan temperatur alarm ( $68^{\circ}\text{C}$ ) menjadi nilai yang menjadi target pada penelitian kali ini.
2. Kondisi cooling fan Radiator GTG 12 dan GTG 13 dianggap serupa dan pengambilan data dan pengujian cooling fan diambil dari GTG 12 karena kondisi GTG 13 selalu operasi dan GTG 12 sering standby.
3. Data operasi diambil dari GTG 13.
4. batasan pengaturan sudut serang blade adalah kapasitas ampere motor maksimal 39 ampere dan terjadinya stall pada fan.
5. Penelitian dilakukan berdasar aspek Thermodinamika.
6. Perubahan pola operasi dari Radiator tidak diperhitungkan dalam penelitian ini.
7. System ACWS dimodelkan dengan software Cycle Tempo 5.1.
8. Radiator menggunakan permodelan Heat Exchanger dan cooling fan menggunakan source.
9. Data lain yang diperlukan diambil dari literatur lain yang dianggap relevan.

## **1.5 Manfaat Penelitian**

Manfaat yang ingin diperoleh dari penelitian ini adalah:

1. Radiator dapat beroperasi dengan 3 cooling fan dan 1 standby.
2. Saat terjadi kegagalan salah satu cooling fan, unit terhindar dari penurunan beban karena ada cooling fan yang standby.
3. Meski interval inspeksi GTG 13 menjadi 32.000 EOH, Jadwal pemeliharaan di cooling fan radiator tiap 8000 jam bisa dilakukan sehingga keandalan system ACWS tetap terjaga.
4. Penghematan power listrik.

(Halaman ini sengaja dikosongkan)



## **Bab 2**

# **Tinjauan Pustaka**

## **BAB 2**

### **KAJIAN PUSTAKA DAN DASAR TEORI**

#### **2.1 Auxiliary Cooling Water System**

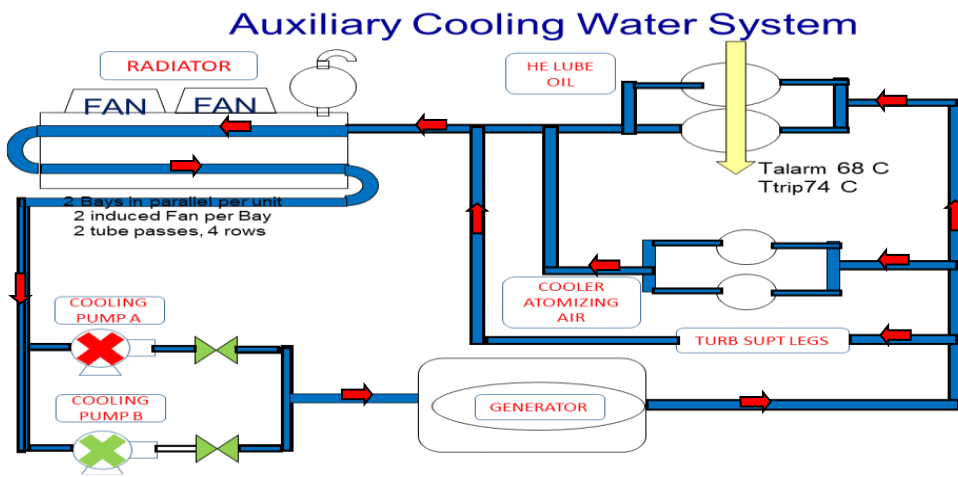
Auxiliary Cooling Water System (ACWS) adalah sistem pendinginan pada gas turbin, yaitu untuk mendinginkan minyak pelumas turbin, sistem pendingin generator, precooler udara atomizing, dan tumpuan turbin. Pada sistem pelumasan, temperatur minyak bisa sangat tinggi karena adanya gesekan antara shaft dengan bearing, maka dari itu perlu dilakukan pendinginan terhadap minyak pelumas yang temperaturnya naik, hal ini dimaksudkan untuk menjaga kinerja dari pelumas tersebut, agar tetap baik.

Sistem air pendingin pada PLTG Muara Marang Blok 1, merupakan sistem air tertutup yaitu media pendinginan yang telah digunakan dimanfaatkan kembali sebagai media pendinginan. Pada sistem ini akan terjadi losses pada media pendingin. Sistem ini didesain untuk mengakomodasi kebutuhan pembuangan panas dari sistem minyak pelumas turbin dan generator, sistem pendingin generator, precooler udara atomizing, dan tumpuan turbin.

Sistem air pendingin terdiri dari komponen-komponen off-base (lampiran 1) dan off-base (lampiran 2). Komponen-komponen on-base terdiri dari heat exchanger minyak pelumas pada accessory base, heat exchanger udara atomizing, heat exchanger pendingin generator, flow regulating valve, orifice dan valve-valve lain. Sedangkan yang termasuk komponen off-base adalah satu modul radiator fin tube pendingin air, dua buah cooling water pump, empat buah cooling air fan, valve-valve dan rangkaian flow control device.

ACWS pada gas turbin di PLTG Muara Karang blok1 mempunyai beberapa fungsi yaitu:

1. Sebagai pendingin hidrogen pada generator
2. Mendinginkan tumpuan turbin (kaki turbin)
3. Sebagai pendingin udara atomizing.
4. Sebagai pendingin minyak pelumas turbin dan generator.

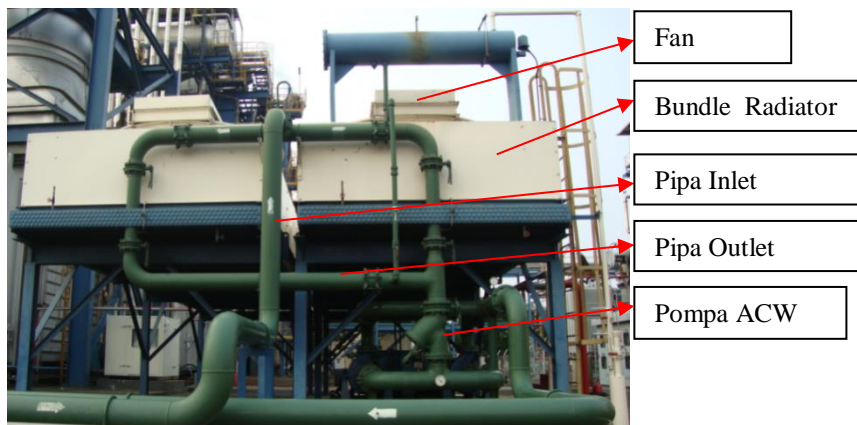


Gambar 2.1 Skema ACWS

Prinsip kerja dari ACWS adalah:

Dari Gambar 2.1. Air pendingin pertama-tama disirkulasikan melalui empat *heat exchanger* generator dari sistem pendingin udara. Panas dari aliran udara didalam *casing* generator ditransfer ke empat *heat exchanger* yang didinginkan oleh air pendingin yang disirkulasikan melewati keempat *heat exchanger* tersebut. Air pendingin kemudian disirkulasikan melewati water jaket di sekitar tumpuan turbin, jika tumpuan turbin ini tidak didinginkan, maka tumpuan turbin bisa memuai dan menyebabkan *misalignment* turbin-generator. Air pendingin juga disirkulasikan melewati *precooler* udara atomozing, untuk sistem pendinginan udara atomizing terdapat satu buah *heat exchanger*. Aliran air pada sistem pendingin udara atomizing diatur oleh temperatur *regulator valve* VTR2-1, setelah itu air pendingin juga disirkulasikan melewati *heat exchanger* minyak pelumas untuk menjaga temperatur pelumas sesuai dengan yang dibutuhkan untuk melumasi *bearing* turbin-generator secara efektif, pada sistem pendinginan minyak pelumas. Aliran air diatur oleh temperatur *regulator valve* VTR1-1, yang bekerja apabila temperatur header minyak pelumas tinggi maka sensor temperatur akan memberikan signal pada VTR1-1 agar *energize* dan aliran air pendingin akan disirkulasikan semua ke *heat exchanger* minyak pelumas. Kedua regulator valve tersebut kondisi saat ini tidak difungsikan lagi dan katup dalam kondisi full open ke arah masing masing peralatan yang didinginkan.

Setelah melaksanakan fungsi pendinginannya, air dari sistem pendinginan *on-base* kemudian diarahkan ke modul pendingin *off-base* (Gambar 2.2) dimana air pendingin didinginkan sebelum disirkulasikan kembali, modul air pendingin membuang panas yang dihasilkan oleh turbin-generator ke udara dengan cara menghisap udara bagian bawah radiator dengan menggunakan fan yang digerakkan oleh motor listrik. Modul air pendingin ini dipasang pada sebuah peralatan *off-base* dan dilengkapi dengan sebuah modul yang berfungsi sebagai penampung pemuaian air pendingin tersebut. Air dipompakan melewati sistem air pendingin oleh salah satu pompa dari dua pompa, yang salah satunya di posisikan *standby*.



Gambar 2.2.Piping Cooling Water System (off-base)

#### Fungsi Peralatan :

##### 1. Cooling Water Pump

Cooling water pump berfungsi untuk mensirkulasikan air pendingin dari outlet radiator fin tube menuju cooler dan heat exchanger yang ada di gas turbin generator sampai kembali ke inlet radiator fin tube (sirkulasi tertutup). Pada cooling water sistem terdapat 2 cooling water pump yang digerakkan oleh 2 motor AC seperti pada Gambar 2.3. Saat normal operasi hanya satu cooling water pump yang digunakan sedangkan yang satunya standby.

Pada saat beroperasi tekanan normal discharge cooling water pump sekitar 7,6 kg/cm<sup>2</sup>. Cooling water system dilengkapi sebuah pressure switch (63WC-1) yang dipasang pada discharge cooling water pump. Pressure switch ini akan

memberikan signal alarm jika tekanan discharge cooling water pump drop hingga mencapai  $3.86 \text{ kg/cm}^2$ . Selain itu, juga akan memberikan signal auto start pada pompa yang standby.



Gambar 2.3 Cooling Water Pump

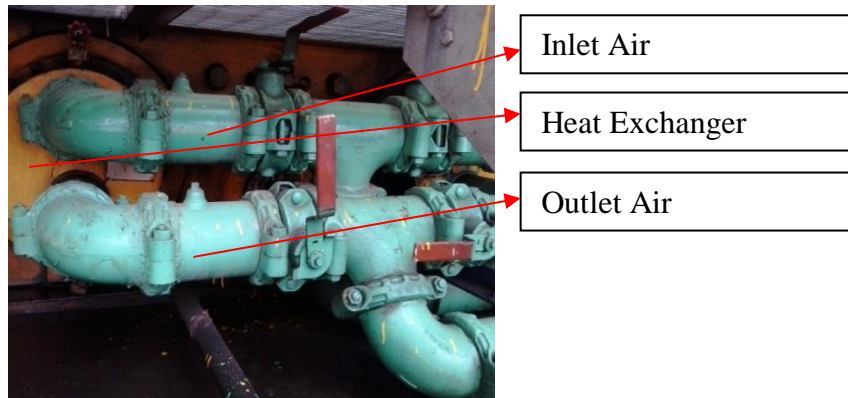
## 2. Turbine Aft Support Legs

Turbine Aft Support Legs berfungsi untuk mendinginkan tumpuan/kaki-kaki turbin dengan air pendingin sebagai media transfer panas agar tidak terjadi pemuaian. Apabila sampai terjadi pemuaian pada tumpuan/kaki-kaki turbin maka dapat menyebabkan misalignment turbin-generator.

Untuk mendinginkan turbine aft support legs air pendingin disirkulasikan melewati jaket water yang berada disekitar tumpuan/kaki-kaki turbin. Turbine Aft Support Legs terletak di sisi kiri dan sisi kanan dengan jumlah 4 buah.

## 3. Heat Exchanger pada sistem minyak pelumas

Heat exchanger adalah alat penukar panas yang digunakan untuk mengambil panas dari suatu fluida untuk dipindahkan ke fluida lain. Pada sistem pelumasan di PLTG Muara Karang terdapat sepasang heat exchanger yang dipasang dan dilengkapi dengan tranfer valve yang dipasang di antara keduanya untuk mengalirkan pelumas dari heat exchanger yang satu ke heat exchanger yang lain. Hanya satu heat exchanger yang digunakan saat operasi, hal ini dimaksud agar saat pembersihan, pemeriksaan dan perawatan heat exchanger tidak mengganggu aliran pelumas atau harus shutdown turbine gas. Letak heat exchanger ini berada di bawah accessory compartment seperti pada Gambar 2.4 berikut.



Gambar 2.4. Heat Exchanger pada Sistem Pelumasan

Oli yang digunakan adalah DTE Oil Light ISO VG 32 (Lampiran 12). Batasan operasi temperatur oli terendah adalah 54°C untuk membuat nilai viskositasnya cukup encer, ini diperlukan saat kondisi start up dimana oli dipergunakan pada fluid coupling sebagai pengerak turbin sebelum firing. Dan batasan temperatur tertingginya adalah 71°C pada outlet cooler yang bertujuan untuk menjaga viskositas dan lapisan film oli pada bearing cukup untuk melindungi bearing saat turbin beroperasi<sup>8</sup>

#### 4. Pre-Cooler Udara Atomizing (Heat Exchanger)

Udara yang diambil dari manifold ekstrasi udara atomizing pada casing discharge kompressor di lewatkan melalui pre-cooler udara atomizing yang berfungsi untuk mengurangi temperatur udara discharge kompressor secukupnya untuk mempertahankan temperatur inlet yang seragam sebelum masuk ke atomizing air kompressor, pre-cooler ini ditempatkan diturbin compartment dibawah kompressor, menggunakan air dari sistem air pendingin turbin sebagai media pendinginan.

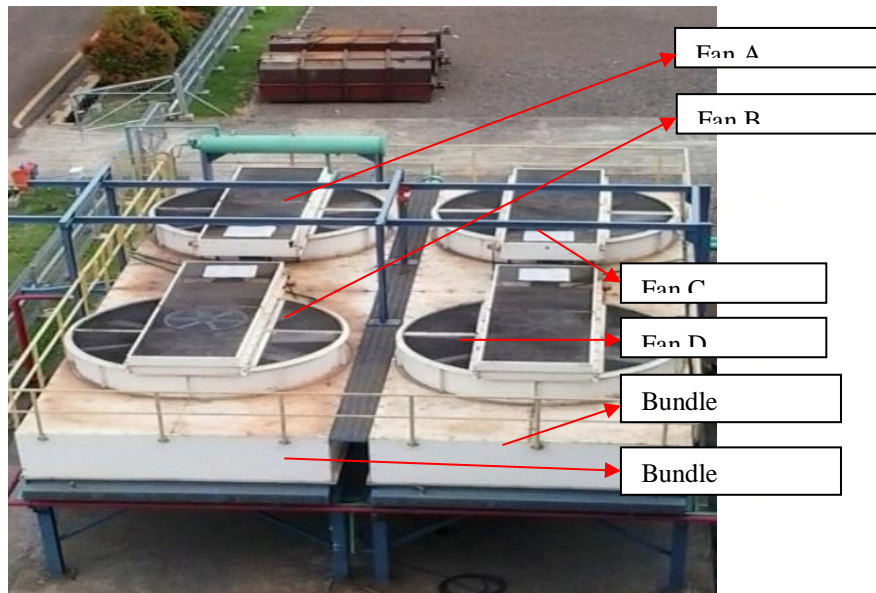
#### 5. Generator Heat Exchanger

Generator Heat Exchanger berfungsi untuk mendinginkan rotor dan stator generator. Untuk itu udara harus disirkulasikan dan didinginkan agar dapat kembali mendinginkan generator. Generator Heat Exchanger adalah sebuah alat yang digunakan untuk mentransfer panas dari udara setelah mendinginkan generator

dengan media air pendingin yang disirkulasikan dari cooling water pump melalui generator heat exchanger. Ada empat heat exchanger yang digunakan untuk mentransfer panas udara dan masing-masing heat exchanger terletak di sudut-sudut generator.

## 6. Cooling Air Fan

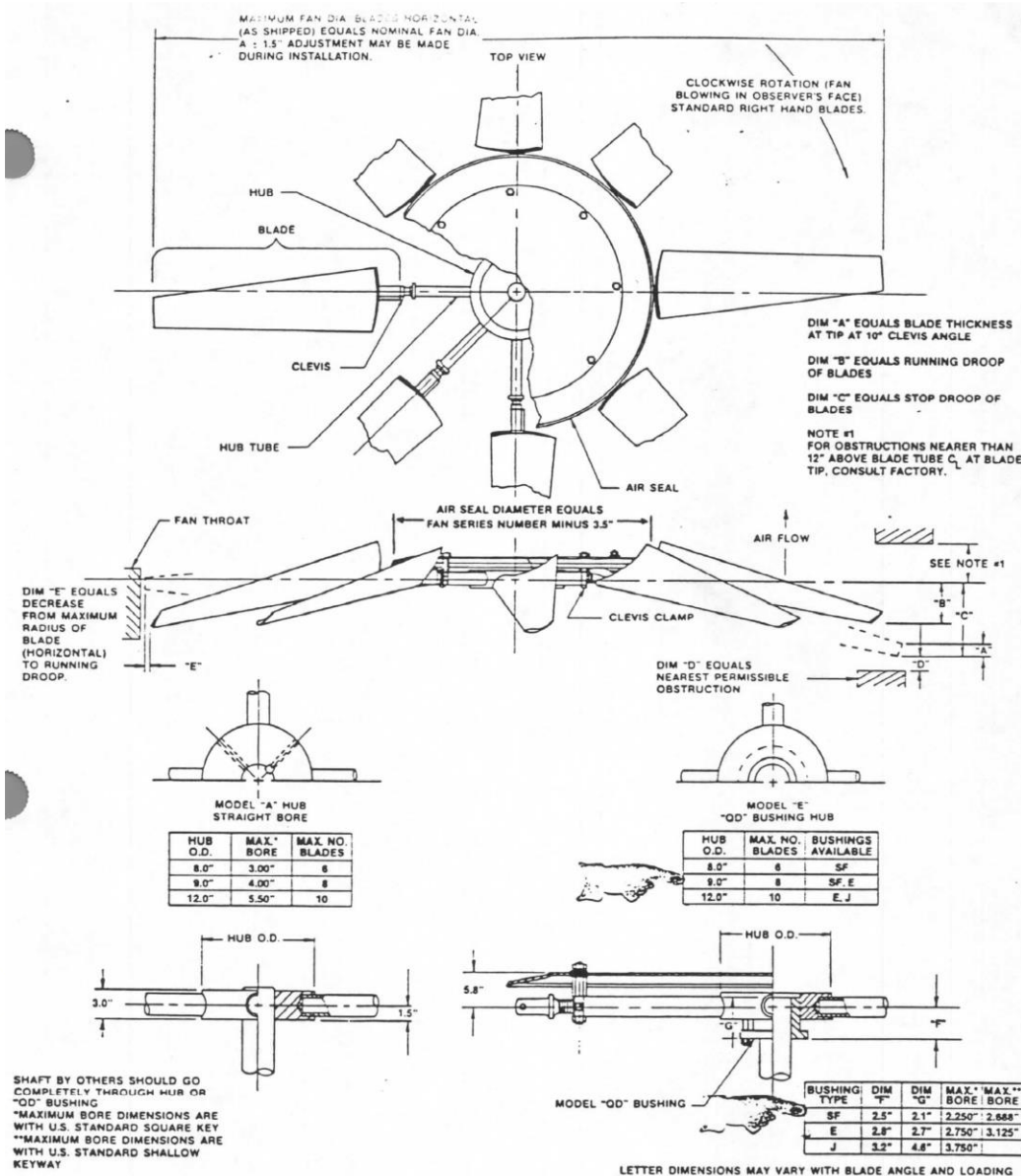
Cooling air fan berfungsi untuk menarik udara atmosfir di bagian bawah modul bundle Radiator secara paksa agar dapat mendinginkan air pendingin yang mengalir di dalam tube-tube radiator. Pada modul radiator fin tube terdapat 4 cooling air fan seperti pada gambar 2.5. Cooling air fan ini digerakkan oleh motor AC. Pada saat operasi normal ke-4 cooling air fan ini akan operasi semua. Jika salah satu cooling air fan ini stop maka akan muncul alarm di control Mark VIe, yang dapat mengakibatkan turunnya beban karena temperatur lube oil header yang tinggi.



Gambar 2.5. Cooling Air Fan Radiator

Detail gambar Fan seperti terlihat digambar 2.6, setiap fan terdiri dari 8 blade berbahan aluminium dan digerakkan oleh motor 30 HP yang dihubungkan dengan sepasang pully reduksi dan fan belt. Fan terkoneksi ke gearbox di Hub,

Blade dipasang di Hub Tube dengan adjuster sudutnya ada pada celvis di tiap blade.



Gambar 2.6. Gambar Detail Cooling Air Fan

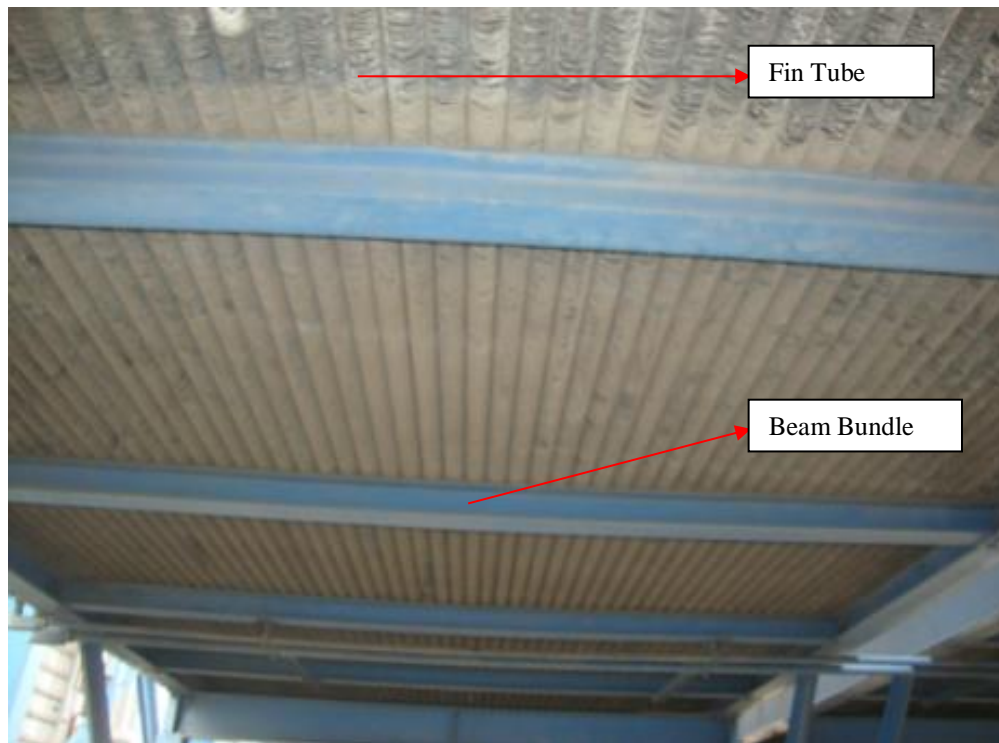
## 7. Radiator Fin Tube

Radiator fin tube (Gambar 2.7) adalah modul pendingin yang terdiri dari tube-tube bersirip yang di dalamnya dialiri air pendingin setelah mendinginkan beberapa peralatan gas turbin. Radiator fin tube ini berfungsi untuk mendinginkan

air pendingin berbahan tembaga pada pipanya dan aluminium pada fin nya, spesifikasi lengkap ada pada Lampiran 3.

Radiator fin tube terletak tepat diatas cooling water pump yang dilengkapi cooling air fan dan tangki air penambah. Tangki air ini berfungsi untuk menambah air pendingin langsung ke suction pompa. Jika level air pada tangki rendah dapat dilakukan penambahan air secara manual.

Air pendingin yang mengalir di dalam tube-tube radiator akan didinginkan dengan udara atmosfir secara paksa oleh cooling air fan. Temperatur udara atmosfir yang lebih rendah dari temperatur air pendingin akan mentransfer panas dari air pendingin.

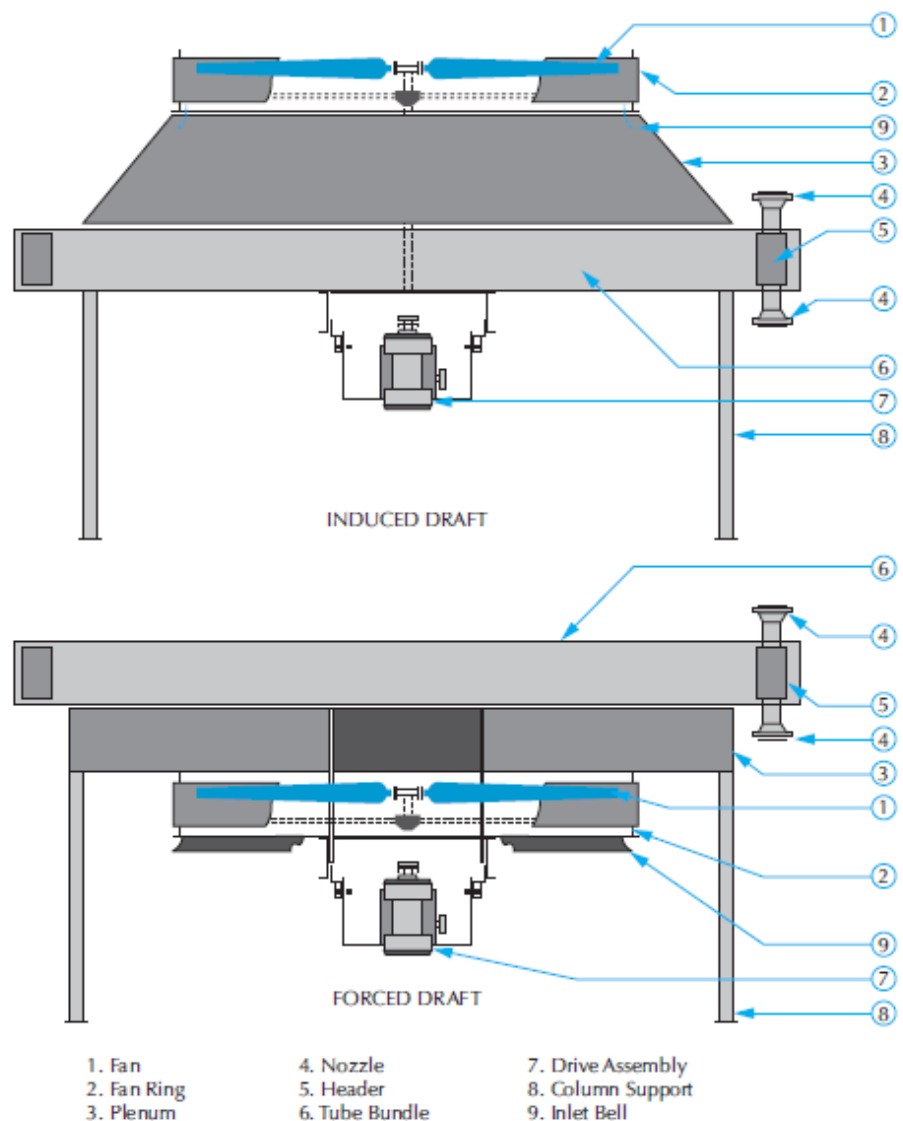


Gambar 2.7. Radiator fin tube

## 2.2 Air Cooled Heat Exchanger (ACHE)

*Air Cooled Heat Exchanger* (ACHE) adalah alat penukar kalor yang berfungsi untuk mendinginkan fluida yang mengalir di dalam tabung dengan media udara. Pada penelitian ini, ACHE adalah Radiator. Prinsip kerja ACHE ini

sederhana, di mana fluida yang didinginkan mengalir di dalam tabung bersirip, sementara udara yang digunakan sebagai pendingin mengalir di permukaan luar tabung bersirip untuk mengambil kalor. Udara pendingin didorong atau di hisap oleh kipas yang digerakkan oleh motor seperti terlihat digambar 2.8.

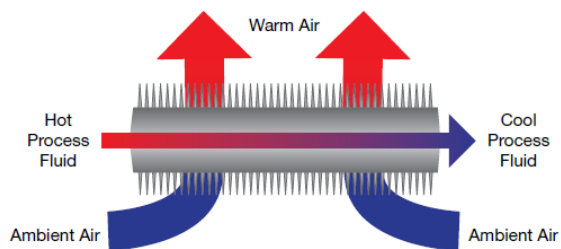


Gambar 2.8. Komponen ACHE

## 2.3 Penelitian Terdahulu

### 2.3.1 Meningkatkan Performa Air-Cooled Heat Exchanger (ACHE)

Artikel ini menjelaskan tentang pengoperasian ACHE dan mengidentifikasi komponen komponen yang signifikan dalam kapasitas pendinginan. Proses perpindahan panas yang terjadi digambarkan di Gambar 2.9 dibawah dimana udara ambient yang dingin dihisap masuk ke area sisi luar fin tube dan akan mengambil panas dari fluida panas di dalam pipa. Sehingga dari sisi out put udara akan mengalami kenaikan temperatur dan dari sisi fluidanya akan mengalami penurunan temperatur.



Gambar 2.9. Proses perpindahan panas di Finned Tube ACHE

Metode paling cepat dan mudah adalah dengan menambah air flow dari fan, dan ditabelkan pada Tabel 2.1 oleh *Steve Boes, P.E*<sup>3</sup> pada penambahan 10% air flow akan meningkatkan thermal duty pada liquid cooling sebesar 3 sampai 6 persen.

Tabel 2.1. Penambahan kapasitas berbagai ACHE dengan kenaikan 10% aliran udara

Table 1. Typical ACHE duty increase for a 10% increase in airflow.		
ACHE Service	Thermal Duty Increase	
	Minimum	Maximum
Condensing	5%	7%
Liquid Cooling	3%	6%
Vapor Cooling	2%	5%
Viscous Cooling	0.5%	1%

beberapa metode untuk menaikan air flow fan antara lain :

1. Penambahan fan blade pitch / Sudut serang blade

Flow air akan bertambah seiring dengan naiknya sudut serang selama aliran tidak mencapai titik Stall dan power motor masih mampu

2. Penambahan kecepatan Fan

Penambahan fan speed juga akan meningkatkan air flow serta mencegah terjadinya stall pada fan, batasannya adalah power motor. Penambahan speed dapat dilakukan dengan mengurang rasio diameter pulley motor dan Fan atau dengan mengganti motor dengan kecepatan yang lebih tinggi. Efek lain dari penambahan speed fan adalah bertambahnya noise di area ACHE

3. Memperkecil tip clearance

Pada artikel ini disebutkan pengurangan tip clearance fan akan menaikkan air flow 2 sampai 5%. Cara yang umum adalah memasang tip seal kit di ujung blade

4. Pemasangan inlet bells dan fan seal disc

Dua metode diatas dilakukan agar aliran udara akan lebih baik dan agar sebanyak mungkin melalui blade fan

5. Penggantian fan dengan high-efficiency fans.

Effisiensi dari high efficiency fan 75% to 85%. Akan tetapi pengantian fan tipe ini pasti memerlukan penggantian motor

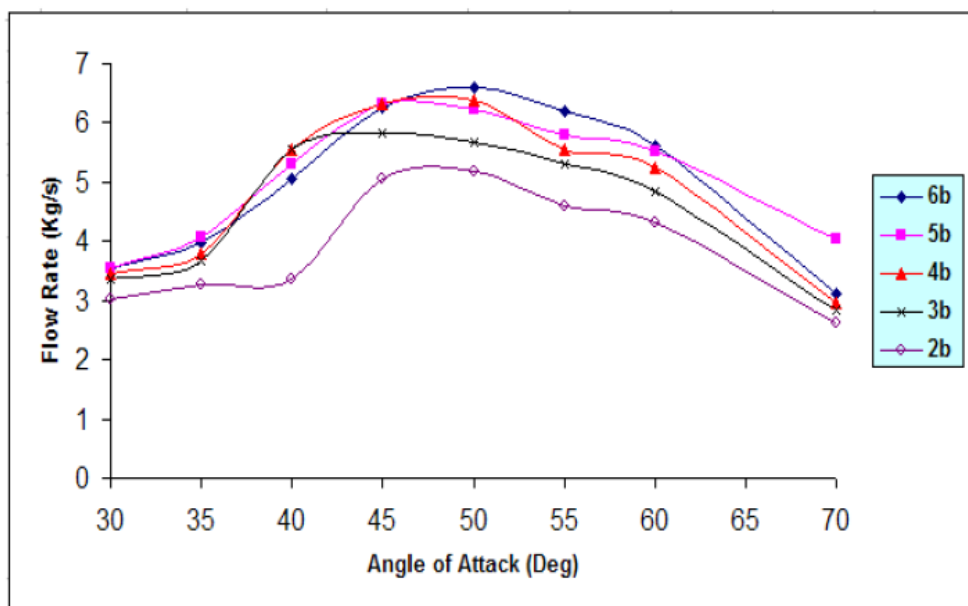
Tabel 2.2. Efek metode upgrade ACHE terhadap performa dan cost

Table 3. Certain ACHE upgrades will afford greater improvements, but may cost more.		
Upgrade	Improvement	Cost
Adjust Blade Pitch	More airflow	Low
Increase Fan Speed	More airflow	Low
Limit Tip Clearance	2–5% More airflow, –0.5 dBA noise	Low
Install Inlet Bell	2–3% More airflow, –1 dBA noise	Low
Install Seal Disc	2–3% More airflow	Low
Align Belts and Drives	3–4% More drive efficiency	Medium
Install High-Efficiency Fans	25–40% More airflow	Medium
Clean Fins	5–50% More duty	Medium
Clean Tubes	5–50% More duty	Medium
Retube Bundle	10–50% More duty	High
Replace Bundle	10–50% More duty	High

Beberapa metode lain dalam usaha mempertahankan performa ACHE ditabelkan di Tabel 2.2. berikut, ditabel ini di juga ditampilkan cost yang dibutuhkan ketika mengimplementasikan metode tersebut

### 2.3.2 Efek Sudut Serangan Dan Rasio Hub Terhadap Ujung Pada Aliran Massa Tingkat Di Kipas Aksial Pada Kecepatan Rotasi Tetap

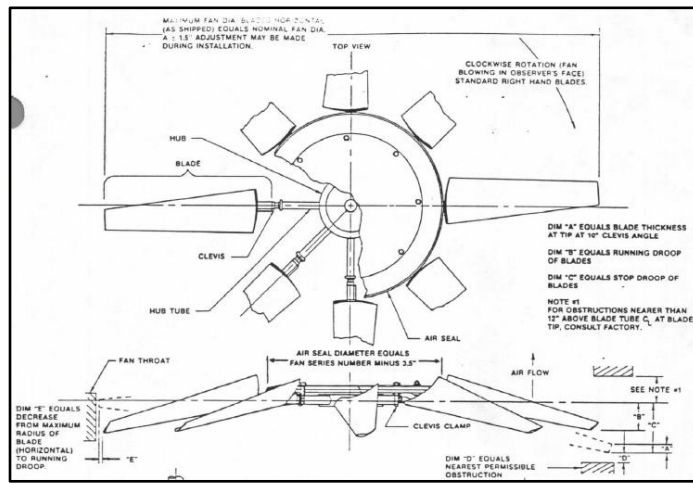
Penelitian yang dilakukan oleh Mohammad J. Izadi dan Alireza Falahat<sup>4</sup> tahun 2008. Mereka melakukan penelitian untuk mendapatkan jumlah blade maksimum dan angle of attack terbaik pada axial fan dengan blade datar untuk menghasilkan maksimum laju alir udara. Variasi sudut blade dari 30 ke 70 derajat, rasio hub terhadap tip fan divariasikan dari 0.2 sampai 0.4 dan jumlah blade divariasikan dari 2 sampai 6 blade. Hasil dari penelitian ini maksimum flow rate didapat pada angle of attack blade 45 derajat dengan 4 blade seperti gambar 2.10 dibawah ini.



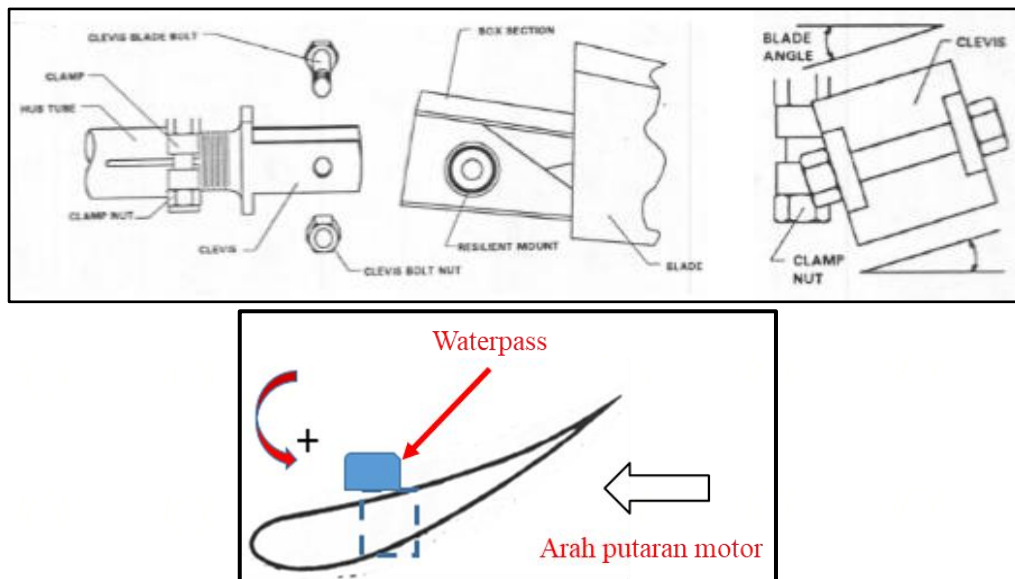
Gambar 2.10. Grafik flow rate pada variasi angle of attack dengan rasio hub to tip 0.2 pada kecepatan 200 rad/sec dengan jumlah blade yang berbeda

## 2.4 Setting Sudut Blade

Setiap fan ACWS terdiri dari delapan blade yang dapat diputar 360 derajat pada Clevis nya. Sebelum dilakukan setting, catat parameter awal dari fan seperti sudut awal, ampere motor, dan bersihkan permukaan fan. Detail drawing fan seperti pada gambar 2.11 dibawah.



Gambar 2.11. Fan ACWS (GE,MS 9000 Service Manual Turbin Accessories and Generator, GEK-98786, Volume 1)



Gambar 2.12. Gambar Bagian Fan ACWS (GE,MS 9000 Service Manual Turbin Accessories and Generator, GEK-98786, Volume 1)

untuk prosedur setting sudut blade adalah sebagai berikut (Gambar 2.12) :

1. Ijin kerja operator dan pastikan breaker motor posisi OFF
  2. Letakkan digital level / waterpass diatas permukaan Clevis dan catat hasil pengukuran sebagai  $13^{\circ}$
  3. Kendorkan Clamp Nut dengan kunci ring 24
  4. Putar Clevis sampai target sudut blade yang diinginkan (variasi per  $2^{\circ}$ )
  5. Kencangkan kembali clamp nut dengan gaya momen sampai 7 m-kg
  6. Tes fan dan catat parameter operasi seperti lampiran 4

## 2.5 Perhitungan Daya Motor

Dari spesifikasi motor yang tertera di name plate pada lampiran 5 dilakukan perhitungan untuk mendapatkan arus maksimal yang diijinkan agar motor tetap bias beroperasi dengan baik dan aman .

⇒ Perhitungan daya motor dengan tegangan 380 V, 3 Phase dengan  $\cos \varphi = 0.85$

Dan ampere didapat dari pengukuran :

⇒ Perhitungan Arus maksimum dengan daya motor 50 HP dengan tegangan 380 V, 3 Phase dengan  $\cos \phi = 0.85$  :

$$I = \frac{P(Hp)}{\sqrt{3} * V * \cos\varphi * 0.00134} = \frac{30(Hp)}{\sqrt{3} * 380 * 0.85 * 0.00134} = 39.3A$$

## **2.6 Peralatan Pengambilan Data Lapangan**

Dalam penelitian ini data diambil dari log sheet operasi dan data pengukuran lapangan antara lain :

1. Data sudut blade fan
  2. Data kecepatan udara fan
  3. Data debit air pendingin didalam pipa
  4. Temperatur

## Alat yang digunakan :

- #### 1. Alat untuk pengukuran sudut blade fan

Dipergunakan alat yang bisa mengukur perubahan sudut  $2^{\circ}$  setiap pengukuran yaitu :

Digital level / waterpass digital DIGIPASS DWL-80E



Gambar 2.13. Digital Level

Spesifikasi teknis (Gambar 2.13):

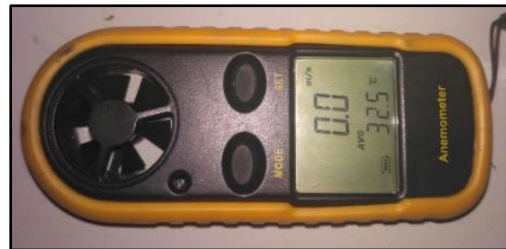
- Rentang pengukuran dari 0 ~ 90; 4 x 90 (360)
- Resolusi 0,1 (1.75mm / M)
- Akurasi 0,1 pada sekitar 0 & 90; 0,2 pada 1 ~ 89
- Fitur Zero Alternatif
- Tampilan sudut digital pada (Derajat),% (kemiringan)

Kelebihan:

- Mudah dan cepat menampilkan segala sudut dalam digital – hasil aktual
- Pengukuran yang tepat, cepat dan andal.  
Mudah di kalibrasi levelnya.
- Dapat memilih untuk menampilkan dalam derajat atau kemiringan% tanpa perlu perhitungan.
- Bisa menempel pada permukaan logam dan memungkinkan pengoperasian tanpa di pegang tangan.

## 2. Alat pengukuran kecepatan udara fan

Dipergunakan alat yang bisa mengukur kecepatan udara sekitar 0 sampai dengan 20 m/s yaitu anemometer digital dengan spesifikasi seperti pada gambar 2.14 :



Gambar 2.14. Digital Anemometer

Spesifikasi (Gambar 2.14):

- Current / max / average wind speed reading
- Five Units of Air Velocity : m/s, Km/h, ft/min, Knots, mph.
- Two Units of Air Temperature : Celcius, Fahrenheit

Spesifikasi Kecepatan Angin:

- Range : 0 - 30 m/s, 0 - 90 km/h, 0 - 5860 ft/min, 0 - 65 mph, 0 - 55 Knots.
- Resolution : 0.1 m/s, 0.3 km/h, 19 ft/min, 0.2 mph, 0.2 Knots.
- Threshold : 0.1m/s, 0.3 km/h, 39 ft/min, 0.2 mph, 0.1 Knots.
- Accuracy : +/- 5%.

## 3. Alat pengukuran debit air pendingin didalam pipa



Gambar 2.15. Ultrasonic Flowmeter Katflow 220

Spesifikasi (Gambar 2.15):

Ultrasonic Flowmeter Katflow 220

Flow velocity range : 0.01 ... 25 m/s

Resolution : 0.25 mm/s

Repeatability : 0.15 % of measured value  $\pm$  0.01 m/s

Accuracy : Volume flow  $\pm$  1 ... 3 % of measured value depending on

application,  $\pm$  0.5 % of measured value with process

calibration Flow velocity  $\pm$  0.5 % of measured value

Rangeability : 1/2500

Turn down ratio : 1/100

Measurable liquids : All acoustically conductive liquids with a gas or

solid content of < 10 % of volume

#### 4. Pengukuran Temperatur

Dipergunakan alat yang bisa mengukur temperatur permukaan dari 10<sup>o</sup> Celcius sampai dengan 100<sup>o</sup> Celcius yaitu :



Gambar 2.16. Fluke High-Temperature Infrared Thermometer

### Spesifikasi (Gambar 2.16)

Temperature : -40 to 550°C (-40 to 1022°F)

Display resolution : 0.1°C (0.1°F) of reading

D:S (distance to spot size) : 12:1

## 2.7. Pemilihan Software untuk Pemodelan

Dalam penelitian ini digunakan software Cycle-Tempo 5.1 untuk mensimulasikan variasi aliran yang sulit dilakukan dengan eksperimen atau perhitungan manual karena kondisi unit yang beroperasi, sehingga untuk perhitungan selanjutnya dimana dua parameter output tidak diketahui yaitu outlet temperatur udara dan air digunakan software Cycle tempo. Cycle-Tempo adalah perangkat lunak yang digunakan untuk pemodelan dan optimasi sistem produksi listrik, panas dan pendinginan. Sistem yang dimodelkan terbentuk dari beberapa komponen yang dihubungkan oleh pipa dan membentuk jaringan aliran massa dan energi.

Tujuan utama dari Cycle-Tempo adalah untuk menghitung relevansi aliran massa dan energi pada sistem. Jumlah dan tipe komponen akan berbeda dari suatu sistem dan sistem lainnya. Perbedaan ini sesuai permintaan pengguna dalam menentukan konfigurasi sistem dan juga model tiap komponen. Dengan menggunakan Cycle-Tempo, pengguna dapat membuat pemodelan sistem sesuai keinginan.

Dalam permodelan system ACWS Apparatus pada Cycle tempo yang digunakan antara lain :

### **1. Type=8 Pump untuk Pompa ACW**

Number of inlet pipes = 1  
Number of outlet pipes = 1  
Maximum number of shafts = 2

### Inlet and outlet Shafts



**Input parameter :**

PIN, POUT, DELP 1), TIN, TOUT dan DELT adalah standard.

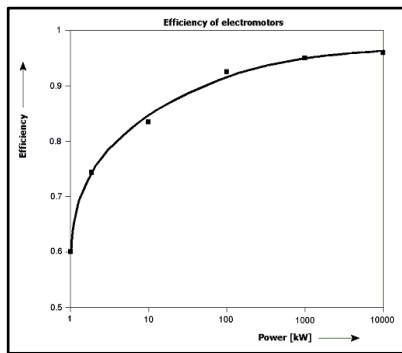
ETHAI=isentropic efficiency (-) (default = UNKNOWN)

ETHAM 2)=mechanical efficiency (-) (default = lihat Figure 2-6)

ETHAE 3)=electric efficiency (-) (default = lihat Figure 2-6)1)

>DELP didefinisikan sebagai penurunan tekanan, nilai ini harus negatif untuk pompa

>ETHAM digunakan dalam perhitungan efisiensi sistem dan dalam konversi daya poros dan daya pompa dan sebaliknya.



Gambar 2.17. Efisiensi elektromotor termasuk efisiensi mekanis dari motor dan pompa sebagai fungsi dari daya pada poros pompa

Jika salah satu efisiensi, ETHAM atau ETHAE, tidak ditentukan maka efisiensi yang tidak ditentukan diambil sama dengan 1. Jika kedua efisiensi tersebut tidak diberikan, maka efisiensi total dihitung dengan interpolasi dari Gambar 2.17.

Jumlah persamaan untuk matriks sistem:

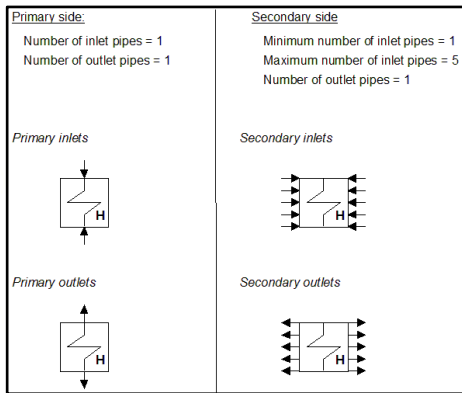
Jenis aparatus ini menambahkan 1 persamaan massa ke matriks sistem.

Perhitungan:

- 1.pout=pin-DELP4.Tout=Tin+DELT
- 2.pin=pout+DELP5.hin=f (hout, ETHAI)
- 3.Tin=Tout-DELT6.hout=f (hin, ETHAI)

## 2. Type=6,12 Heat exchanger untuk : - Radiator

- Generator Cooler
- Support Turbin Cooler
- Atomizing Cooler Lube Oil Cooler



Aplikasi :

Peralatan ini digunakan sebagai penukar panas umum, evaporator atau tungku / furnace.

Untuk furnace, konstanta radiasi dihitung pada desain dengan menggunakan, antara lain, suhu outlet furnace. Suhu ini dihitung pada off-design menggunakan metode Ter Linden. Untuk furnace  $\text{EEQCOD} = 1$  harus dipilih. Masukan tambahan untuk furnace dijelaskan pada akhir paragraf ini.

Kode persamaan energi (EEQCOD) menentukan penggunaan persamaan energi:

- $\text{EEQCOD} = 1$ : persamaan energi peralatan digunakan untuk menghitung aliran massa. Persamaan energi, yang didefinisikan oleh pengguna (mungkin dikombinasikan dengan peralatan lain), dapat ditentukan sebagai fungsi produksi. Jika ini tidak terjadi, program akan secara otomatis menentukan fungsi produksi. Nilai dari fungsi ini mewakili pelepasan energi ke lingkungan, yaitu kehilangan termal.
- $\text{EEQCOD} = 2$ : persamaan energi peralatan digunakan untuk menghitung entalpi di salah satu inlet atau outlet. Persamaan energi tidak akan ditambahkan ke matriks sistem.

Jika  $\text{EEQCOD}$  tidak ditentukan, nilai default 2 digunakan.

Untuk perhitungan off-design persamaan perpindahan panas digunakan. Untuk ini, tingkat kapasitas perpindahan panas (UA-value) harus ditentukan dalam input. Media primer dan sekunder mungkin dalam hal ini hanya memiliki 1 saluran masuk dan 1 outlet.

Input parameter :

PIN1, POUT1, DELP1, TIN1, TOUT1, DELT1 adalah standard

PIN2, POUT2, DELP2, TIN2, TOUT2, DELT2 1) adalah standard

DELTH=beda suhu high terminal( $^{\circ}$ C) lihat Gambar 2.17. (default = UNKNOWN)

DETLT=beda suhu low terminal ( $^{\circ}$ C) lihat Gambar 2.17. (default = UNKNOWN)

RPSM = perkiraan awal untuk rasio arus massa primer / sekunder untuk EEQCOD = 2.

Nilai negatif menunjukkan adanya penukar panas arus paralel dan nilai positif memberikan counter current heat exchanger (default = 1.0).

Spesifikasi RPSM direkomendasikan jika diantisipasi bahwa rasio aliran massa antara media primer dan sekunder akan sangat berbeda dari 1. Hal ini dapat mencegah fluktuasi arus massa selama langkah iterasi pertama.

Untuk EEQCOD = 1 hanya tanda RPSM yang digunakan untuk menentukan arah aliran.

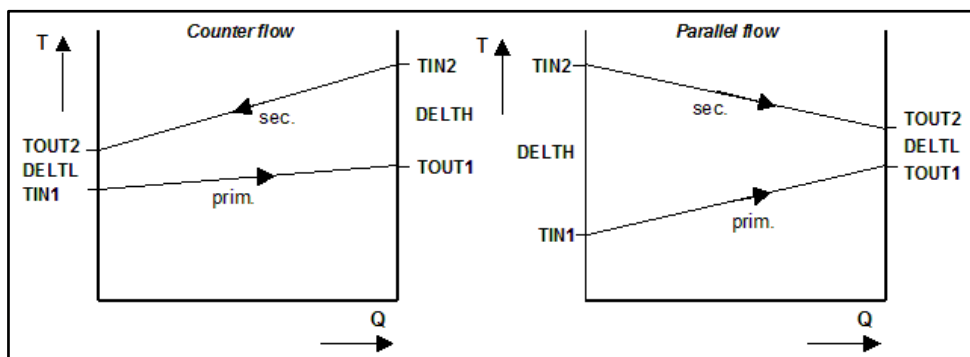
DELE = aliran energi ke lingkungan (kW) untuk EEQCOD = 2 (default = 0.0)

DELE> 0 adalah aliran energi ke lingkungan, misalnya kehilangan radiasi. Nilai ini, yang digunakan dalam keseimbangan energi lokal, dapat diubah dalam subrutin pengguna (APSUB).

DELE harus berbeda setidaknya dari EPS8888.8

Catatan:

- 1) DELT2 didefinisikan sebagai kenaikan suhu, jadi nilai ini biasanya memiliki nilai negatif untuk medium sekunder seperti pada gambar 2.18.



Gambar 2.18. Penentuan medium primer dan sekunder Heat Exchanger

Jumlah persamaan untuk matriks sistem :

Jenis aparatus ini menambahkan 2 persamaan massa ke matriks sistem. Jika EEQCOD = 1, sebuah persamaan energi ditambahkan juga, dalam bentuk fungsi produksi. Program ini secara otomatis akan menghasilkan fungsi produksi jika mendeteksi bahwa aparatus belum didefinisikan dalam fungsi produksi lain.

Ringkasan :

**EEQCOD = 1:** 2 mass equations + 1 production function = 3 equations

**EEQCOD = 2:** 2 mass equations

Perhitungan :

### **Untuk kedua media**

1.  $p_{out} = p_{in} - \Delta p$  Δp = penurunan tekanan pada sisi primer atau sekunder

$$p_{in} = p_{out} + \Delta p$$

2.  $T_{in} = T_{out} - \Delta T$  ΔT = kenaikan suhu pada sisi primer atau sekunder

$$T_{out} = T_{in} + \Delta T$$

Ini hanya digunakan bila media memiliki 1 saluran masuk dan 1 outlet.

### **Counter current**

Media primer

1.  $T_{out}, p = T_{in}, s - \Delta LTH$  hanya untuk satu inlet sekunder.

2.  $T_{in}, p = T_{out}, s - \Delta LTL$

Medium sekunder

1.  $T_{out}, s = T_{in}, p + \Delta LTL$

2.  $T_{in}, s = T_{out}, p + \Delta LTH$  hanya untuk satu inlet sekunder.

### **Co current**

Media primer

1.  $T_{out}, p = T_{in}, s - \Delta LTH$  Hanya untuk satu inlet sekunder.

2.  $T_{in}, p = T_{out}, s - \Delta LTH$

Medium sekunder

1.  $T_{out}, s = T_{in}, p + \Delta LTL$

2.  $T_{in}, s = T_{out}, p + \Delta LTH$  hanya untuk satu inlet sekunder.

## Perhitungan Off-Design

Nilai DELTH dan DELTL dapat disesuaikan dengan menggunakan aliran massa aktual jika DSMAS1 atau DSMAS2 ditentukan sebagai data masukan untuk perhitungan off-design.

Jika hanya 4 pipa yang terhubung ke heat exchanger, tingkat kapasitas perpindahan panas  $U * A$  diberikan, semua tekanan inlet dan outlet diketahui, dan:

EEQCOD = 1: tiga entalphi diketahui, maka entalpi yang tidak diketahui dihitung dengan menggunakan persamaan perpindahan panas. Rasio aliran massa primer / aliran massa sekunder dihitung dari prosedur pemecahan matriks sistem.

EEQCOD = 2: dua enthalpies diketahui, maka dua enthalpies yang tidak diketahui dihitung dengan menggunakan persamaan energi dan persamaan perpindahan panas.

Input parameter dari perhitungan off-design :

DSMAS1 = desain aliran massa sisi primer (kg / s)

DSMAS2 = desain aliran massa sisi sekunder (kg / s)

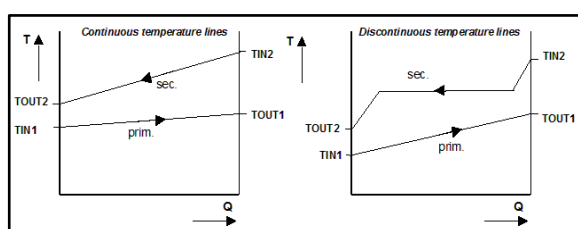
$UA$ =tingkat kapasitas perpindahan panas dari penukar panas permukaan (kW / K).

Nilai  $UA$  dapat disesuaikan dengan aliran massa dengan:

$$\text{Jika DSMAS1 ditentukan: } UA' = UA \left( \frac{\Phi_m}{DSMAS1} \right)^{ETHA}$$

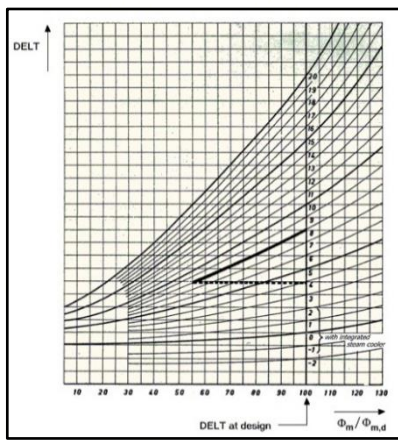
$$\text{Jika DSMAS2 ditentukan: } UA' = UA \left( \frac{\Phi_m}{DSMAS2} \right)^{ETHA}$$

Rumus ini tidak dapat dipergunakan untuk profil discontinuous temperature seperti gambar 2.19



Gambar 2.19. Profil Garis Temperatur Heat Exchanger

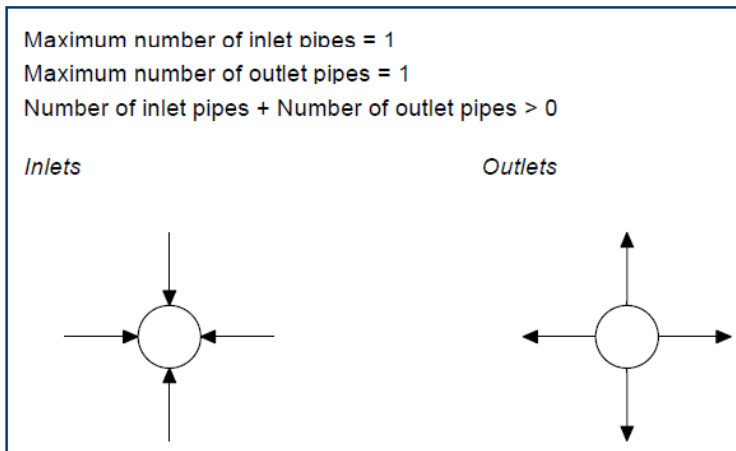
Salah satu DSMAS1 atau DSMAS2 harus ditentukan, tidak keduanya. Dianjurkan untuk menentukan DSMAS untuk media, yang mempengaruhi koefisien perpindahan panas secara keseluruhan paling banyak. Misalnya, perpindahan panas antara gas buang dan air didominasi oleh sisi gas buang. Dalam hal ini seseorang menentukan DSMAS2 (gas buang adalah media yang didinginkan, oleh karena itu sisi sekundernya). Jika UA tidak ditentukan, DSMAS digunakan untuk menyesuaikan perbedaan suhu DELTL atau DELTH, sesuai dengan kurva yang ditunjukkan pada Gambar 2.20.



Gambar 2.20. DELTH/DETL pada off-design

### 3. Type = 10 Sink/Source untuk : - inlet Fan

- Inlet dan outlet Cooler
- Outlet Radiator



Aplikasi :

Model ini bisa digunakan untuk pemodelan dari :

- aliran massa dari (source) atau ke (sink)
- energi source atau sink
- peredam tekanan (katup ekspansi)
- perubahan komposisi atau tipe media
- perkiraan suhu

Dalam kasus pertama aparatus hanya dapat dihubungkan dengan 1 pipa. Jika aliran massa ditentukan secara langsung dengan DELM, atau secara tidak langsung dengan DELV atau DELVN, maka ini memberikan 1 persamaan massa untuk matriks sistem. Dalam kasus lain, 1 saluran masuk dan 1 pipa pembuangan diperlukan, dimana DELE harus ditentukan untuk energi source atau sink dan DELH = 0,0 untuk peredam tekanan / pressure reducer.

Perhitungan :

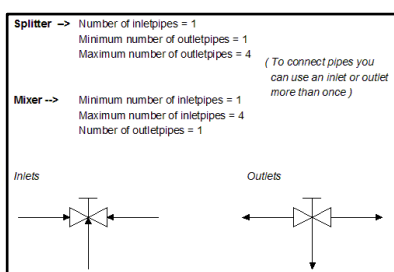
- 1.pin=pout+DELP
- 2.pout=pin-DELP
- 3.Tin=Tout-DELT
- 4.Tout=Tin+DELT
- 5.hin=hout-DELH
- 6.hout=hin+DELH
- 7.hout = hin-DELE/ $\Phi_m\Phi_m$  = mass flow dari iterasi sebelumnya.  
(starting value:  $\Phi_m$  = ESTMAS)
- 8.pin = psat(Tin, XIN)
- 9.pin = psat(Tin+ DTSUBC, x=0)
- 10.pin = psat(Tin - DTSUPH, x=1)
- 11.pout = psat(Tout, XOUT)
- 12.pout = psat(Tout+ DTSUBC, x=0)
- 13.pout = psat(Tout - DTSUPH, x=1)
- 14.Tin = Tsat( pin, XIN)
- 15.Tin = Tsat( pin, x = 0)-DTSUBC
- 16.Tin = Tsat( pin, x = 1)+ DTSUPH
- 17.Tout = Tsat( pout, XOUT)

$$18. T_{out} = T_{sat}(p_{out}, x=0) - DTSUBC$$

$$19. T_{out} = T_{sat}(p_{out}, x = 1) + DTSUPH$$

#### 4. Type=14 Valve untuk - pembagi aliran (spitter)

- valve



## Aplikasi :

Aparatus dapat digunakan sebagai pembagi atau pencampur:

- Splitter: 1 inlet dan 1 sampai maksimal 4 outlet.
  - Mixer: 1 outlet dan 1 sampai maksimum 4 inlet.

Jenis alat ini digunakan untuk menentukan aliran massa atau volume pada salah satu pipa yang terhubung. Dalam kasus splitter, salah satu arus keluaran bisa ditentukan. Dalam kasus mixer, salah satu arus masuk dapat ditentukan. Spesifikasi salah satu aliran massa atau volume dapat dilakukan dengan cara yang absolut, atau relatif terhadap aliran di salah satu pipa lainnya di sistem.

**Input Parameter :**

Spesifikasi aliran dan rugi tekanan dimungkinkan. Spesifikasi arus adalah wajib, spesifikasi rugi tekanan bersifat opsional.

Data masukan berikut tersedia:

Pipa untuk menentukan aliran untuk: Jika hanya ada 1 pipa masuk, maka di sini jumlah salah satu pipa outlet harus ditentukan. Jika ada lebih dari 1 pipa saluran masuk, maka di sini jumlah salah satu pipa saluran masuk harus ditentukan.

**Arus:** Satuan nilai arus ditampilkan di sebelah field, dan bergantung pada jenis arus yang ditentukan pengguna.

Rugi tekanan: Kehilangan tekanan di atas katup.

Selanjutnya pengguna dapat memilih apakah nilai arus adalah nilai absolut, atau relatif terhadap salah satu pipa lain dalam sistem. Jika opsi yang terakhir dipilih, data masukan lain dapat diakses dimana pengguna harus menentukan jumlah pipa itu.

Akhirnya pengguna harus memilih jenis arus yang nilainya telah ditentukan. Secara default, aliran massa dipilih, namun aliran volume aktual (yaitu, volume mengalir pada tekanan dan suhu aktual arus) dan arus volume standar (yaitu, volume mengalir pada 1.01325 bar dan  $0^{\circ}\text{C}$ ) dapat dipilih sebagai alternatif.

Catatan :

Aparatus juga bisa digunakan dengan 1 input dan 1 output. Ini berguna jika ingin merumuskan aliran massa atau volume dalam pipa atau sebuah siklus.

Jumlah persamaan untuk matriks system :

Tipe aparatus ini menambahkan dua persamaan massa ke matriks sistem.

Perhitungan :

*Splitter*

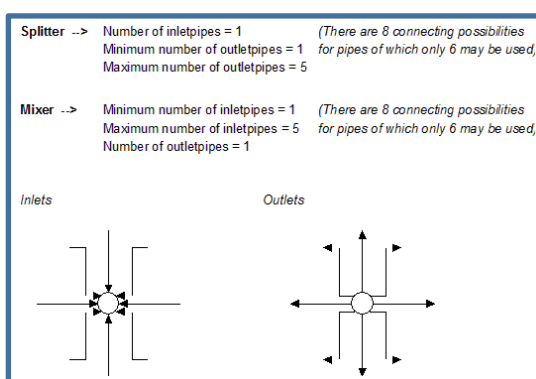
1.  $p_{out}(i) = p_{in}$  (untuk semua  $i = 1 \dots n$ )

2.  $p_{in} = p_{out}(k)$  = jumlah pipa yang tekanannya diketahui  $k$ )

3.  $h_{out}(i) = h_{in}$  (untuk semua  $i = 1 \dots n$ )

Catatan : 1) Ini berarti bahwa tekanan pada tidak lebih dari 1 pipa outlet harus ditentukan atau dihitung di hilir.

## 5. Type=9 node untuk pencampur (Mixer)



### Aplikasi :

Aparatus ini digunakan untuk mencampur atau membagi arus proses. Bergantung pada nilai kode persamaan energi (EEQCOD) ada dua kemungkinan untuk menggunakan persamaan energi:

- $\text{EEQCOD} = 1$  (tipe = 11): persamaan energi digunakan untuk menghitung rasio aliran massa, dan secara otomatis ditambahkan ke matriks sistem. Salah satu aplikasi yang berguna sebagai mixer adalah menggunakan tipe peralatan ini untuk memodelkan pendingin uap. Dengan  $\text{EEQCOD} = 1$  jenis peralatan ini juga dapat digunakan sebagai splitter, namun hanya jika enthalpies spesifik pada pipa outlet ditentukan (atau dihitung di peralatan lain di hilir) dan tidak sama satu sama lain. Contoh yang sering digunakan adalah pemisah uap / cairan untuk memisahkan campuran dua fasa dengan substrat uap dan cairannya.
- $\text{EEQCOD} = 2$  (tipe = 9): persamaan energi digunakan untuk menghitung entalpi spesifik yang tidak diketahui.

Jika  $\text{EEQCOD}$  tidak ditentukan, nilai default 2 digunakan.

### Input Parameter :

**DELP** = rugi tekanan pada node (bar) (default = UNKNOWN)

Jika  $\text{DELP}$  tidak ditentukan, baik tekanan outlet (untuk splitter) atau tekanan saluran masuk (untuk mixer) mungkin berbeda. Jika  $\text{DELP}$  ditentukan, semua inlet (untuk mixer) atau semua outlet (untuk pembagi) akan memiliki tekanan yang sama.

**EEQCOD** = 1 (tipe = 11):

**DELE** = rugi energi (kW) (default = 0.0)

**DELE** tidak bisa disesuaikan dengan user subrutin.

**EEQCOD** = 2 (tipe = 9) (default):

Spesifikasi RMASS 1 dll hanya berguna untuk mixer, dan TIDAK untuk splitter.

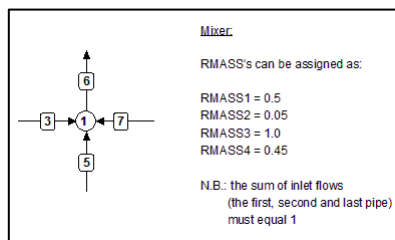
**RMASS1** = perkiraan awal untuk semua aliran massa, dinyatakan sebagai pecahan dari outlet untuk mengalir. Nilai yang diberikan hanya akan digunakan pada iterasi pertama.

**RMASS6** Jumlah nilai harus sama dengan 2,0 (aliran massa outlet juga disertakan).

Pada default, kontribusi massa inlet yang mengalir ke aliran massa outlet diasumsikan sama.

RMASS adalah deretan angka, yang menunjukkan rasio mixer arus yang diharapkan pada saluran masuk dan saluran keluar. Urutan dalam array adalah meningkatkan jumlah pipa.

Spesifikasi dianjurkan jika aliran massa yang diharapkan berbeda lumayan. Variabel ini dapat mencegah fluktuasi yang tidak diinginkan dalam aliran massa dan komposisi. Fluktuasi ini dapat menyebabkan masalah dalam perhitungan seperti argumen negatif untuk akar atau fungsi logaritmik, yang kemudian mengakibatkan putusnya perhitungan



Contoh :

Jumlah persamaan untuk matriks sistem :

Jenis aparatus ini menambahkan 1 persamaan massa ke matriks sistem. Dalam kasus EEQCOD = 1, persamaan energi juga ditambahkan.

Ringkasan :

EEQCOD = 1: 1 persamaan massa + 1 persamaan energi = 2 persamaan

Persamaan massa EEQCOD = 2: 1 (default)

Perhitungan untuk tekanan:

Untuk node DELP didefinisikan dengan cara yang agak berbeda dibandingkan dengan tipe aparatus lainnya. Di bawah adalah aturan perhitungannya, dengan asumsi salah satu dari n pipa masuk (untuk mixer) atau outlet (untuk splitter).

Berikut ini berlaku jika DELP belum ditentukan:

Splitter:

1.pin = max {pout(i)} (baik semua tekanan inlet atau tekanan outlet harus diketahui)

2.pout (i) = pin (jika pin diketahui)

Mixer:

3.pout = min {pin (i)} (baik tekanan outlet atau semua tekanan masuk harus diketahui)

4.pin (i) = pout (jika pout diketahui)

Jika DELP telah ditentukan:

Splitter:

5.pout (i) = pin - DELP (i = 1 ..... n)

6.pin = pout (k) + DELP (k: pipa dengan tekanan yang diketahui)

Jika semua pipa yang terhubung (inlet dan outlet) hanya satu tekanan yang harus diketahui.

Mixer :

7.pout = pin (k) - DELP (k: pipa dengan tekanan yang diketahui)

8.pin (i) = pout + DELP (i = 1 ..... n)

Jika semua pipa yang terhubung (inlet dan outlet) hanya satu tekanan yang harus diketahui.

Perhitungan yang lain :

Mixer dengan EEQCOD = 2 (tipe 9):

$$9. h_{out} = \frac{\sum_{i=1}^{\infty} (h_{in}(i)x\Phi_{m,in}(i))}{\Phi_{m,out}} \text{ Jika semua } h_{in}(i) \text{ sudah diketahui}$$

$$10. h_{in}(k) = \frac{h_{out}x\Phi_{m,out} - \sum_{i=k}^{\infty} (h_{in}(i)x\Phi_{m,in}(i))}{\Phi_{m,in}(k)} \text{ jika } h_{out} \text{ dan } h_{in}(i) \text{ diketahui untuk semua } i \neq k$$

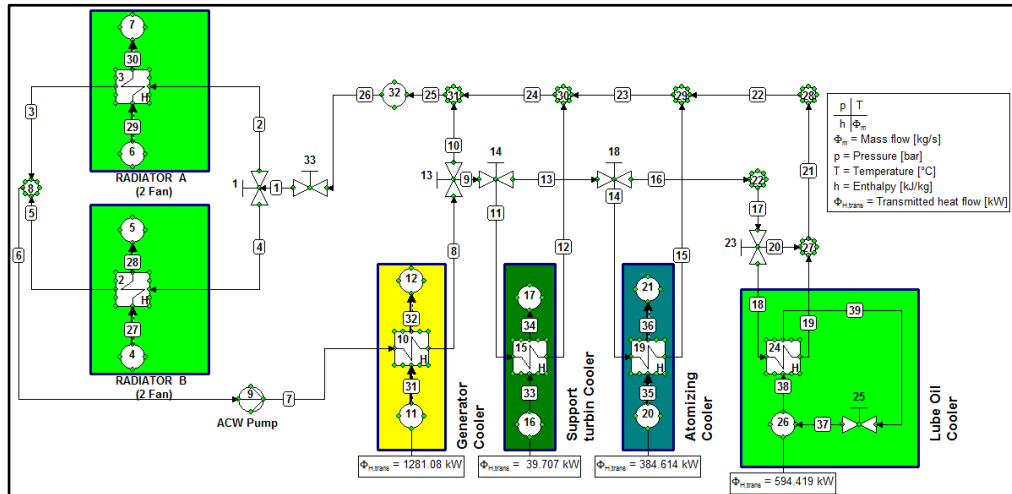
Splitter dengan EEQCOD = 2 (tipe 9):

$$11. h_{out}(i) = h_{in}$$

$$12. h_{out}(k) = \frac{h_{in}x\Phi_{m,in} - \sum_{i=k}^{\infty} (h_{out}(i)x\Phi_{m,out}(i))}{\Phi_{m,out}(k)} \text{ Jika } h_{in} \text{ dan } h_{out}(i) \text{ diketahui untuk semua } i \neq k$$

Aturan perhitungan 12 hanya akan diterapkan jika kondisi pipa outlet sudah ditentukan. Dalam situasi lain aturan 11 akan diterapkan.

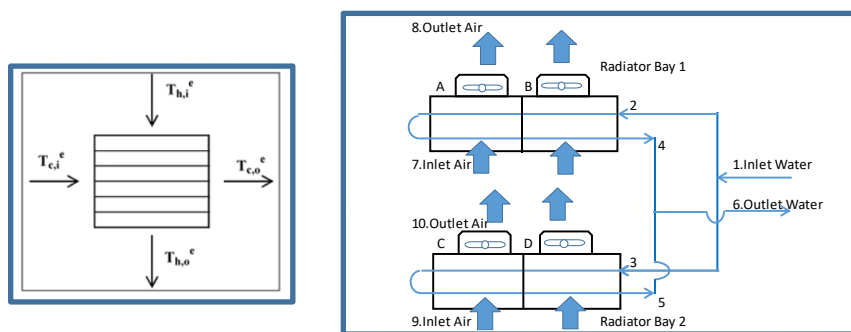
Dengan apparatus tadi system ACWS GTG 13 dimodelkan seperti Gambar 2.21 dibawah



Gambar 2.21. System ACWS di Cycle Tempo

## 2.8 Perpindahan Panas di Radiator

Radiator di asumsikan sebagai heat exchanger type cross flow , dua pass dimana sisi udara tercampur (mixed) dan sisi air tidak tercampur (Unmixed) seperti digambarkan di gambar 2.22.



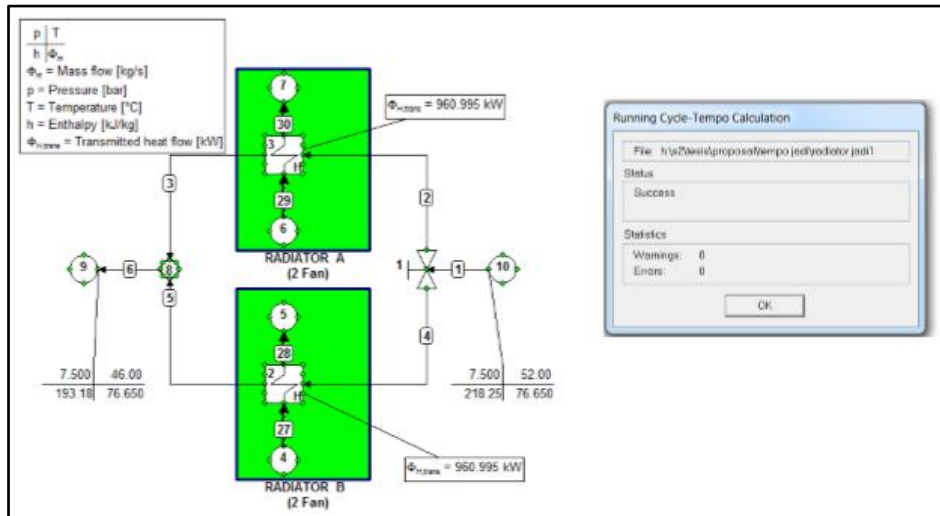
Gambar 2.22. Type dan Diagram Radiator ACWS

Keseimbangan energi :

$$q_{\text{udara}} = q_{\text{air}}$$

$$\dot{m}_{\text{udara}}(h_{\text{out udara}} - h_{\text{in udara}}) = \dot{m}_{\text{air}}(h_{\text{out air}} - h_{\text{in air}})$$

Untuk analisa, skema pada Gambar 2.21 diambil sisi radiatornya dengan parameter konstan adalah temperature , pressure dan debit air inlet, serta temperature inlet udara seperti gambar 2.23.



Gambar 2.23. Radiator di Cycle Tempo

Perhitungan :

1. Perhitungan sisi air

- $\dot{q} = \dot{m}_2 \times (h_2 - h_4)$ 
  - Dari aplikasi CATT (Lampiran 8):
  - Titik 2 :  $T_2$  dan  $P_2$  diketahui sehingga  $\Rightarrow h_2$  didapat
  - Titik 4 :  $T_4$  dan  $P_4$  diketahui sehingga  $\Rightarrow h_4$  didapat

2. Perhitungan udara

- $\dot{q} = \dot{m}_7 \times (h_8 - h_7) \rightarrow h_8 = h_7 + \frac{\dot{q}}{\dot{m}_7}$ 
  - Dari aplikasi CATT (Lampiran 8):
  - Titik 7 :  $T_7$  dan  $P_7$  diketahui sehingga  $\Rightarrow h_7$  didapat

Dari  $h_8$  yang diperoleh dan  $P_8$ , didapatkan dari CATT nilai  $T_8$

3. Perhitungan  $\Delta T_{LMTD}$

$$\circ \quad \Delta T_{LMTD} = \frac{(T_2 - T_8) - (T_4 - T_7)}{\ln \frac{(T_2 - T_8)}{(T_4 - T_7)}}$$

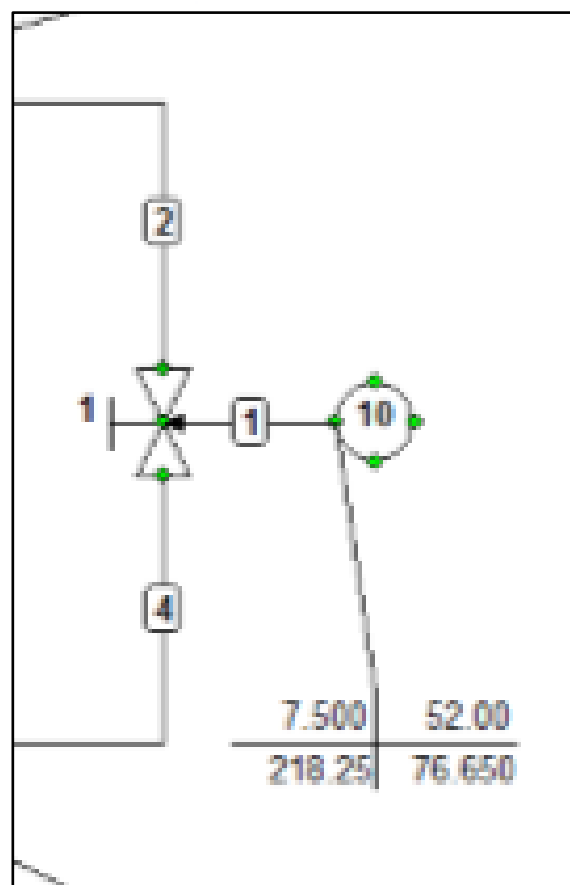
#### 4. Perhitungan kapasitas transfer panas

$$U * A = \frac{\dot{q}}{\Delta T_{LMTD}}$$

Nilai UA ini kemudian diinputkan ke dalam permodelan di cycle tempo untuk perhitungan off-design dengan input variable lain yaitu variasi mass flow. Dengan perhitungan off-design, output radiator sisi air dan udara biasa didapatkan dengan iterasi dari input radiator yang diberikan

### 2.9 Persamaan Pada Splitter

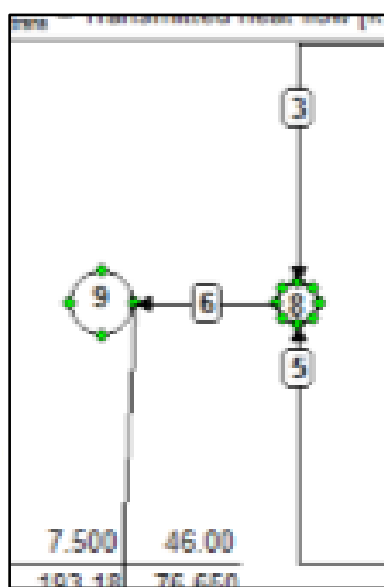
Pada splitter (apparatus 1) terjadi pemisahan aliran dengan hukum kekekalan massa  $\dot{m}_1 = \dot{m}_2 + \dot{m}_4$



Gambar 2.24. Pipa Diagram Splitter

## 2.10 Persamaan Pada Mixer

Pada Mixer (apparatus 1) terjadi penggabungan aliran dengan hukum kekekalan massa  $\dot{m}_3 + \dot{m}_5 = \dot{m}_6$



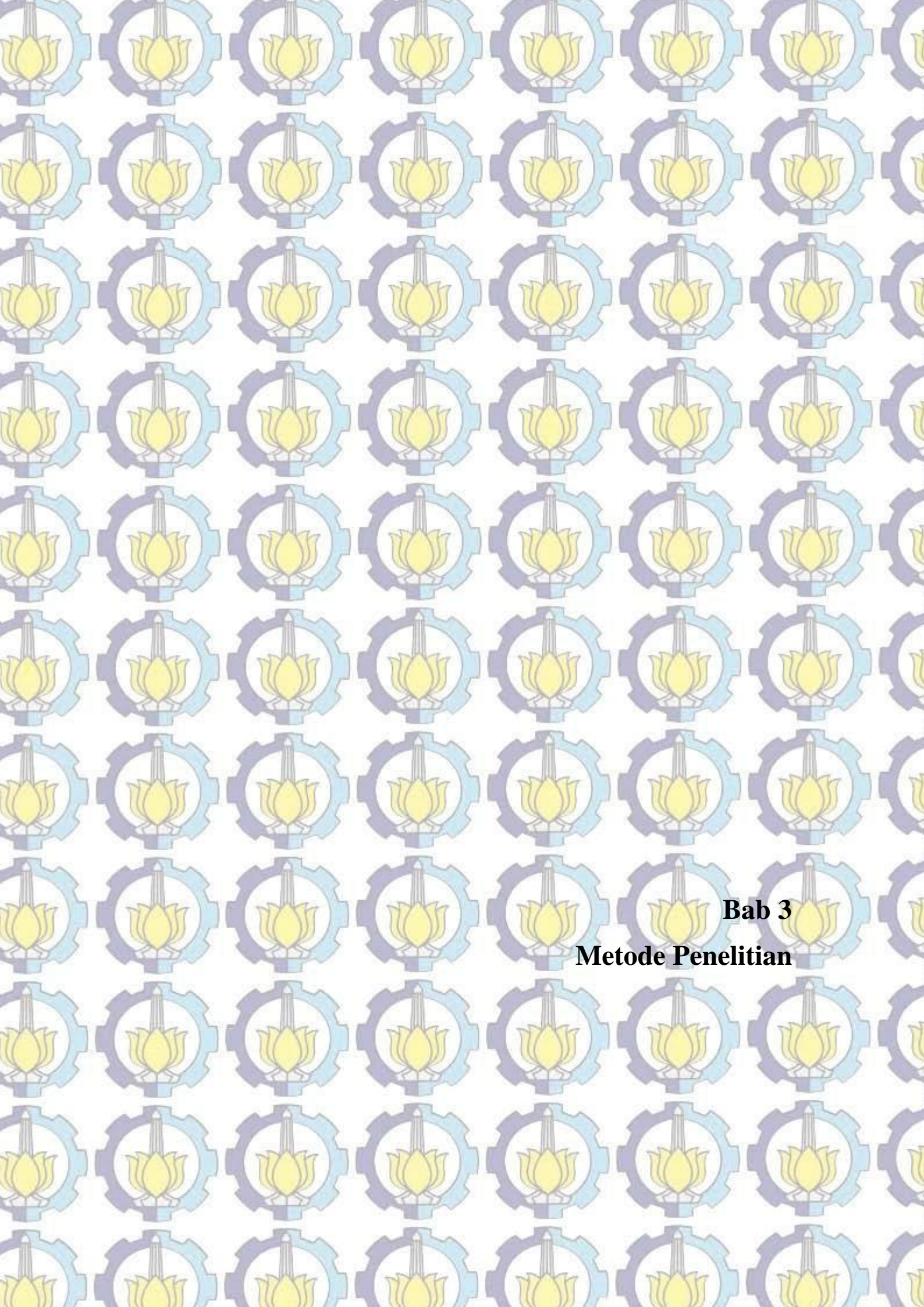
Gambar 2.25. Pipa Diagram Mixer

Keseimbangan energi :

$$q_6 = q_3 + q_5$$

$$\dot{m}_6 h_6 = \dot{m}_3 h_3 + \dot{m}_5 h_5$$

Dari  $h_8$  dan  $P_8$ , didapatkan dari CATT atau table properties air nilai  $T_8$



## **Bab 3**

### **Metode Penelitian**

## **BAB 3**

### **METODE PENELITIAN**

#### **3.1 Tahap-tahap Penelitian**

Penelitian ini dilakukan dengan melakukan perhitungan dari data eksperimen dan simulasi permodelan system ACWS menggunakan Cycle Tempo 5.1 , data parameter diambil dari:

##### **A. Data operasi GTG 1.3**

Data operasi yang diambil adalah data dari loogsheet operator per 2 jam sesuai Tabel 3.1 dibawah :

Tabel 3.1. Loogsheet GTG 13

TGL	JAM	Beban	T <sub>ambient</sub>	Radiator		T <sub>lube oil header</sub>	T <sub>lube oil Tank</sub>
				T <sub>in</sub> C	T <sub>out</sub> C		
		MW		°C	°C	°C	
13/4/17	0	106.5	27	47	41.5	62	70
13/4/17	2	107.4	27	47	41.5	62	70
13/4/17	4	107.3	27	46	41	61	70
13/4/17	6	107.2	27	46	41	61	70
13/4/17	8	104.1	30	48	45	63	72
13/4/17	10	102.2	32	49	45	64	72
13/4/17	13	101.6	34	49	46	65	73
13/4/17	15	102.5	34	48	45	64	73
13/4/17	17	102.7	33	48	45	64	73
13/4/17	20	107.7	32	48	44.4	65	74
13/4/17	22	106.8	30	48	44.5	65	74

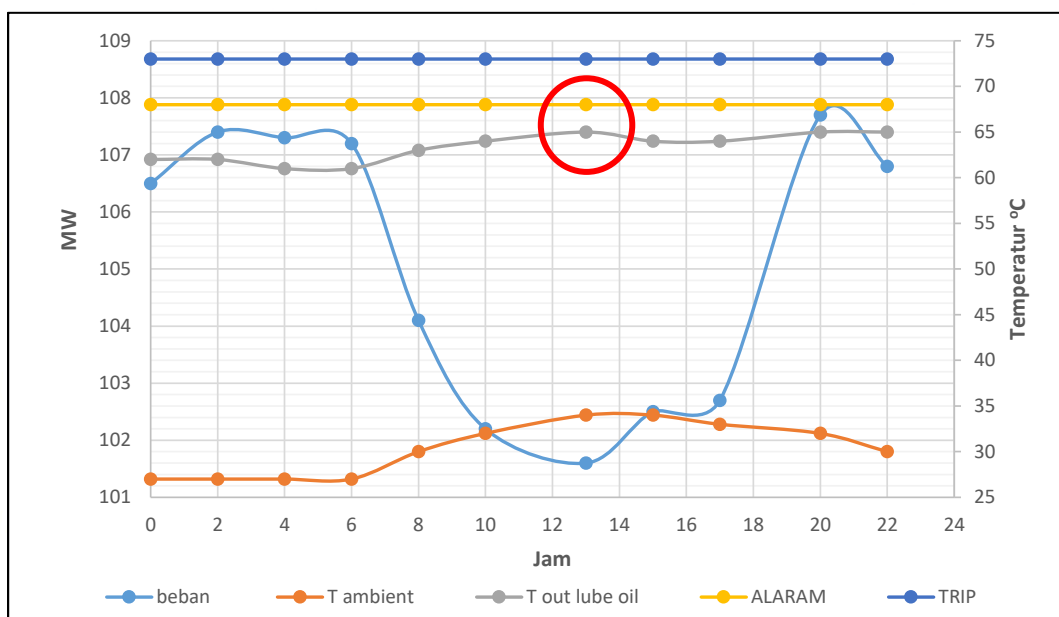
Juga diambil data ampere motor cooling fan serta debit dari pompa ACW sebagai berikut :

Ampere = 29

Debit ACW = 3000 LPM

Dari Tabel 3.1 diplotkan di grafik menjadi Gambar 3.1 dan didapatkan :

1. Saat GTG beroperasi maximum load, auto control nya adalah temperatur exhaust gas turbin, disini terlihat bahwa dengan kenaikan temperatur ambient, temperatur exhaust akan lebih cepat tercapai, ini yang dapat dilihat dari jam 8 pagi sampai jam 15 sore beban maximum akan turun, dan beban akan kembali mulai naik saat temperatur ambient turun.
  2. Pada jam 12 sampai dengan jam 15 (lingkaran merah), terlihat grafik temperatur Tout lube oil mencapai temperatur tertinggi yaitu 65°C, dimana saat itu temperatur ambient juga mencapai nilai tertinggi yaitu 34 °C. Dititik ini adalah titik terawan atau unit akan mengalami derating beban tertinggi saat terjadi kerusakan 1 fan karena titik ini kondisi temperatur outlet cooler lube oil pada posisi paling dekat dengan temperatur alarm.
- Jadi input nilai parameter pada penelitian ini di ambil logsheet operasi pada jam ini dengan asumsi jika hasil yang dicapai pada penelitian dengan input titik pada kondisi di jam 13, nilai nya akan digunakan pada perhitungan berikutnya.



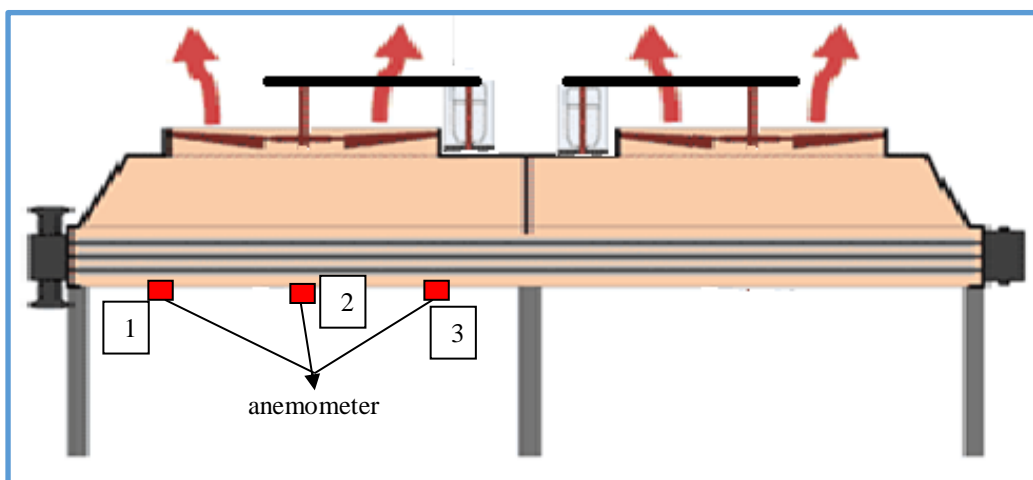
Gambar 3.1. Grafik beban, Tambient, Tout oli, Talarm dan T trip terhadap jam

## B. Data Eksperimen Cooling fan di GTG 1.2

Pertimbangan eksperimen dilakukan di unit GTG 1.2 :

1. karena status GTG 1.2 standby terakhir untuk start, sehingga eksperimen tidak mengganggu kinerja unit
2. Bentuk dan ukuran dan manufacture cooling fan di GTG 1.1, GTG 1.2 dan GTG 1.3 sama sehingga performa cooling fan di setiap unit di asumsikan sama.

Data ini di ambil saat unit stop dan dilakukan pengambilan data dengan menggunakan anemometer seperti gambar 3.2 dibawah



Gambar 3.2. Posisi pengambilan data

### Proses pengukuran kecepatan udara pada Cooling Air Fan 2A

Pengambilan data dengan meletakkan Anemometer pada masukan aliran udara (suction Bell) di suction area  $\pm 15$  cm dari bawah Fin Tube<sup>7</sup> dengan maksud agar titik pengukuran pada daerah aliran yang fully develop.

Data yang diambil dari variasi sudut blade adalah kecepatan udara dan ampere motor.

### **3.2 Permodelan di Cycle Tempo**

Pembuatan model ACWS di Cycle Tempo 5.1, Beberapa apparatur di cycle tempo yang digunakan dalam penelitian ini antara lain :

1. Heat exchanger untuk Radiator, Generator Cooler, Support turbin cooler, Atomizing Cooler dan Lube oil cooler
2. Pump untuk ACW pump
3. Valve untuk splitter atau membagi aliran
4. Node untuk Mixer atau pencampur aliran
5. Shink untuk cooling fan dan input parameter

Tahapan ini diawali dengan

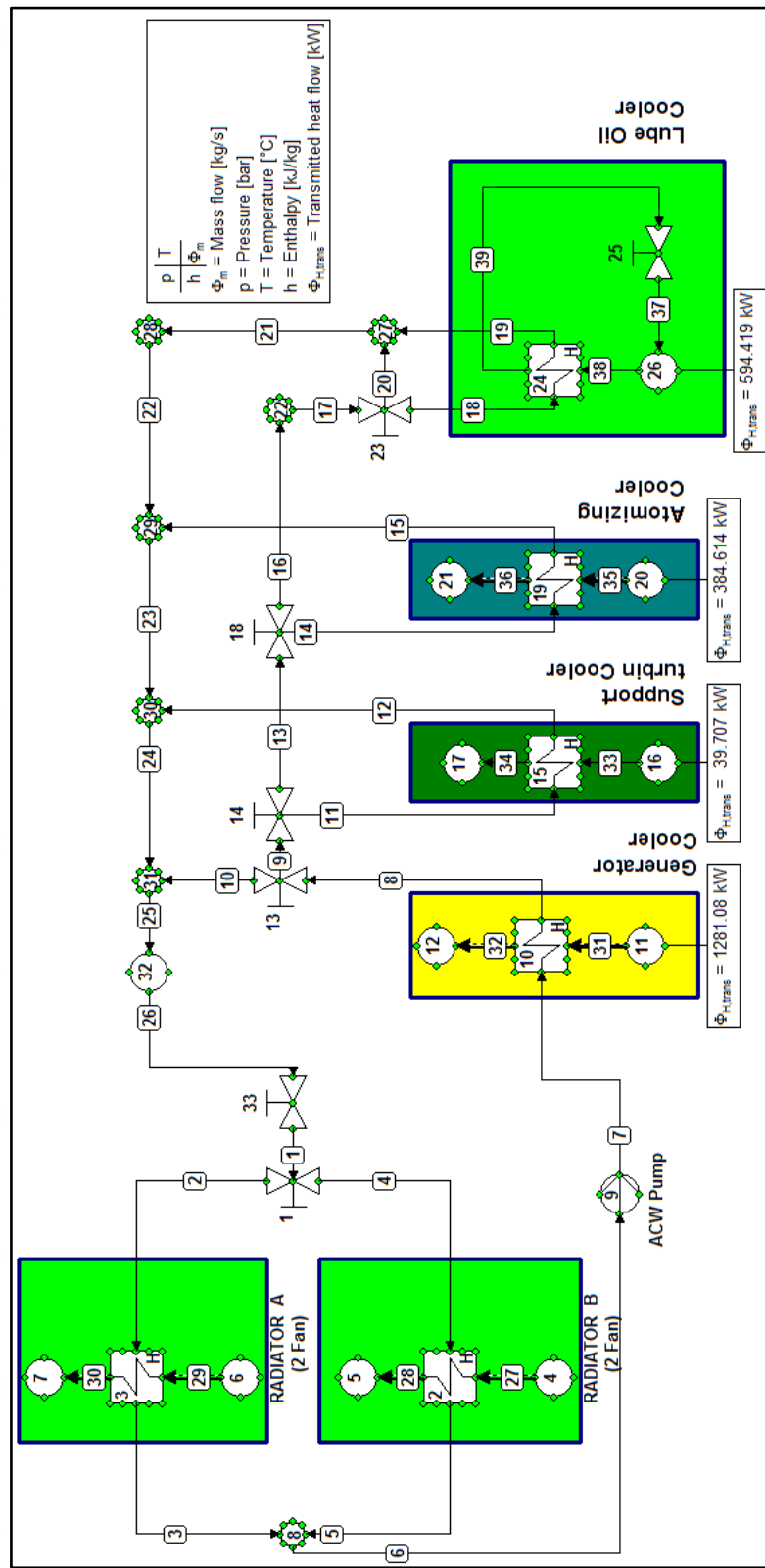
Pemodelan ACWS dengan menggunakan *software Cycle Tempo* seperti Gambar 3.3. Selanjutnya adalah memasukkan nilai parameter pada masing-masing komponen ACWS sesuai dengan data operasi dan pengukuran. Setelah success (tidak terdapat kesalahan). Selanjutnya dilakukan tahap validasi dengan membandingkan nilai yang dihasilkan software Cycle Tempo dengan nilai pada data operasi, Jika relatif sama atau maksimal error 5% maka system di Cycle tempo sudah valid, selanjutnya dilakukan proses penyederhanaan system seperti gambar 3.4 untuk analisa variasi sudut blade dengan off-design dengan 3 fan operasi (1 fan pada bay 1 dan 2 fan pada bay 2) untuk mendapatkan :

- nilai outlet temperatur radiator tiap variasi sudut blade
- nilai panas yang dilepas setiap variasi sudut blade
- Amper motor per variasi sudut blade

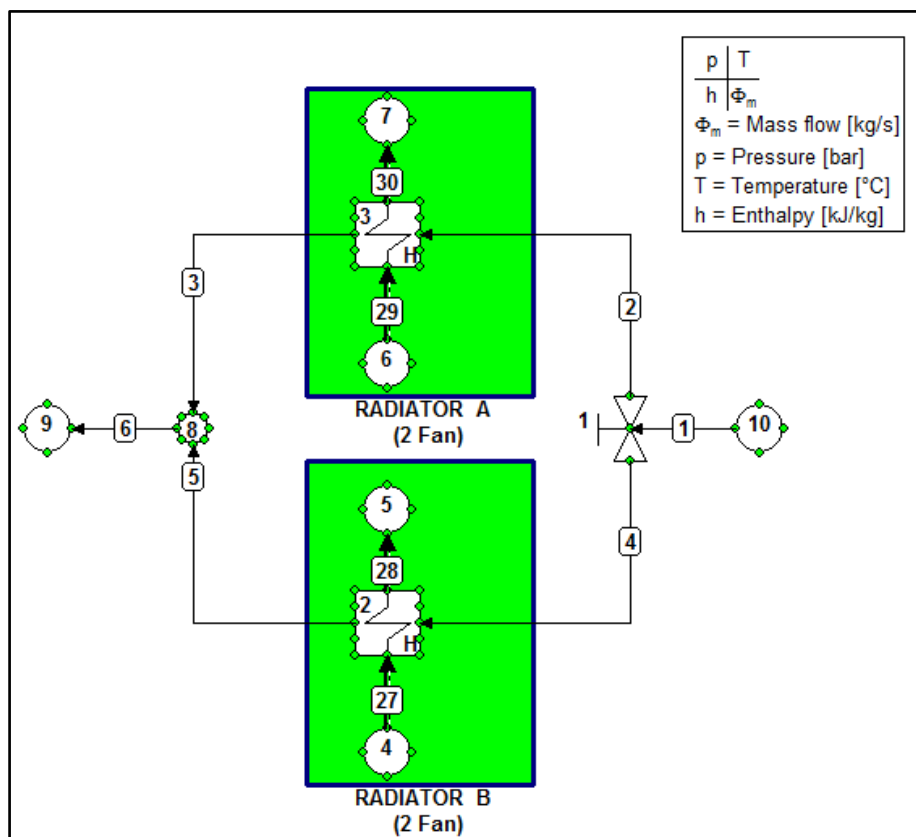
### **Analisa dan kesimpulan**

Dari hasil simulasi variasi sudut fan dengan operasi 3 fan dilakukan analisa

- Berapa sudut blade fan berapa harus di adjust agar output temperatur ACWS sama dengan kondisi eksisting operasi 4 fan
- nilai panas yang dilepas setiap variasi sudut blade dibandingkan dengan kondisi eksisting operasi 4 fan
- Seberapa besar penghematan power yang didapat dengan pola operasi 3 fan dan perubahan sudut blade fan



Gambar 3.3. Permodelan System ACWS Dengan Cycle Tempo

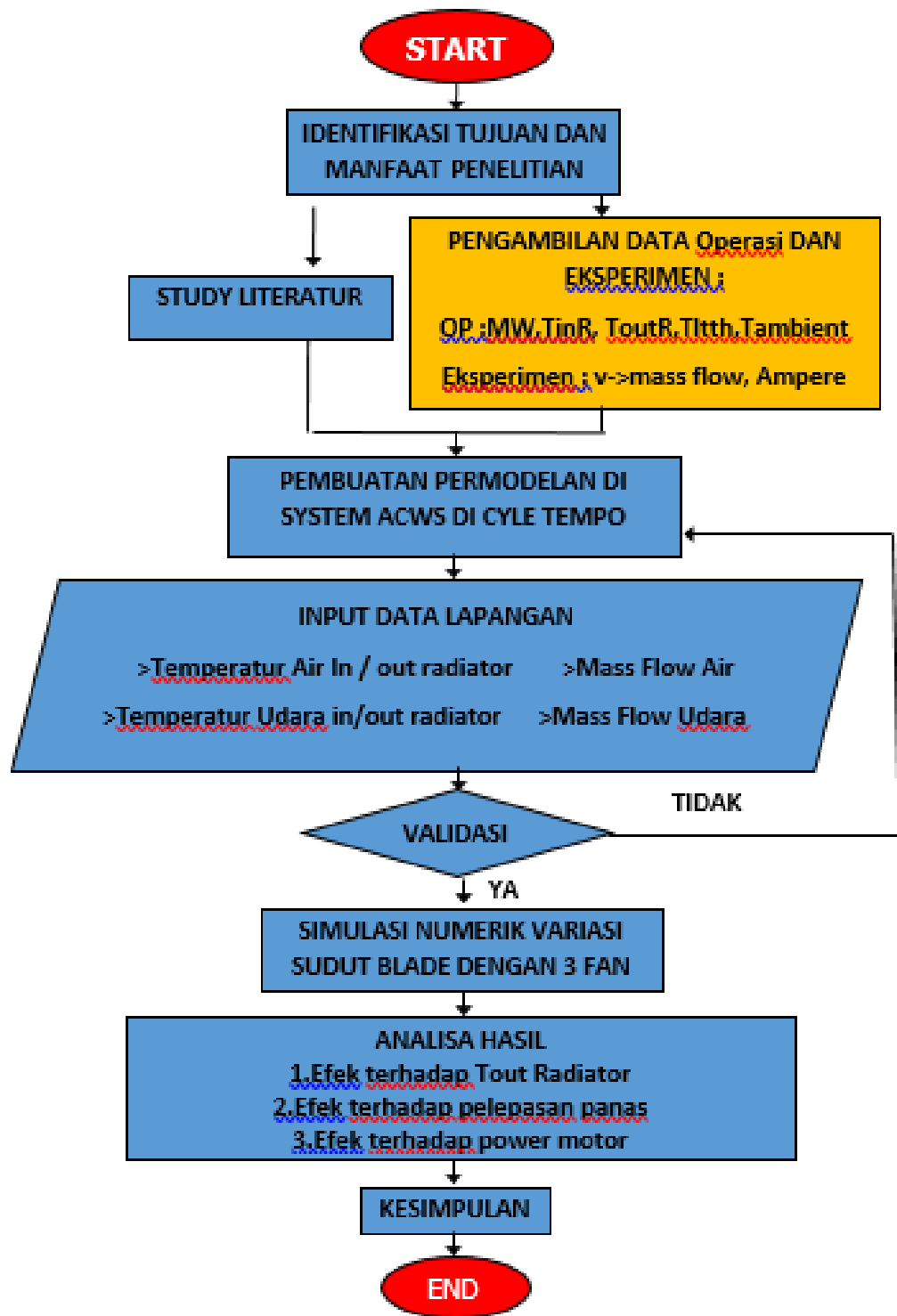


Gambar 3.4. Permodelan Radiator dengan Cycle Tempo

### 3.3 Diagram Alir Penelitian

Penelitian dilakukan dengan Diagram alur penelitian seperti ditunjukkan pada gambar 3.5 Adapun proses studi literatur dan studi kasus telah dijelaskan pada bab 2 dan proses perhitungan data eksperimen serta permodelan dan simulasi numerik di jelaskan pada sub bab 3.1 dan 3.2.

Analisa dan hasil di sajikan di bab 4, kesimpulan dan saran di bab 5.



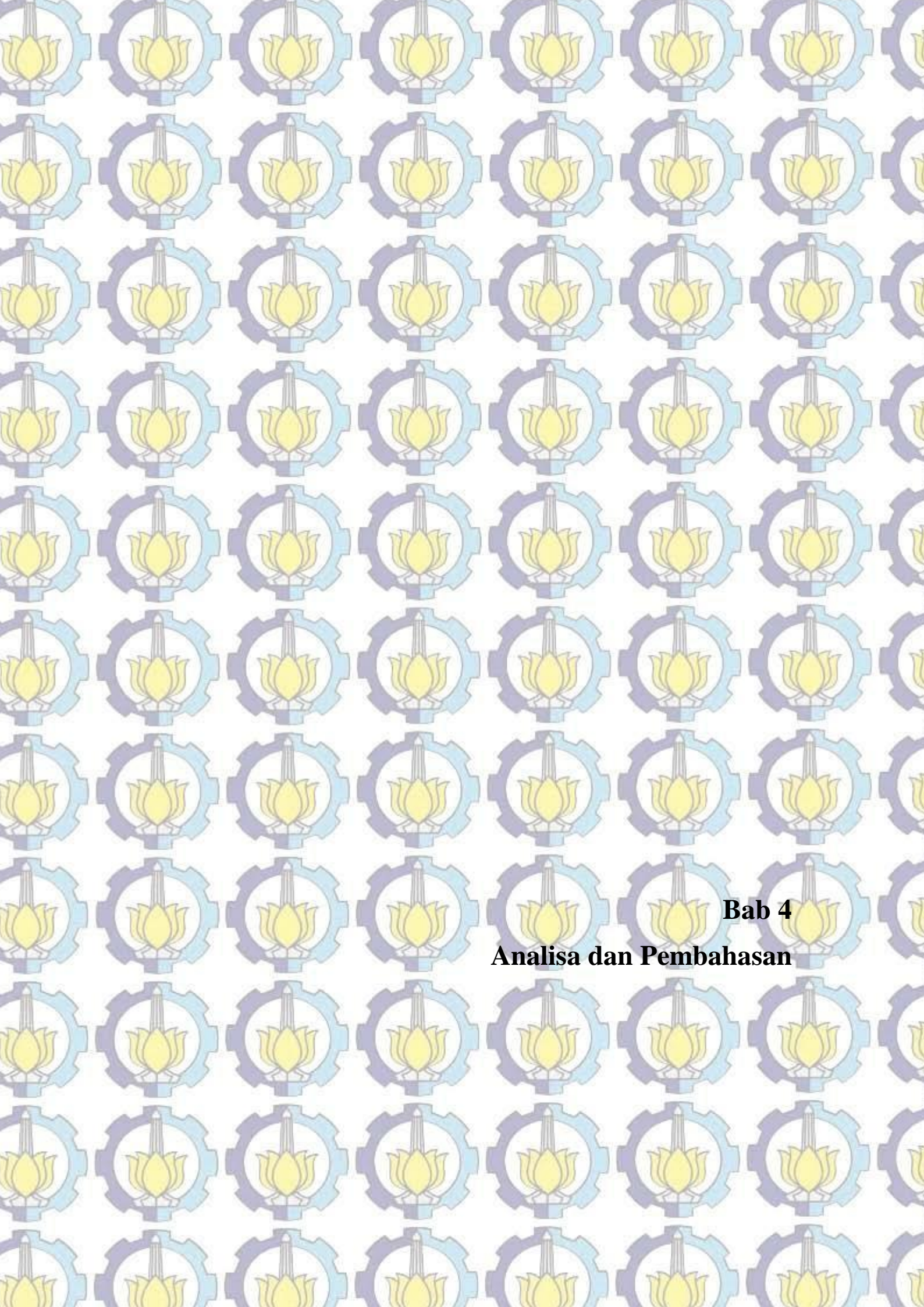
Gambar 3.5 Diagram Alir Penelitian

### 3.3 Alokasi Waktu Penelitian

Penelitian ini dijadwalkan dalam waktu 5 bulan dengan rincian kegiatan seperti pada tabel di bawah ini :

Tabel 3.3. Alokasi waktu penelitian.

Kegiatan	I				II				III				IV				V				VI				
	1	2	3	4	1	2	3	4	1	2	3	4	1	2	3	4	1	2	3	4	1	2	3	4	
Study literatur																									
Pengambilan data lapangan																									
Pembuatan permodelan di software																									
Validasi																									
Study eksperimen																									
Penulisan laporan																									
Sidang proposal tesis																									
Sidang tesis																									



## **Bab 4**

### **Analisa dan Pembahasan**

## **BAB 4**

### **HASIL DAN PEMBAHASAN**

Pada bab ini akan dibahas mengenai perhitungan dari data empiris dan perhitungan numerik simulasi Cycle Tempo dan analisa hasil perhitungan tersebut. Perhitungan empiris dilakukan untuk mencari massa aliran udara tiap variasi sudut serang dan dari massa aliran udara dilakukan perhitungan heat transfer dengan 3 buah fan dan melihat temperature output dari header radiator. Adapun simulasi Cycle Tempo dilakukan dengan memasukan parameter operasi dan massa aliran hasil eksperimen dan di tampilkan dalam grafik efek perubahan temperature outlet header Radiator ACWS, kalor yang dilepas serta ampere motor yang diperlukan.

#### **4.1. Data Perhitungan**

Data perhitungan yang digunakan merujuk dari data operasi GTG 1.3 dan data eksperimen variasi sudut serang di GTG 12.

##### **4.1.1. Pengambilan Data Kecepatan Udara tiap Variasi Sudut Blade**

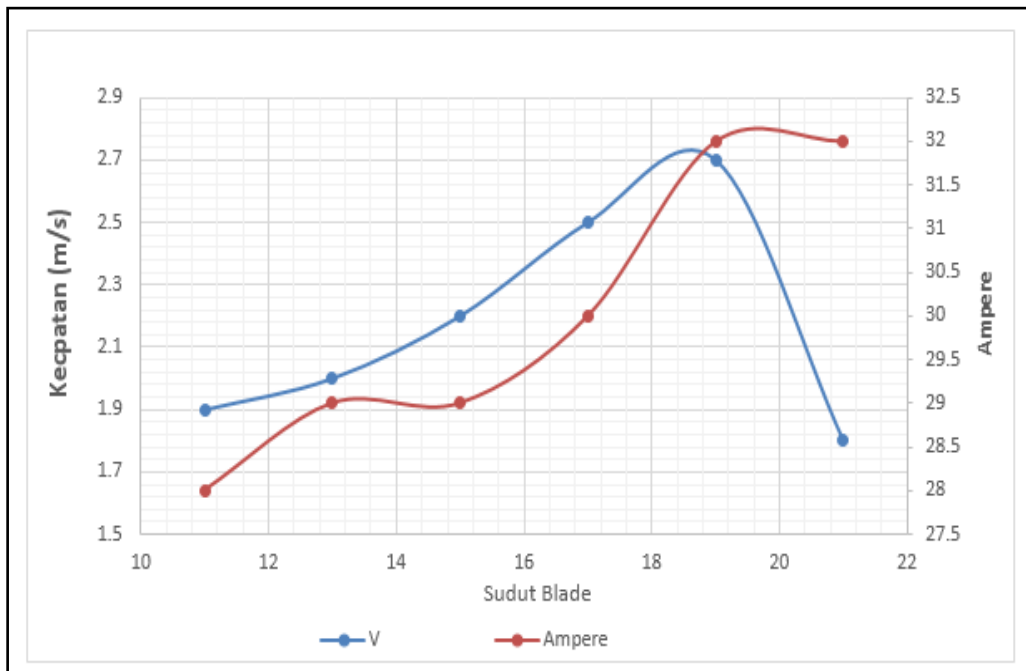
Data pengukuran kecepatan diambil sesuai dengan Gambar 3.2 ditampilkan pada Tabel 4.1 berikut:

Tabel 4.1. Data Pengukuran Kecepatan dan Arus Motor terhadap variasi sudut blade Fan A GTG 1.2

Fan A

Sudut (°)	Kecepatan Udara				Ampere
	v1 (m/s)	v2 (m/s)	v3 (m/s)	v rata rata	
11	1.9	1.9	1.9	1.9	28
13*	2	2	2	2.0	29
15	2.2	2.2	2.3	2.2	29
17	2.5	2.5	2.6	2.5	30
19	2.7	2.8	2.7	2.7	32
21	1.8	1.9	1.7	1.8	32
23	-	-	-	-	
25	-	-	-	-	

Data tersebut diplotkan ke dalam Gambar 4.1 dibawah



Gambar 4.1 Grafik kecepatan dan Arus motor terhadap Sudut blade

Dari Gambar 4.1 dapat di lihat bahwa saat sudut blade diturunkan dari  $13^\circ$  ke  $11^\circ$  kecepatan udara dan Ampere motor menurun, sehingga di simpulkan untuk tidak mengambil pengukuran pada sudut blade lebih kecil lagi.

Akan tetapi pada sudut blade lebih besar dari  $13^\circ$  kecepatan udara naik diikuti dengan kenaikan ampere motor. Ini berlanjut terus seiring kenaikan sudut blade yang dilakukan, akan tetapi pada sudut  $21^\circ$  terjadi penurunan kecepatan yang ekstrim dengan indikasi kenaikan noise dan kenaikan ampere motor. Ini mengindikasikan bahwa *Stall* terjadi di sudut blade ini dan eksperimen dibatasi pada sudut ini untuk menghindari terjadinya vibrasi tinggi.

Jadi pada penelitian kali ini akan dihitung dan disimulasikan data eksperimen dari pengukuran kecepatan pada blade  $13^\circ$ ,  $15^\circ$ ,  $17^\circ$ ,  $19^\circ$  dengan parameter operasi pada saat kondisi GTG 13 beban maksimum dan temperature ambient sedang tinggi

#### 4.1.2. Perhitungan Massa Aliran Udara

- ✓ Dari data operasi dan dimensi radiator diketahui :
  - Temperatur Ambient :  $34^\circ$
  - Luas penampang radiator per fan,  $A = \frac{L}{2} \times w = \frac{11.6}{2} \times 3.25 = 18.7 \text{ m}^2$
  - Densitas udara =  $1,138 \text{ kg/m}^3$
  - Untuk sudut  $13^\circ$ ,  $v = 2 \text{ m/s}$ 
    - ✓  $\dot{m} = \rho \times v \times A = 1.138 \times 2 \times 18.7$   
 $= 42,561.2 \text{ Kg/s}$
  - Untuk sudut  $15^\circ$ ,  $v = 2.2 \text{ m/s}$ 
    - ✓  $\dot{m} = \rho \times v \times A = 1.138 \times 2.2 \times 18.7$   
 $= 47,526.7 \text{ Kg/s}$
  - Untuk sudut  $17^\circ$ ,  $v = 2.5 \text{ m/s}$ 
    - ✓  $\dot{m} = \rho \times v \times A = 1.138 \times 2.5 \times 18.7$   
 $= 53,910.9 \text{ Kg/s}$
  - Untuk sudut  $19^\circ$ ,  $v = 2.7 \text{ m/s}$ 
    - ✓  $\dot{m} = \rho \times v \times A = 1.138 \times 2.7 \times 18.7$   
 $= 58,167.0 \text{ Kg/s}$

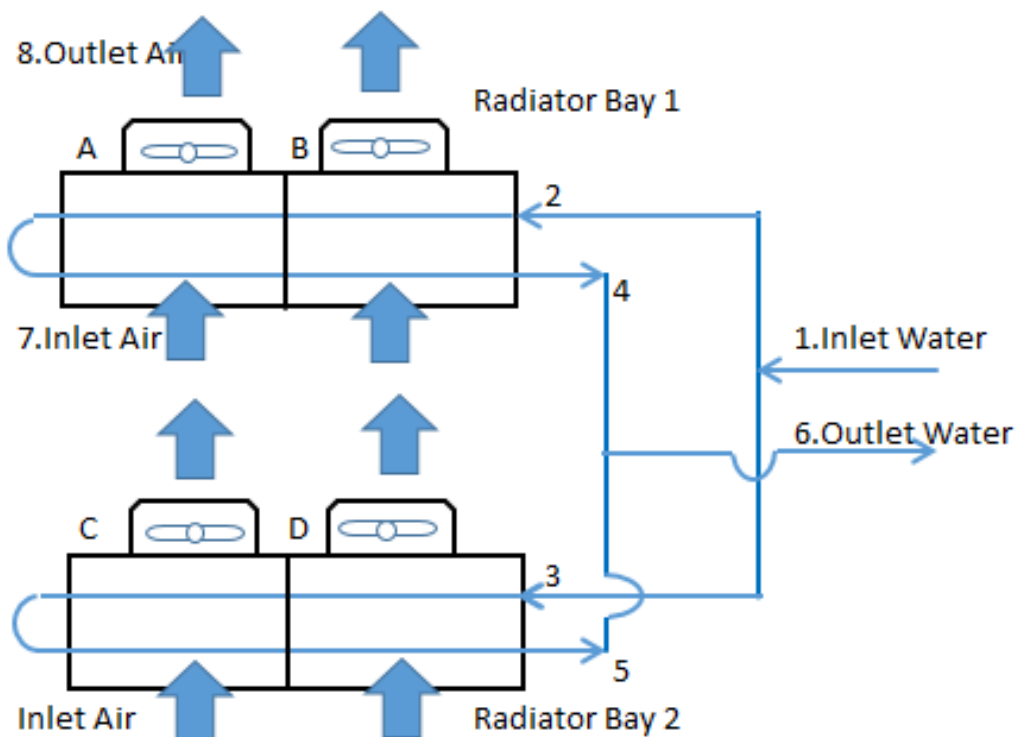
Perhitungan massa aliran diatas disajikan dalam Tabel 4.2 berikut :

Tabel 4.2. Perhitungan massa aliran udara pada fan dengan variasi sudut blade

No	Sudut (o)	v (m/s)	f (Kg/m3)	A (Kg/m3)	$\dot{m}$ Kg/s
		a	b	c	d = a*b*c
1	13*	2.0	1.14	18.7	42.6
2	15	2.2	1.14	18.7	47.5
3	17	2.5	1.14	18.7	53.9
4	19	2.7	1.14	18.7	58.2

#### 4.1.3. Perhitungan Perpindahan Panas Eksisting

Dari gambar 2.3 skema ACWS dan gambar 2.25 Radiator di Cycle Tempo di buatkan diagram pipa air seperti di gambar 4.2 dibawah



Gambar 4.2 Diagram Alir Radiator

Dari data logsheet GTG 13 jam 13 di peroleh data :

- ✓  $\dot{v}_1 =$  kecepatan air ACWS = 3000 Lpm = 0.05 m<sup>3</sup>/s
- ✓  $\dot{v}_2 = \frac{\dot{v}_1}{2} = \frac{0.05}{2} = 0.025 \text{ m}^3/\text{s}$
- ✓  $T_1 =$  temperatur masuk radiator = 49°C
- ✓  $T_6 =$  temperature keluar radiator = 46°C
- ✓  $T_7 =$  tempertur masuk radiator = 34°C

Dari tabel properties water A.6 pada P = 7.5 bar didapat :

$$f = 989.11 \text{ kg/s}$$

- Aliran air di bagi menjadi dua bagian dengan massa alir yang sama besar yaitu:

$$\dot{m}_1 = \dot{m}_2 + \dot{m}_3, \text{ dimana } \dot{m}_2 = \dot{m}_3 = 0.025 \times 989.11 = 24.73 \text{ kg/s}$$

- Perhitungan perpindahan panas di radiator setiap bay(titik 4 dan 5). Di titik ini dihitung dengan operasi 2 fan A dan B dibay 1 dan 2 fan C dan D di bay 2, massa aliran udara dengan fan  $13^\circ$

$\Rightarrow$  Sisi air

✓ Panas  $\dot{q} = \dot{m}_2 \times (h_2 - h_4)$

Dari aplikasi CATT ( Lampiran 8 ):

$$\text{Titik 2 : } T_2 = 49^\circ\text{C}, P_2 = 7.5 \text{ bar} \Rightarrow h_2 = 205.8 \text{ kJ/kg}$$

$$\text{Titik 4 : } T_4 = 46^\circ\text{C}, P_4 = 6.5 \text{ bar} \Rightarrow h_4 = 193.2 \text{ kJ/kg}$$

$$\dot{q} = \dot{m}_2 \times (h_2 - h_4) = 24.73 \times (205.8 - 193.2) = 311.60 \text{ KW}$$

$\Rightarrow$  Sisi udara

✓  $\dot{m}_7 = 2 \times 42.56 \text{ Kg/s} = 85.12 \text{ kg/s} \rightarrow$  aliran massa udara radiator bay 1

$$\dot{q} = \dot{m}_7 \times (h_8 - h_7) \rightarrow h_8 = h_7 + \frac{\dot{q}}{\dot{m}_7}$$

Dari aplikasi CATT : Titik 7 :  $T_7 = 34^\circ\text{C}, P_7 = 1 \text{ bar} \Rightarrow h_7 = 205.8 \text{ kJ/kg}$

$$h_8 = 307.7 + \frac{311.60}{85.12} = 311.36 \text{ kJ/kg}$$

Dari aplikasi CATT :

$$\text{pada } P_8 = 0.9 \text{ bar, } h_8 = 311.36 \text{ kJ/kg} \Rightarrow T_8 = 37.7^\circ\text{C}$$

$\Rightarrow$  Menghitung delta LMTD

$$\Delta T_{LMTD} = \frac{(T_2 - T_8) - (T_4 - T_7)}{\ln \frac{(T_2 - T_8)}{(T_4 - T_7)}}$$

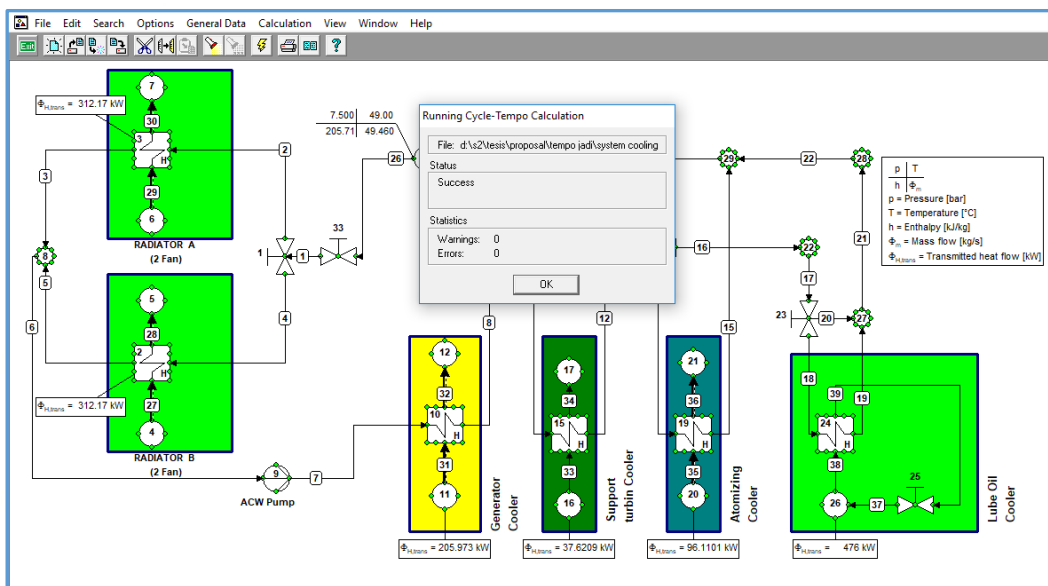
$$= \frac{(49 - 37.7) - (46 - 34)}{\ln \frac{(49 - 37.7)}{(46 - 34)}} = 11.65^\circ\text{C}$$

⇒ Menghitung  $U^*A$

$$\Rightarrow U * A = \frac{\dot{q}}{\Delta T_{LMTD}} = \frac{311.60}{11.65} = 26.75 \text{ kW}$$

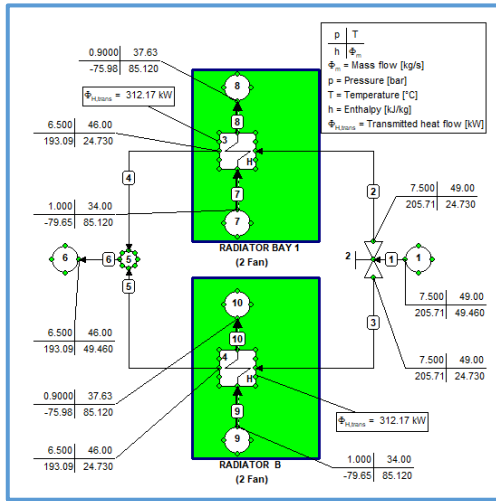
#### 4.2. Permodelan system ACWS di Cycle Tenpo

Selanjutnya dari permodelan system ACWS seperti piping diagram Gambar 2.23 dengan input parameter operasi dan pengukuran lapangan, selanjutnya dilakukan Run!, jika sudah tidak ada warning dan error di proses running maka permodelan sukses seperti pada gambar 4.3



Gambar 4.3 Running ACWS di Cycle Tempo

Untuk Analisa variasi sudut blade, system ACWS disederhanakan dengan melakukan pemotongan system on-base ACWS sehingga tinggal system off-base ACWS seperti terlihat seperti Gambar 4.4 dan dimasukan parameter parameter seperti pada Tabel 4.3



Gambar 4.4 Running Radiator di Cycle Tempo

Tabel 4.3. Input Parameter ACWS di Cycle Tempo

Apparatus No	Name	Input Parameter
1	Inlet Header	24.73 kg/s
2	Radiator B	DELP1=0.1, DELP2= 1, TOUT2= 46
3	Radiator B	DELP1=0.1, DELP2= 1, TOUT2= 46
4	Inlet Fan Radiator B	POUT= 1, TOUT= 34,
5	Outlet Fan B	-
6	Inlet Fan Radiator A	POUT= 1, TOUT= 34,
7	Outlet Fan A	-
8	Outlet Header	-
9	Pump ACW	POUT= 7.5, ETHAI= 1
10	Generator Cooler	DELP1=0, TOUT1= 47, DELP2=0
11	Inlet air Generator	POUT= 2, TOUT= 80, DELM= 50
12	Outlet air Generator	-
13	Spiltter	DELP=0, PIPE= 10, FLOW= 1.9 kg/s
14	Spiltter	DELP=0, PIPE= 11, FLOW= 1.9 kg/s
15	Support turbin Cooler	DELP1=0, DELP2=0, TOUT2= 49
16	Inlet Support turbin Cooler	POUT= 7.5, TOUT= 55, DELM= 1.5
17	Outlet Support turbin Cooler	-
18	Splitter	DELP=0, PIPE= 14, FLOW= 23 kg/s
19	Atomizing Cooler	DELP1=0, TOUT1= 48, DELP2=0
20	Inlet Atomizing Cooler	POUT= 7, TOUT= 150, DELM= 25
21	Outlet Atomizing Cooler	-
22	Header	-
23	Spitter	DELP=0, PIPE= 20, FLOW=0 kg/s
24	Lube Oil Cooler	DELP1=0, DELP2=0, DELTL= 18
25	Lube Oil Pump	DELP=0, PIPE= 37, FLOW= 14.2 kg/s
26	Lube oil Heat	POUT= 5, DELP=0, DELE= -476, ESTMAS= 14.2
27,28,29,30,31	header	-
28	header	-
32	Heat loss pipa	DELP=0, DELE= 196.36
33	Water Flow	DELP=0, PIPE= 1, FLOW= 49.46 kg/s

#### 4.2.1. Off-Design Radiator

Metode Off design digunakan untuk menghitung secara iterasi jika dua parameter temperature tidak diketahui. Untuk kalkulasi off-design Cycle-Tempo menggunakan tingkat kapasitas transfer panas dari panas permukaan exchanger,  $U^*A$ . Dalam perhitungan desain. Untuk situasi desain, nilai UA sama dengan :

$$UA' = UA \left( \frac{\Phi_m}{DSMAS1} \right)^{ETHA}$$

Dari persamaan 9 :  $\dot{q} = U * A \times \Delta T_{LMTD}$

Dimana dari Heat Exchanging Equipment di cycle tempo seperti tabel 4.4:

Tabel 4.4. Heat Exchanging Equipment

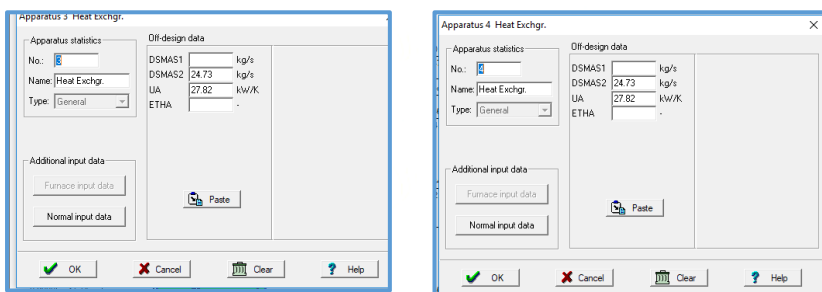
App.	Name	Type	Low end temperature diff. [K]	High end temperature diff. [K]	Transmitted heat flow [kW]
3	Heat Exchgr.	6	12.00	11.29	312.17
4	Heat Exchgr.	6	12.00	11.29	312.17

$$\Delta T_{LMTD} = \frac{(\Delta T_h - \Delta T_L)}{\ln \frac{(\Delta T_h)}{(\Delta T_L)}} = \frac{(11.29 - 12)}{\ln \frac{(11.29)}{(12)}} = 11.64 \text{ K}$$

$$\dot{q} = U * A \times \Delta T_{LMTD} \rightarrow U^*A = \frac{\dot{q}}{\Delta T_{LMTD}} = \frac{312.17}{11.64} = 27.82 \text{ kW}$$

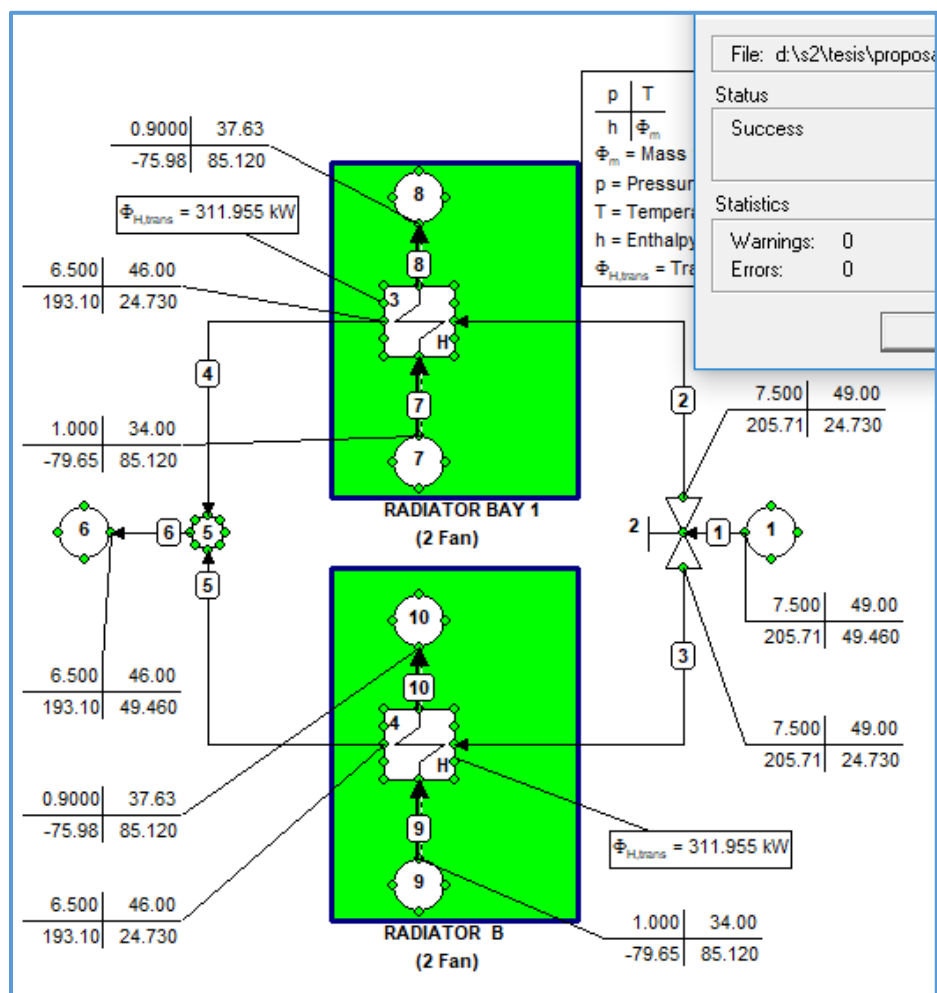
Untuk parameter massa alir dipakai DSMAS2.

Nilai UA dan massa alir air di masukkan ke Off design radiator seperti pada gambar 4.5 :



Gambar 4.5 Input Parameter Off Design parameter Radiator

Selanjutnya di running system radiator off-design seperti gambar 4.6 dibawah dan hasil outputnya dibandingkan atau di validasi terhadap hasil perhitungan yang telah dilakukan sebelumnya. Hasil validasi ditampilkan di tabel 4.5 dimana terlihat pada warna kuning yaitu selisih atau deviasi antara perhitungan dan cycle tempo memiliki hasil yang relatif kecil. Dimana deviasi terbesar didapat pada nilai T8 yaitu sebear  $0.07^{\circ}\text{C}$  atau setara dengan error 0.19%. oleh karena error masih dibawah 5%, sehingga system pada cycle tempo valid dan bisa digunakan untuk simulasi perhitungan variasi masa alir berikutnya.



Gambar 4.6 Running Off Design Radiator 4 fan

Tabel 4.5. Validasi perhitungan terhadap runnng system di Cycle Tempo

Validasi						
No	Parameter	Perhitungan	Cycle Tempo	Selisih	Error	
1	P2	Bar	7.5	7.5	0	
2	T2	C	49	49	0	
3	$\dot{m}_2$	kg/s	24.73	24.73	0	
4	P4	Bar	6.5	6.5	0	
5	T4	C	46	46	0	0.00%
6	$\dot{m}_4$	kg/s	24.73	24.73	0	
7	P7	Bar	1	1	0	
8	T7	C	34	34	0	
9	$\dot{m}_7$	kg/s	85.12	85.12	0	
10	P8	Bar	0.9	0.9	0	
11	T8	C	37.7	37.63	0.07	0.19%
12	$\dot{m}_8$	kg/s	85.12	85.12	0	
13	$\dot{q}$	Kw	311.6	311.95	-0.35	0.11%
= output						

#### 4.3. Perhitungan Numerik Cycle Tempo Variasi Massa aliran Udara

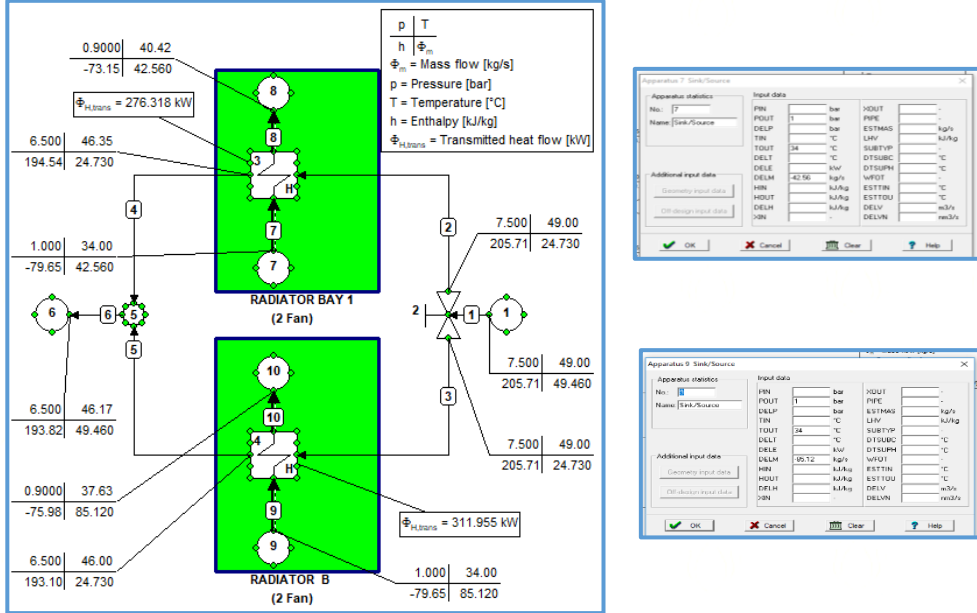
Penelitian selanjutnya adalah mencari temperatur outlet ( $T_6$ ) dengan variasi massa aliran udara pada setiap fan dimana pada radiator bay 1 menggunakan 1 fan dan pada radiator bay 2 mengunkan 2 fan seperti pada tabel 4.6

Tabel 4.6. Massa Alir tiap bay dengan variasi jumlah fan operasi

Radiator	Jumlah Fan	Total massa alir (kg/s)			
		sudut blade			
		13°	15°	17°	19°
Bay 1	1	42.56	47.53	53.91	58.17
Bay 2	2	85.12	95.05	107.82	116.33

### 4.3.1 Simulasi 3 fan pada sudut blade 13°

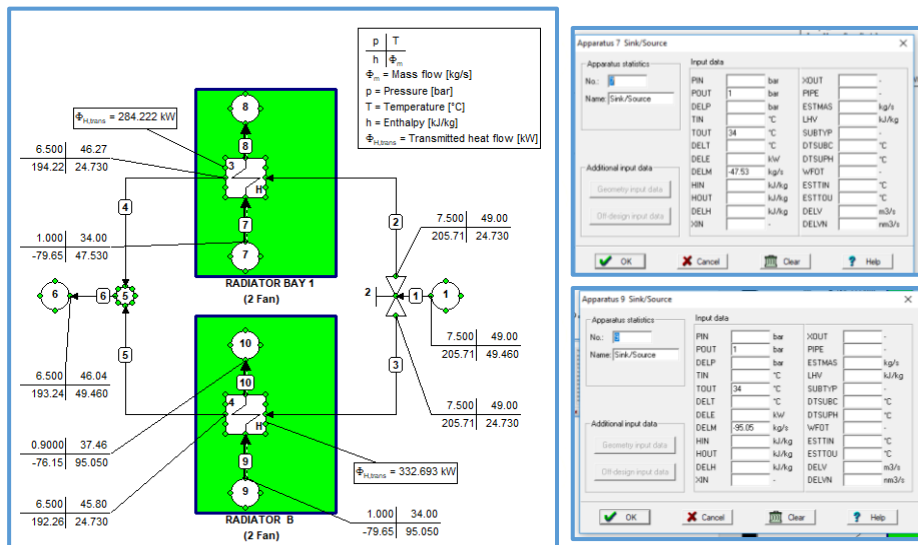
Input parameter massa udara pada apparatur no 7 dan 9 dan running systemnya seperti gambar 4.7 dibawah.



Gambar 4.7 Input dan Running Off Design Radiator 3 fan sudut blade 13°

### 4.3.2 Simulasi 3 fan pada sudut blade 15°

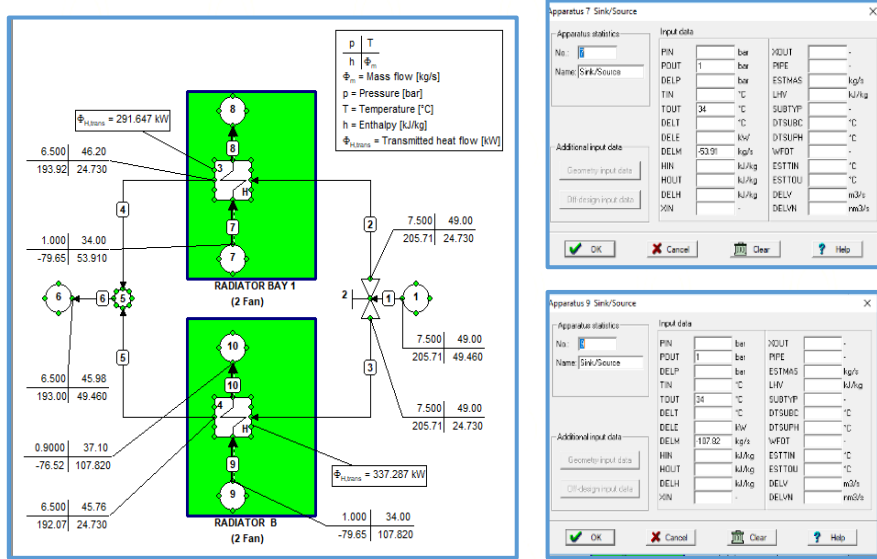
Input parameter massa udara pada apparatur no 7 dan 9 dan running systemnya seperti gambar 4.8 dibawah.



Gambar 4.8 Input dan Running Off Design Radiator 3 fan sudut blade 15°

### 4.3.3 Simulasi 3 fan pada sudut blade 17°

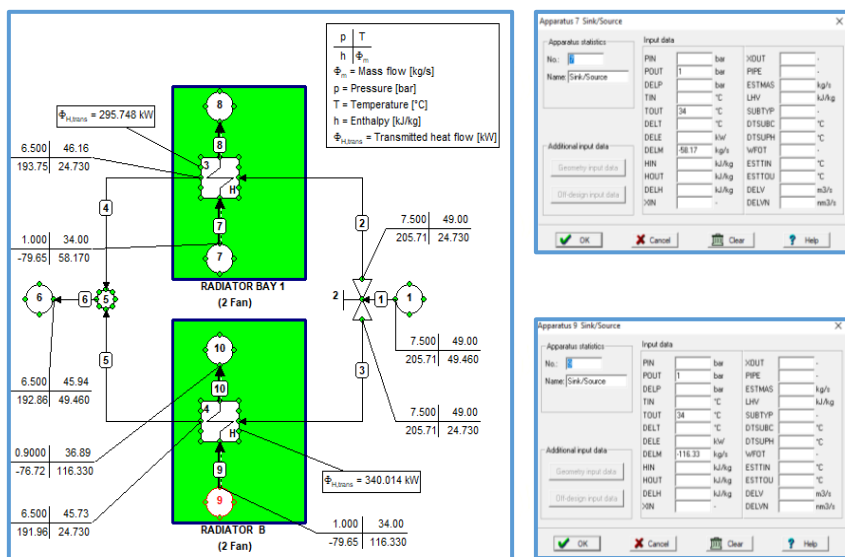
Input parameter massa udara pada apparatur no 7 dan 9 dan running systemnya seperti gambar 4.9 dibawah.



Gambar 4.9 Input dan Running Off Design Radiator 3 fan sudut blade 17°

### 4.3.4 Simulasi 3 fan pada sudut blade 19°

Input parameter massa udara pada apparatur no 7 dan 9 dan running systemnya seperti gambar 4.10 dibawah.



Gambar 4.10 Input dan Running Off Design Radiator 3 fan sudut blade 19°

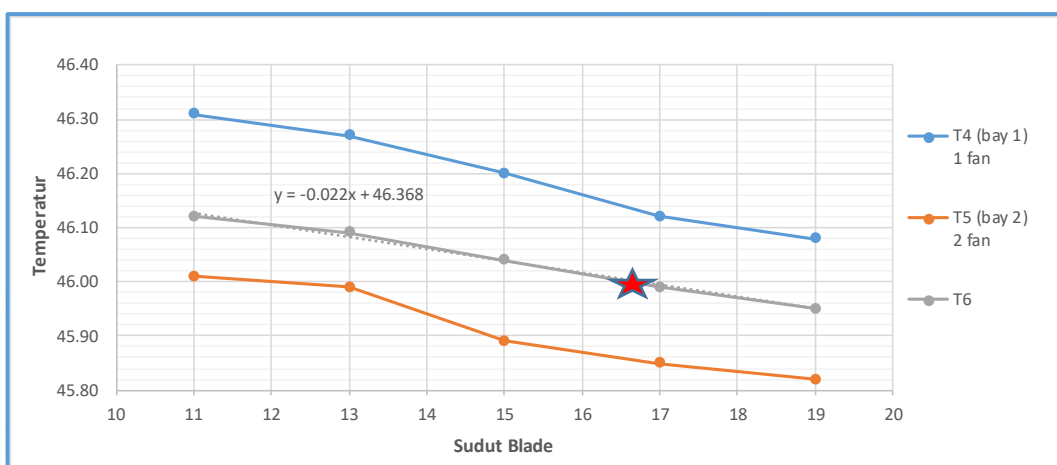
## 4.4 Analisa dan Pembahasan

### 4.4.1 Pengaruh variasi Sudut Blade terhadap Temperatur outlet Radiator

Dari simulasi pada setiap variasi sudut blade fan di peroleh data temperatur outlet masing-masing bay radiator, yaitu T4 adalah outlet temperature bay 1 dengan operasi 1 fan, T5 adalah outlet temperature bay 2 dengan operasi 2 fan, serta T6 adalah outlet header dari penggabungan pipa 4 dan pipa 5, ditabelkan di Tabel 4.7 dan dapat di plotkan pada grafik gambar 4.11 dibawah.

Tabel 4.7. Tabel outlet temperatur dengan variasi sudut blade

No	Radiator	Jumlah Fan on	Pipa No	Temperatur (°C)				
				11	13	15	17	19
1	Bay 1	1	4	46.38	46.35	46.20	46.12	46.08
2	Bay 2	2	5	46.02	46.00	45.89	45.85	45.82
	Total	3	6	46.20	46.17	46.04	45.99	45.95



Gambar 4.11 Grafik temperatur outlet radiator terhadap sudut blade

Dari gambar 4.11 dapat dilihat bahwa temperatur outlet bay 1 (T4) pada semua variasi sudut blade memiliki nilai diatas batas temperatur maximum yaitu 46 °C, sementara temperatur outlet bay 2 (T5) pada semua variasi sudut blade memiliki nilai di bawah batas temperatur maximum, kedua titik tersebut kemudian

bercampur di header (T6) dimana dapat dilihat ada nilai yang lebih besar dari T max dan lebih kecil dari Tmax. Untuk mendapatkan nilai sudut blade dengan outlet temperatur 46 °C maka grafik T6 dilakukan regresi, sum square error terkecil (lampiran 9) diperoleh dari regresi linier yang menghasilkan persamaan :

$$y = -0.022X + 46.368$$

Dengan y = 46 maka :

$$46 = -0.022X + 46.368$$

$$X = \frac{(46.368 - 46)}{0.022} = 16.7$$

Jadi nilai sudut blade 16.7 derajat dengan internal confidence seperti pada lampiran 9 pada perhitungan simulasi akan menghasilkan temperature outlet radiator (T6) sebesar nilai T max (46 °C) dengan operasi 3 fan on dan 1 fan off. (tanda bintang pada gambar 4.11). jika setting sudut blade fan dibawah 16.7° maka temperatur outlet radiator akan lebih besar dari 46 °C yang akan berpotensi mengakibatkan temperatur lube oil akan mencapai 68 °C (Alarm). sebaliknya untuk setting diatas 16.7° temperatur outlet radiator akan dibawah 46 °C dimana akan mengakibatkan temperatur lube oil turun, penurunan temperatur ini tentunya akan menurunkan nilai viskositas oli, akan tetapi untuk iklim tropis di indonesia tidak mungkin penurunannya mencapai viskositas minimum pada temperatur minimum oli yang direkomendasikan yaitu 54°, juga dampak efek perubahan viskositas oli terhadap performa gas turbin sangat kecil sehingga bisa diabaikan. Sehingga dampak setting sudut blade fan lebih besar dari 16.7° adalah bertambahnya power motor yang digunakan. Pada sudut blade fan 19 °C diperoleh temperatur output radiator terendah yang akan memberi dampak paling aman karena akan memberikan selisih terjauh terhadap temperatur alarm.

#### **4.4.2 Pengaruh variasi Sudut Blade terhadap Panas yang di Buang**

Dari simulasi pada setiap variasi sudut blade fan dengan 3 fan operasi dapat di peroleh data panas yang dibuang pada outlet masing-masing bay radiator yang ditampilkan pada Tabel 4.8, dan pada gambar 4.12 ditampilkan grafik panas yang

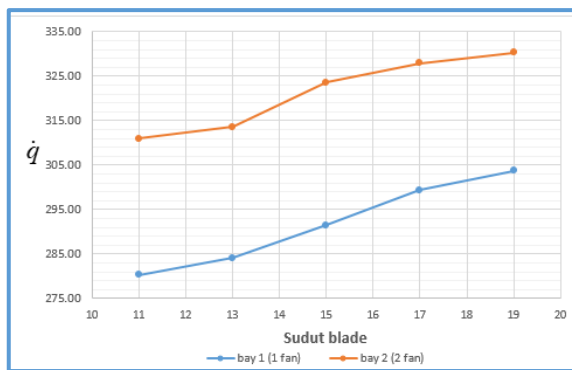
dibuang per bay dimana radiator bay 1 dengan operasi 1 fan dan bay 2 dengan operasi 2 fan. Disini terlihat pada bay 1, panas yang dibuang lebih kecil dari bay 2 oleh karena massa alir udara yang di hisap oleh 1 fan lebih sedikit daripada dengan 2 fan. Seiring kenaikan sudut blade, massa alir tiap fan naik dan panas yang dilepas juga naik, pada gambar 4.13 ditampilkan grafik total panas yang di lepas dengan 3 fan dengan variasi sudut blade, dengan regresi, sum square error terkecil (lampiran 10) diperoleh dari regresi polynomial 3 yang menghasilkan persamaan :

$$y = -0.1708x^3 + 7.6089x^2 - 104.89x + 1051.6.$$

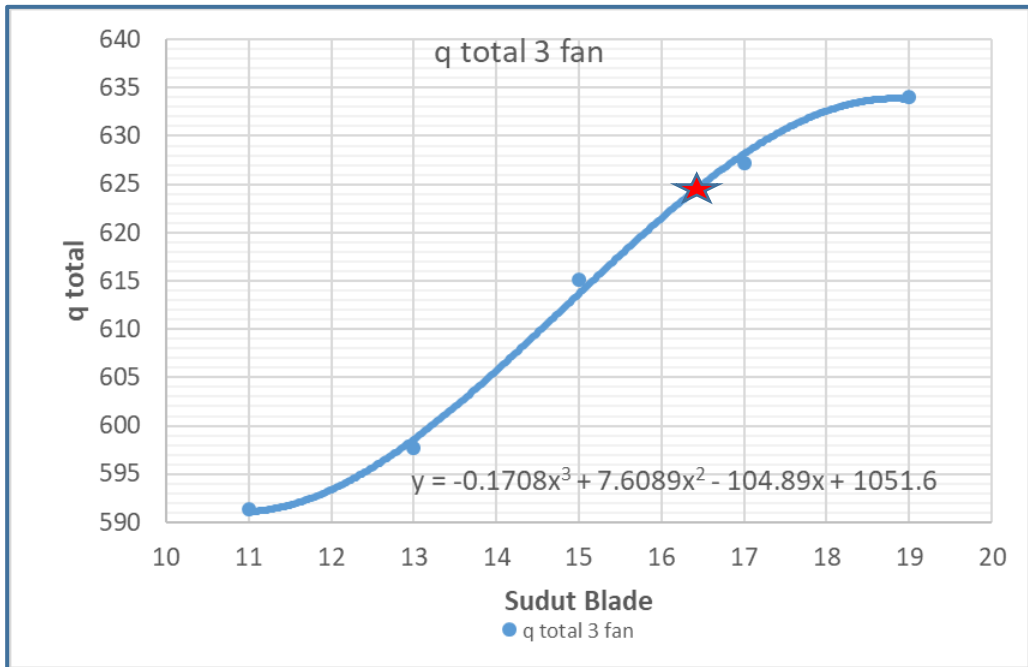
dengan  $x = 16.7^\circ$ , diperoleh panas total yang dibuang adalah 626.49 kW dengan internal confidence seperti lampiran 10 dimana minimal nilai yang diperlukan adalah 623.91 kW. artinya dibawah sudut  $16.7^\circ$  dengan 3 fan operasi, radiator tidak mampu membuang kalor minimal yang harus dibuang, dan diatas sudut blade  $16.7^\circ$  sampai dengan  $19^\circ$  radiator mampu membuang panas minimal yang harus dibuang oleh system ACWS.

Tabel 4.8. Tabel  $\dot{q}$  per Bay Radiator setiap variasi sudut blade

No	Radiator	Jumlah Fan on	Panas yang di buang $\dot{q}$ (Kw)				
			11	13	15	17	19
1	Bay 1	1	272.81	276.32	284.22	299.33	303.71
2	Bay 2	2	310.00	311.96	322.69	327.91	330.33
	Total	3	582.81	588.27	606.91	627.24	634.04
	eksisting	4	623.91	623.91	623.91	623.91	623.91



Gambar 4.12 Grafik  $\dot{q}$  (Kw) per Bay dengan variasi sudut blade



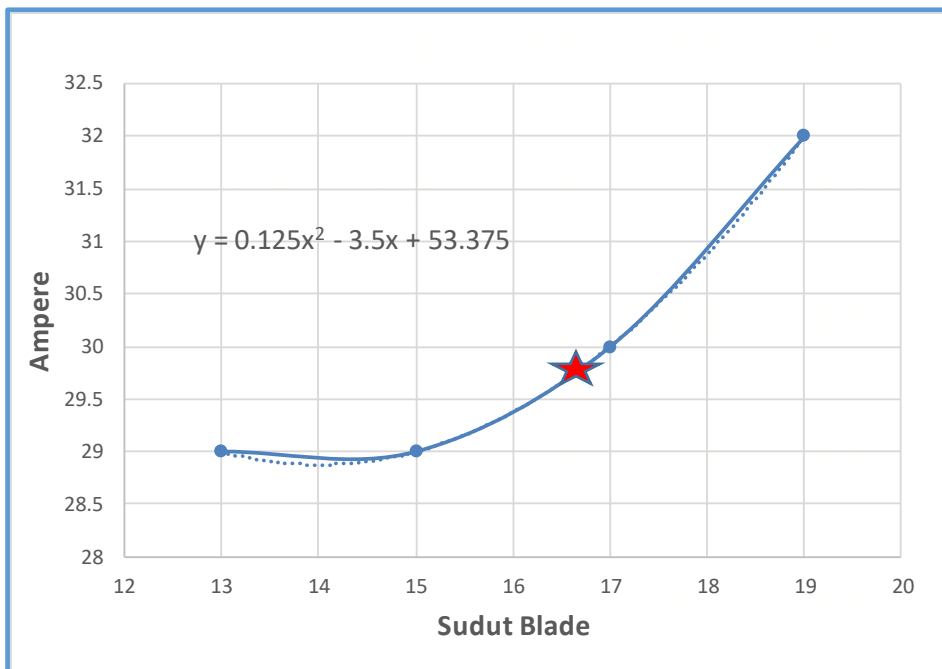
Gambar 4.13 Grafik  $\dot{q}$  total (kW) 3 fan per variasi sudut blade

#### 4.3.3 Ampere Motor pada Variasi Sudut Blade

Dari pengambilan data lapangan setiap variasi sudut blade fan di peroleh nilai ampere motor, dari nilai yang terukur pada Tabel 4.1 kemudian diplotkan pada grafik gambar 4.14 dan dicari formula regresinya. Dari formula regresinya dengan sum square error terkecil (lampiran 11) diperoleh dari regresi polynomial 3 yang menghasilkan persamaan :

$$y = 0.125x^2 - 3.5x + 53.375$$

dengan memasukan nilai sudut yang optimal. Diperoleh pemakaian power total dengan 3 fan beroperasi :..



Gambar 4.14 Grafik ampere motor terhadap sudut blade

Perhitungan power pada sudut blade  $16.7^\circ$

$$Y = 0.125X^2 - 3.5X + 53.375$$

$$Y = 0.125 \cdot 16.7^2 - 3.5 \cdot 16.7 + 53.375 = 29.8 \text{ Ampere}$$

Jadi ampere pada saat setting sudut blade  $16.7^\circ$  adalah sebesar 29.8 A dengan internal confidence seperti lampiran 11.

Total daya 3 motor yang dibutuhkan adalah :

$$\begin{aligned} P(HP) &= \sqrt{3} \times V \times I \times \cos\varphi \times 0.00134 \times 3 = \sqrt{3} \times 380 \times 29.8 \times \cos\varphi \times 0.00134 \times 3 \\ &= 67 \text{ Hp} \end{aligned}$$

Sedangkan pada sudut eksisting yaitu  $13^\circ$ , ampere motor terukur 29 A, sehingga daya total 4 motor adalah :

$$\begin{aligned} P(HP) &= \sqrt{3} \times V \times I \times \cos\varphi \times 0.00134 \times 3 = \sqrt{3} \times 380 \times 29 \times \cos\varphi \times 0.00134 \times 4 \\ &= 87 \text{ Hp} \end{aligned}$$

Jadi penghematan atau effisiensi daya yang diperoleh dari penelitian ini adalah sebesar  $87 - 67 = 20$  HP atau 14,920 Watt

(Halaman ini sengaja dikosongkan)

## **Bab 5**

### **Kesimpulan dan Saran**

## **BAB 5**

### **KESIMPULAN**

#### **5.1. Kesimpulan**

Dari penelitian “Peningkatan Performa ACWS Dengan Merubah Sudut Blade Fan Pada Radiator GTG 13 Pasca Upgrade Up Muara Karang” didapat beberapa kesimpulan, yaitu :

1. Dari eksperimen lapangan di peroleh bahwa sudut blade fan dapat tambah sampai dengan  $19^\circ$  untuk menaikkan hisapan udara yang lebih besar pada radiator ACWS
2. Dengan simulasi numerik Cycle Tempo diperoleh bahwa dengan operasi 3 dari 4 fan on, dengan sudut blade fan  $16.7^\circ$  pada temperature ambient  $34^\circ\text{C}$  dan temperature air masuk sebesar  $49^\circ\text{C}$ , Temperatur output radiator diperoleh sebesar  $46^\circ\text{C}$  dan kalor yang dibuang sebesar 627.2 Kw, kondisi yang sama dengan saat operasi fan 4 fan on. Pada maksimal sudut yaitu  $19^\circ\text{C}$  akan didapat temperature output radiator paling rendah atau paling jauh dari temperature alarm, akan tetapi power listrik yang dibutuhkan juga paling besar diantara variasi sudut blade fan.
3. Dengan operasi 3 fan on, diperoleh pengurangan pemakain power listrik untuk motor sebesar 14,920 Watt
4. Jadi dengan menaikan sudut blade fan menjadi  $16.7^\circ$  dari  $13^\circ$ , system ACWS bisa beroperasi dengan hanya 3 fan on, sehingga 1 fan bisa menjadi cadangan operasi saat ada gangguan dari fan yang beroperasi, sehingga kehandalan system ACWS dapat meningkat

#### **5.2 Saran**

Saran yang dapat diberikan setelah melakukan penelitian dan diharapkan berguna untuk penelitian selanjutnya adalah sebagai berikut:

1. Untuk meningkatkan keandalan System ACWS perlu dibuatkan modifikasi wiringnya agar fan dapat beroperasi dengan 3 fan dan 1 fan yang standby bisa auto start saat ada fan yang mengalami kerusakan

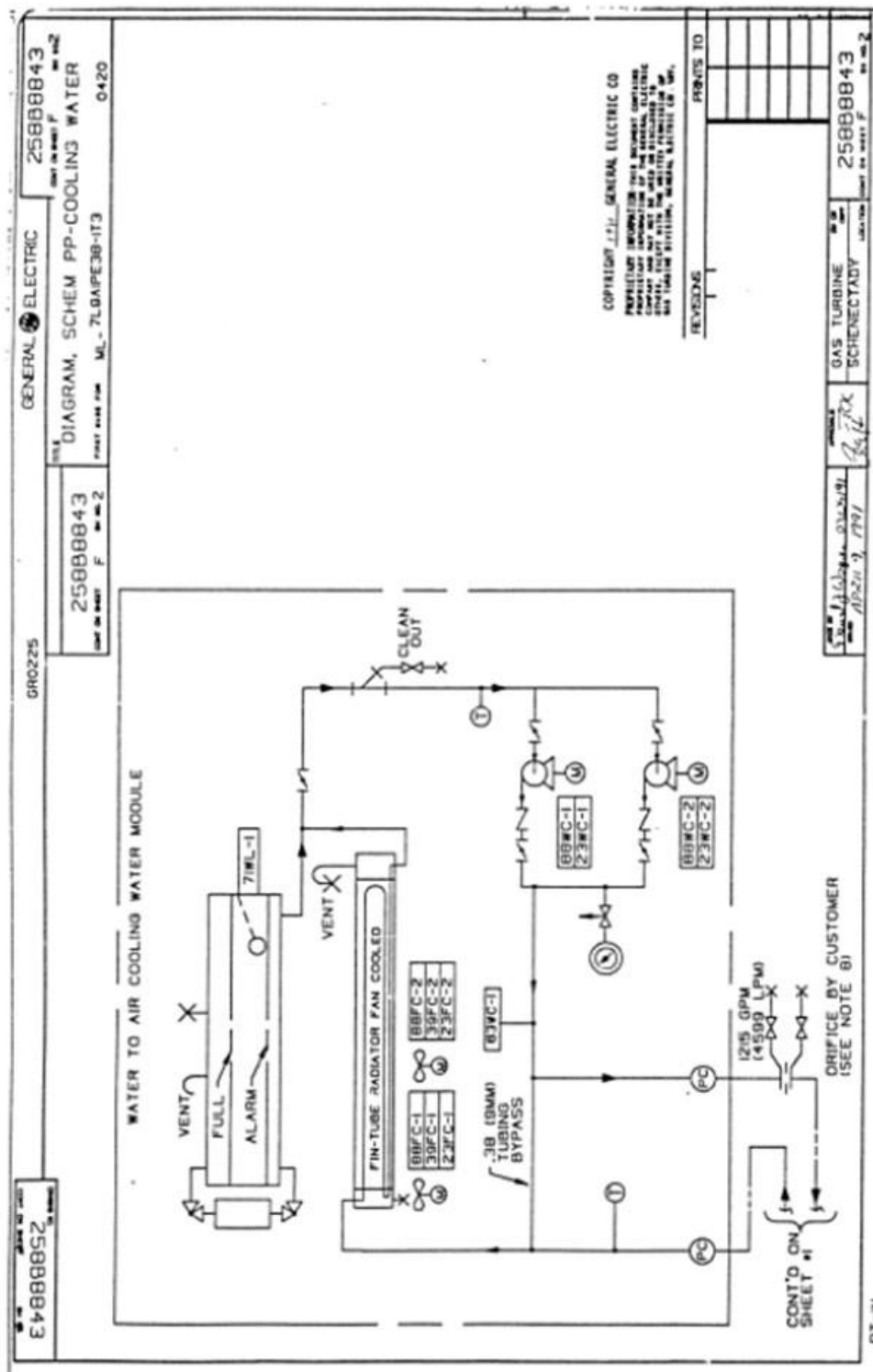
2. Fan radiator harus dilakukan maintenance sesuai dengan schedule yang ada
3. Permodelan system ACWS di Cycle Tempo yang dibuat dapat digunakan untuk menganalisa performa dari Radiator ACWS saat kondisi operasi berubah
4. Metode penelitian ini bisa dikembangkan untuk melakukan perhitungan pada system yang serupa di unit lain

## DAFTAR PUSTAKA

1. GE Power, *9E Advanced Gas Path A Power LifeMax Solutionon*, GEA30848C (2016) Powergen.gepower.com.
2. GE Power, *Extendor<sup>TM</sup> Combustion System*, (2008), Powergen.gepower.com.
3. Steve Boes, P.E. Hudson Products Corp, *Improve Air-Cooled Heat Exchanger Performance*, (January 2017), www.aiche.org/cep.
4. Mohammad J. Izadi dan Alireza Falahat, *Effect of blade angle of attack and hub to tip ratio on mass flow rate at a fiede rotational speed*, (2008) ASME Fluids Engineering Conference, Jacksonville, Florida USA
5. GE,MS 9000 Service Manual Turbin Accessories and Generator, GEK-98786, Volume 1
6. Cycle-Tempo, *Reference Guide, A program for thermodynamic modelling*
7. Raoul Dimitri Böck ,*The performance of an axial flow fan in a small scale A-frame test facility*, <https://scholar.sun.ac.za>
8. GE,Power & Water, *Lubricating Oil Recommendations for Gas Turbines With Bearing Ambients above 500°F (260°C)*”, (Revised April 2013), GEK-32568h
9. M.J Moran, H.N Sapiro, D.D Boettner, M.B Bailey, *Fundamentals of Engineering Dynamics*, John Wiley and Sons, Inc, Seventh Edition.
10. Yunus A. Cengel, Michael A. Boles, (2015), *Thermodynamics, An Engineering Approach*, McGraw-Hill Education, Eight Edition.
11. Incropera F.P, Dewitt D.P, Bergman T.L, Lavine A.S, (2007), “*Fundamentals of heat and mass transfer*” John Wiley and Sons, Inc, Sixth Edition, 2007.

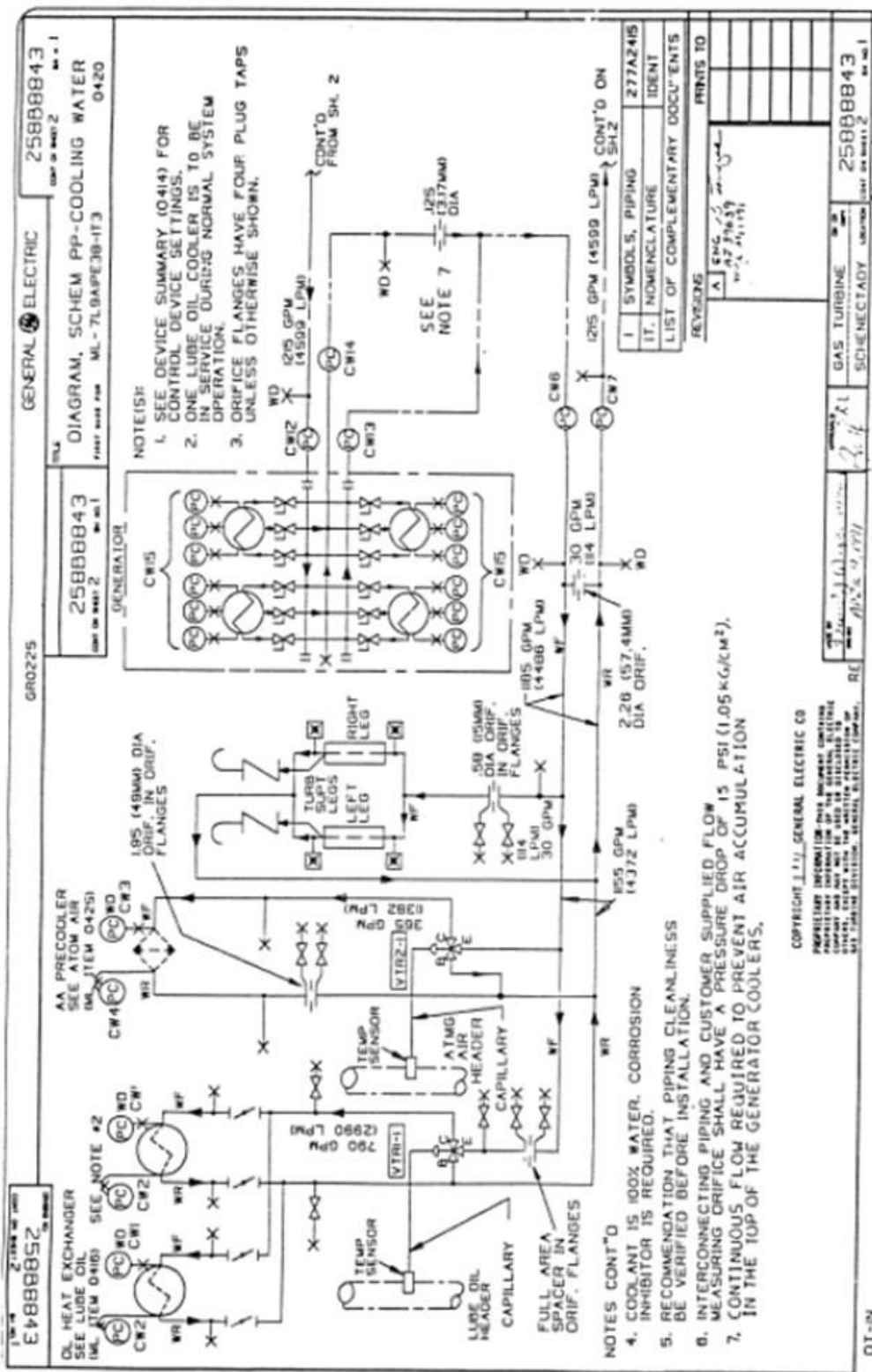
( Halaman ini sengaja dikosongkan )

## LAMPIRAN



Lampiran 1 Sistem Off-base ACWS

Lampiran 2 Sistem *On-base ACWS*



Lampiran 3. Spesifikasi Radiator :

Output Summary				Page 1
Released to the following HTRI Member Company:				
PT. Intan Prima Kalorindo				
Engineering Department				
Xace 7.2 03/06/2017 9:33 8N: 10325-349498808				SI Units
Rating-Horizontal air-cooled heat exchanger induced draft countercurrent to crossflow				
No Data Check Messages.				
See Runtime Message Report for Warning Messages.				
Process Conditions		Outside	Tubeside	
Fluid name				
Fluid condition				
Total flow rate	(kg/s)	Sens. Gas	Sens. Liquid	
Weight fraction vapor, In/Out		1,0000	0,0000	50,000 0,0000
Temperature, In/Out	(Deg C)	33,00	52,00	42,00
Skin temperature, Min/Max	(Deg C)	38,81	39,97	49,15
Pressure, Inlet/Outlet	(kPa)	101,33	101,20	800,00 792,23
Pressure drop, Total/Allow	(Pa)   (kPa)	129,84	0,00	7,770 0,000
Midpoint velocity	(m/s)	6,25		0,59 0,59
- In/Out	(m/s)		0,59	0,59
Heat transfer safety factor	(-)	1,0000		1,0000
Fouling	(m <sup>2</sup> ·K/W)	0,000176		0,000176
Exchanger Performance				
Outside film coef	(W/m <sup>2</sup> ·K)	45,86	Actual U	(W/m <sup>2</sup> ·K) 28,799
Tubeside film coef	(W/m <sup>2</sup> ·K)	3430,2	Required U	(W/m <sup>2</sup> ·K) 22,755
Clean coef	(W/m <sup>2</sup> ·K)	33,569	Area	(m <sup>2</sup> ) 9492,1
Hot regime		Sens. Liquid	Overdesign	(%) 26,56
Cold regime		Sens. Gas	Tube Geometry	
EMTD	(Deg C)	9,7	Tube type	High-finned
Duty	(MegaWatts)	2,090	Tube OD	(mm) 25,400
Unit Geometry				
Bays in parallel per unit		2	Tube ID	(mm) 22,098
Bundles parallel per bay		1	Length	(m) 11,600
Extended area	(m <sup>2</sup> )	9492,1	Area ratio(out/in)	(-) 27,019
Bare area	(m <sup>2</sup> )	410,98	Layout	Staggered
Bundle width	(m)	3,266	Trans pitch	(mm) 58,000
Nozzle	Inlet	Outlet	Long pitch	(mm) 50,228
Number	(-)	1	Number of passes	(-) 2
Diameter	(mm)	154,05	Number of rows	(-) 4
Velocity	(m/s)	1,36	Tubecount	(-) 222
R-V-SQ	(kg/m <sup>2</sup> ·s <sup>2</sup> )	1821,9	Tubecount Odd/Even	(-) 56 / 55
Pressure drop	(kPa)	1,002	Material	Copper
Fan Geometry				
No/bay	(-)	2	Type	Circular
Fan ring type		Straight	Fin/length	(fin/meter) 433,1
Diameter	(m)	3,048	Fin root	(mm) 25,400
Ratio, Fan/bundle face area	(-)	0,3852	Height	(mm) 15,875
Driver power	(kW)	14,45	Base thickness	(mm) 0,300
Tip clearance	(mm)	15,240	Over fin	(mm) 57,150
Efficiency	(%)	65,000	Efficiency	(%) 77,7
Airside Velocities	Actual	Standard	Area ratio (fin/bare)	(-) 23,506
Face	(m/s)	2,97	Material	Aluminum 1060 - H14
Maximum	(m/s)	6,19	Thermal Resistance; %	
Flow	(100 m <sup>3</sup> /min)	135,04	Air	62,79
Velocity pressure	(Pa)	35,28	Tube	22,58
Bundle pressure drop	(Pa)	98,12	Fouling	14,21
Bundle flow fraction	(-)	1,000	Metal	0,31
Bundle	75,57	Airside Resist	Bond	0,00
Ground clearance	0,00 Fanguard	e Drop; %	Louvers	0,00
Fan ring	24,43 Fan area blockage		Hall screen	0,00
			Steam coil	0,00

Lampiran 4. Parameter Pengukuran Cooling Fan

Fan 1		
SUDUT	V (m/s)	Ampere (A)
-		
11		
13 (awal)		
15		
17		
19		
21		
23		
-		

Lampiran 5. Spesifikasi Fan Motor

FAN MOTOR: G.E. EXTRA SEVERE DUTY ENERGY SAVER,  
 30 HP, 1500 RPM, 3 PHASE, 50 CYCLE, 380/415 VOLTS, 286-T FRAME, TEFC COMPLETE WITH: CAST IRON FRAMES, SHIELDS AND TERMINAL HOUSINGS, CLASS F INSULATION, 65°C DESIGN AMBIENT, 1.15 SERVICE FACTOR, TROPICALIZED, MOISTURE 1002 AND ANTI-FUNGUS TREATED, AND 1 PHASE, 50 CYCLE, 110 VOLT SPACE HEATERS (2 PER BAY) (WIRE 2 TO ITEM NO. 18, WIRE 2 TO ITEM NO. 19) 60 WATT S.H.

Lampiran 6 Table properti air

Appendix A ■ Thermophysical Properties of Matter

941

**TABLE A.4** Thermophysical Properties  
of Gases at Atmospheric Pressure<sup>a</sup>

<i>T</i> (K)	<i>ρ</i> (kg/m <sup>3</sup> )	<i>c<sub>p</sub></i> (kJ/kg · K)	<i>μ · 10<sup>7</sup></i> (N · s/m <sup>2</sup> )	<i>ν · 10<sup>6</sup></i> (m <sup>2</sup> /s)	<i>k · 10<sup>3</sup></i> (W/m · K)	<i>α · 10<sup>6</sup></i> (m <sup>2</sup> /s)	<i>Pr</i>
<b>Air</b>							
100	3.5562	1.032	71.1	2.00	9.34	2.54	0.786
150	2.3364	1.012	103.4	4.426	13.8	5.84	0.758
200	1.7458	1.007	132.5	7.590	18.1	10.3	0.737
250	1.3947	1.006	159.6	11.44	22.3	15.9	0.720
300	1.1614	1.007	184.6	15.89	26.3	22.5	0.707
350	0.9950	1.009	208.2	20.02	30.0	29.9	0.700
400	0.8711	1.014	230.1	26.41	33.8	38.3	0.690
450	0.7740	1.021	250.7	32.39	37.3	47.2	0.686
500	0.6964	1.030	270.1	38.79	40.7	56.7	0.684
550	0.6329	1.040	288.4	45.57	43.9	66.7	0.683
600	0.5804	1.051	305.8	52.69	46.9	76.9	0.685
650	0.5356	1.063	322.5	60.21	49.7	87.3	0.690
700	0.4975	1.075	338.8	68.10	52.4	98.0	0.695
750	0.4643	1.087	354.6	76.37	54.9	109	0.702
800	0.4354	1.099	369.8	84.93	57.3	120	0.709
850	0.4097	1.110	384.3	93.80	59.6	131	0.716
900	0.3868	1.121	398.1	102.9	62.0	143	0.720
950	0.3666	1.131	411.3	112.2	64.3	155	0.723
1000	0.3482	1.141	424.4	121.9	66.7	168	0.726
1100	0.3166	1.159	449.0	141.8	71.5	195	0.728

## Lampiran 7 Blade Overload

### 4.2 BLADE OVERLOAD

Of all the aerodynamic abuses to be avoided in the operation of a fan, the most important is that of overloading the fan blades. Blade overload occurs because of insufficient blade area. In other words, when there is an inadequacy in the number of blades on the fan selected.

The Moore system of rating is based upon the pressure that each blade will produce at a given RPM with good efficiency. This pressure is called 100% blade load. When blade load exceeds 110%, the fan will not only operate at lower efficiency, it may be subject to structural damage as well.

In selecting a fan, the total pressure divided by the pressure to be produced by one blade determines the number of blades required for the anticipated performance. Whenever information is available, The Moore Company checks the selection. Even so, underestimation of the pressure requirements by the system designer, or changes in the operating conditions over time, may result in overload conditions.

Why is a blade overload condition of such concern? We are all aware of the fact that an airplane traveling at a given speed can carry only a certain load. If the speed of the airplane is decreased or the load increased, stalling flow over the wing will occur. In the case of an airplane, approximately two-thirds of the lift provided by the wing is the result of the air flow over the top or convex portion of the wing. Lift is provided as a reaction to the flow of air being accelerated and deflected downward as it passes over the wing. A negative pressure area is thus formed on the top surface of the wing which tends to lift it upward.

So long as air flow over the wing is smooth and clings to the surface of the wing, little turbulence is present. When the load is increased, or the speed decreased, the angle of the wing to the air stream must be increased to a point where the air flow breaks away from the upper surface of the wing. This is known as stalling or bubbling flow, since the air, instead of clinging to the wing, breaks away near the leading edge and leaves what might be called a turbulent void above the upper wing surface, nullifying the accelerated flow which was responsible for the greater part of the lift of the wing.

When this occurs, the wing loses a large portion of its lift. Flow, however, will re-establish briefly and break again, the cycle being repeated continuously, resulting in a severe

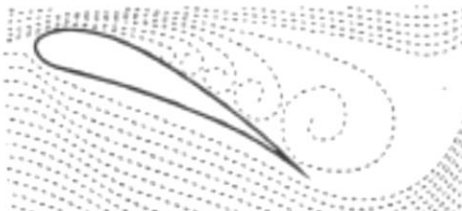
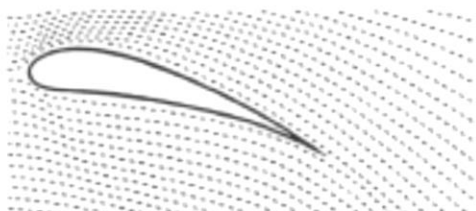
vibration throughout the aircraft as the flow alternately makes and breaks. Anyone who has experienced a stall in an airplane will be familiar with this violent phenomenon.

A fan blade is no different than an airplane wing except that the air usually is being deflected upward rather than downward, the concave side of the blade being the lower surface rather than the upper surface as in the case of an airplane. The result of blade overload is identical. When blade load exceeds that allowable, a violent vibration will take place in the blade as the laminar, or uniform, flow makes and breaks perhaps many times a second.

Another way of looking at this problem is to consider that the available number of blades are set at too steep an angle to be able to move air at the axial velocity which is necessary to maintain a smooth flow over the convex surface. In other words, to move air at the velocity necessary for this blade angle, plus overcoming the static resistance of the system, the total pressure which would have to be maintained for an air flow corresponding to this angle is greater than the total pressure capability of the given number of blades at this RPM. Such a condition can only be corrected by decreasing the blade angle until smooth flow is obtained or by increasing the number of blades and the total pressure potential of the fan until the fan's pressure potential equals the pressure necessary to move the specified quantity of air through the system.

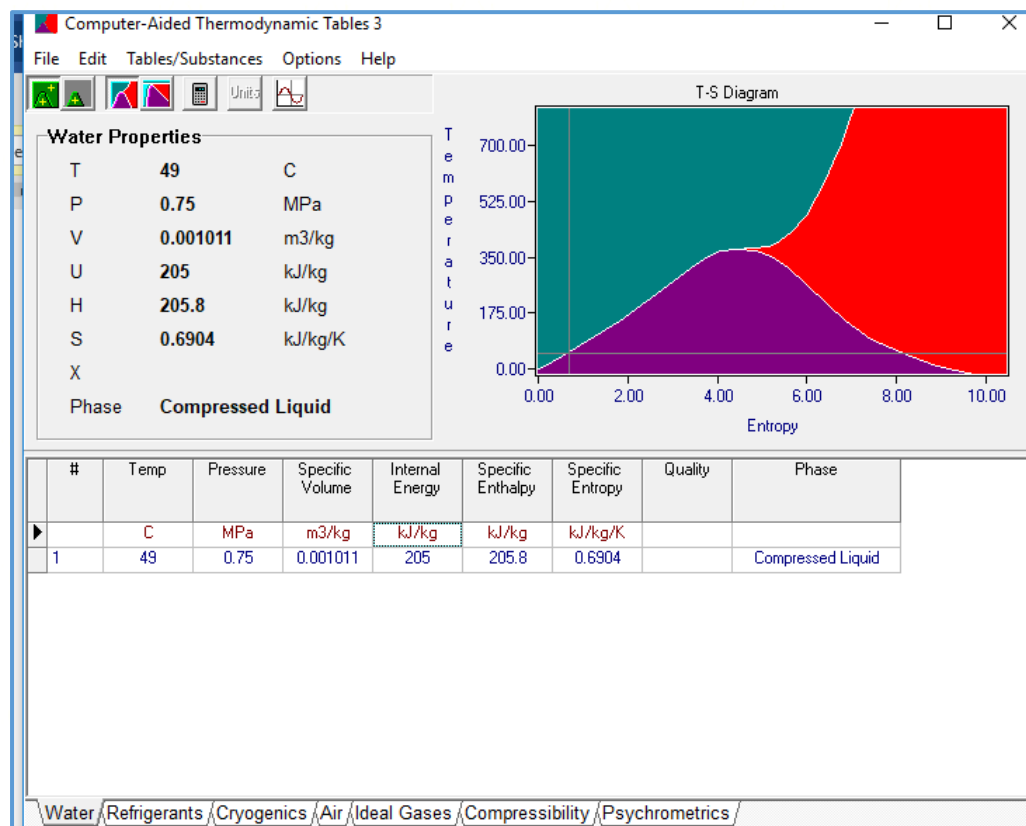
Continued operation under conditions of stalling flow, or blade overload, will significantly shorten the life of the fan. Operation under these conditions will also reduce efficiency to a ridiculously low figure. See the chart under Section 4.4 Checking Blade Load which follows. Note that although air flow remains constant or decreases, horsepower continues to increase with increased blade angle.

In conclusion, if a given fan, in a given installation, can only absorb forty horsepower, for example, the blades may be pitched up to consume fifty horsepower without any increase in air delivery, and possibly with a decrease. As a result, the extra ten horsepower is totally wasted — perhaps worse than wasted. It is good practice to select a sufficient number of blades so that blade load will amount to slightly less than 100% of full blade load when the motor to be used as a driver is fully loaded. There are a number of reasons for allowing this safety factor which are set out in detail below.



THE MOORE COMPANY, MARCELLINE, MD 24416 PHONE (301) 376-3975 FAX (301) 376-2902

## Lampiran 8 Computer-Aided Thermodynamic Table (CATT)



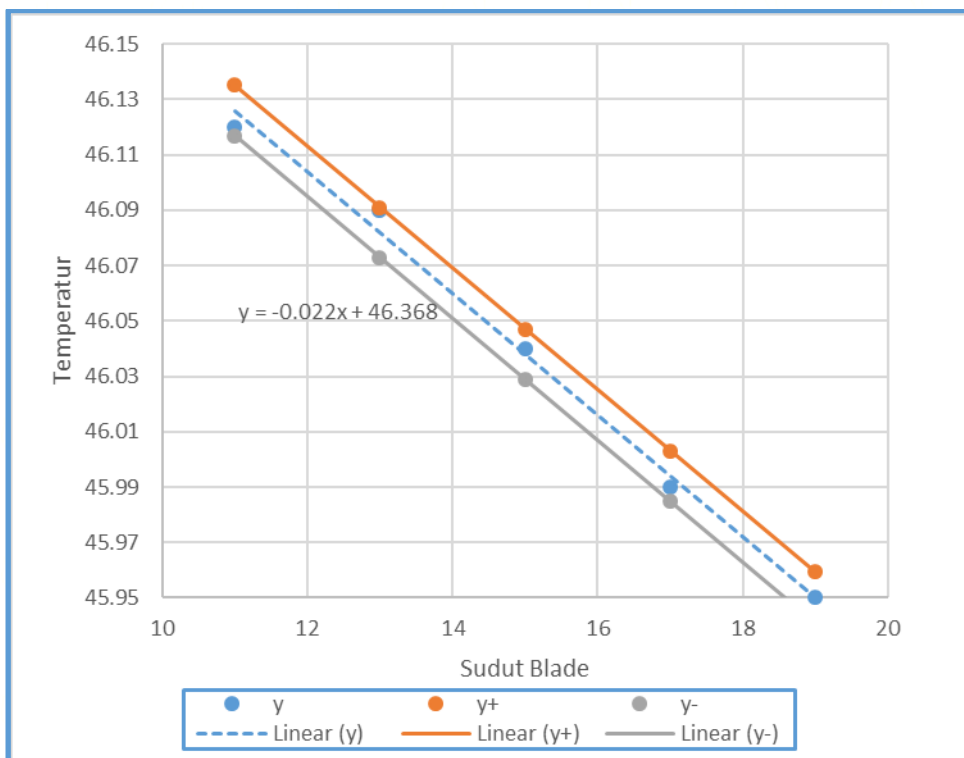
Lampiran 9 Sum Squer Error dan Interval Confidence Fungsi Regresi Grafik  
 Gambar 4.11

x	y	Linier	SSe	Polynomial 2	SSe	Polynomial 3	SSe	Polynomial 4	SSe
a	b	c	d=(b-c)^2	e	f=(b-e)^2	g	h=(b-g)^2	i	j=(b-i)^2
11	46.12	46.13	0.000036	46.12	0.000003	46.11	0.00	46.10	0.00
13	46.09	46.08	0.000064	46.08	0.000182	46.07	0.00	46.03	0.00
15	46.04	46.04	0.000004	46.03	0.000072	46.00	0.00	45.93	0.01
17	45.99	45.99	0.000016	45.98	0.000045	45.93	0.00	45.79	0.04
19	45.95	45.95	0.000000	45.93	0.000328	45.87	0.01	45.61	0.12
sum square error =		0.00		0.00		0.01		0.17	

Error terkecil diperoleh dengan menggunakan regresi linier  $y = -0.022x + 46.368$

Interval confidence									
No	x Sudut blade	y temperatur r	x2	(x0-xrata)^2	(x0-xrata)2/SSx	nilai interval	y regresi	y+interval	y-interval
k	i	m=k^2	n=(k-1)/n data	o=n/Sxx	p=T Table*(MSE*(1/n data)+o)^0.5	c	q = h+p	r = h-p	
1	11	46.12	121	16	0.013913043	0.01	46.13	46.14	46.12
2	13	46.09	169	4	0.003478261	0.01	46.08	46.09	46.07
3	15	46.04	225	0	0	0.01	46.04	46.05	46.03
4	17	45.99	289	4	0.003478261	0.01	45.99	46.00	45.98
5	19	45.95	361	16	0.013913043	0.01	45.95	45.96	45.94
$\Sigma$	75	230.19	1165						

Sxx =  $\frac{\sum m - \sum k}{n} = 1150$  Co varian  
 MSE =  $\frac{\sum d}{(n-2)} = 0.00$  Mean square error  
 T Table = 3.18245 pada df (n data - 2) = 3 dan level signifikan 95% ( $\alpha/2 = 0.025$ )



## Lampiran 10 Sum Squre Error dan Interval Confidence Fungsi Regresi Grafik

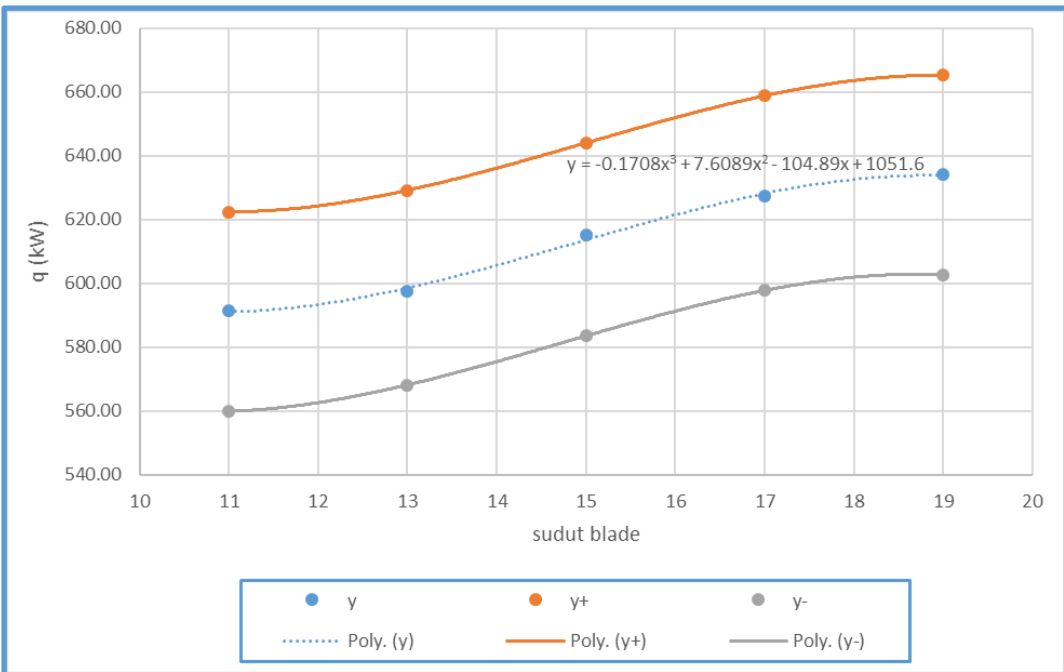
Gambar 4.13

x	y	Linier	SSe	Polynomial 2	SSe	Polynomial 3	SSe	Polynomial 4	SSe
a	b	c	d=(b-c)^2	e	f=(b-e)^2	g	h=(b-g)^2	i	j=(b-i)^2
11	591.31	590.06	1.56	589.45	3.48	591.15	473.32	591.87	0.31
13	597.68	601.57	15.14	601.88	17.70	598.69	236.91	598.85	1.39
15	615.07	613.07	4.00	613.70	1.88	613.80	4.01	617.25	4.76
17	627.24	624.57	7.12	624.89	5.51	628.30	200.85	630.93	13.59
19	634.04	636.07	4.13	635.47	2.03	633.99	439.91	639.88	34.12
$\sum \text{sum square error} =$		31.95		30.60		30.60	1,355.00		54.17

Error terkecil diperoleh dengan menggunakan regresi polynomial 3 yaitu  $y = -0.1708x^3 + 7.6089x^2 - 104.89x + 1051.6$

Interval confidence									
No	x Sudut blade	y Kalor	x2	(x0-xrata)^2	(x0-xrata)2/Ssx	nilai interval	y regresi	y+interval	y-interval
	k	I=b	m=k^2	n=(k-Σk/n data)^2	o=n/Sxx	p=T Table*(MSE*(1/n data)+o)^0.5	h	q = h+p	r = h-p
1	11	591.31	121	16	0.01	31.28	591.15	622.43	559.87
2	13	597.68	169	4	0.00	30.51	598.69	629.20	568.18
3	15	615.07	225	0	0.00	30.25	613.80	644.05	583.56
4	17	627.24	289	4	0.00	30.51	628.30	658.81	597.79
5	19	634.04	361	16	0.01	31.28	633.99	665.27	602.70
$\Sigma$	75	3065.335	1165						

$S_{xx} = \sum m - \sum k / n \text{ data} = 1150$  Co varian  
 $MSE = \sum h / (n \text{ data}-2) = 451.67$  Mean square error  
 $T \text{ Table} = 3.18245$  pada df (n data -2) = 3 dan level signifikan 95% ( $\alpha/2 = 0.025$ )



## Lampiran 11 Sum Squire Error dan Interval Confidence Fungsi Regresi Grafik

### Gambar 4.14

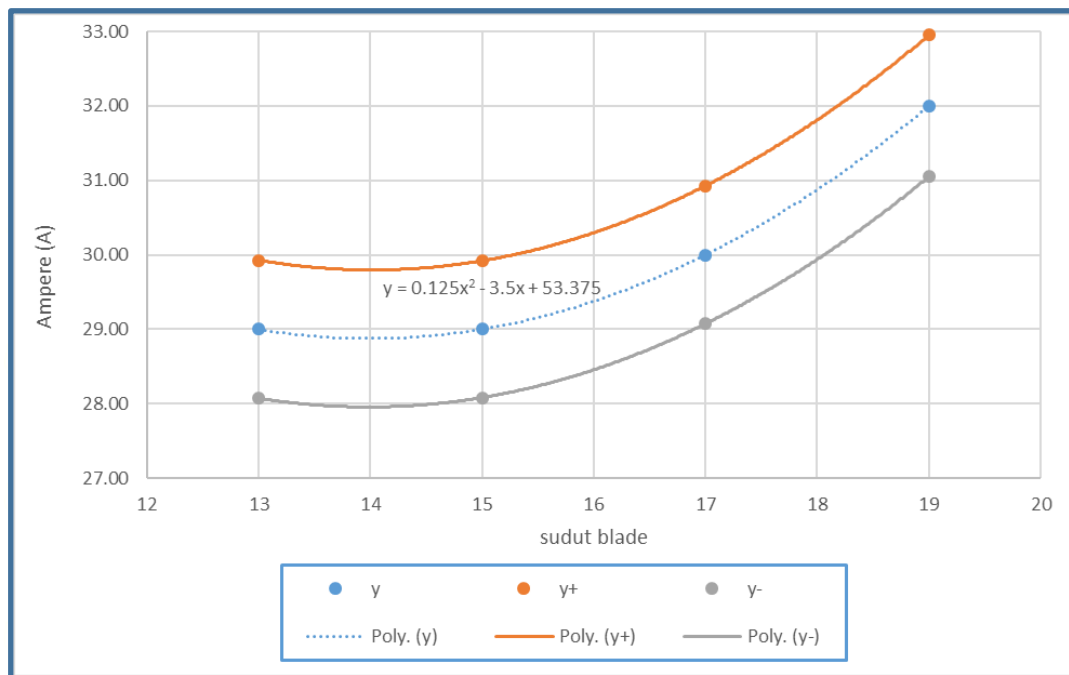
x	y	Linier	SSe	Polynomial 2	SSe	Polynomial 3	SSe	Polynomial 4	SSe
a	b	c	$d=(b-c)^2$	e	$f=(b-e)^2$	g	$h=(b-g)^2$	i	$j=(b-i)^2$
11	28	27.5	0.25	30	4	30	4	30	4
13	29	28.5	0.25	29	0	29	0.00	29	0.00
15	29	29.5	0.25	29	0	29	0.00	29	0.00
17	30	30.5	0.25	30	0	30	0.00	30	0.00
19	32	31.5	0.25	32	0	32	0.00	32	0.00
sum squire error =			1.25		4.00			4.00	4.00

Error terkecil diperoleh dengan menggunakan regresi polynomial 2 yaitu  $y = 0.125x^2 - 3.5x + 53.375$

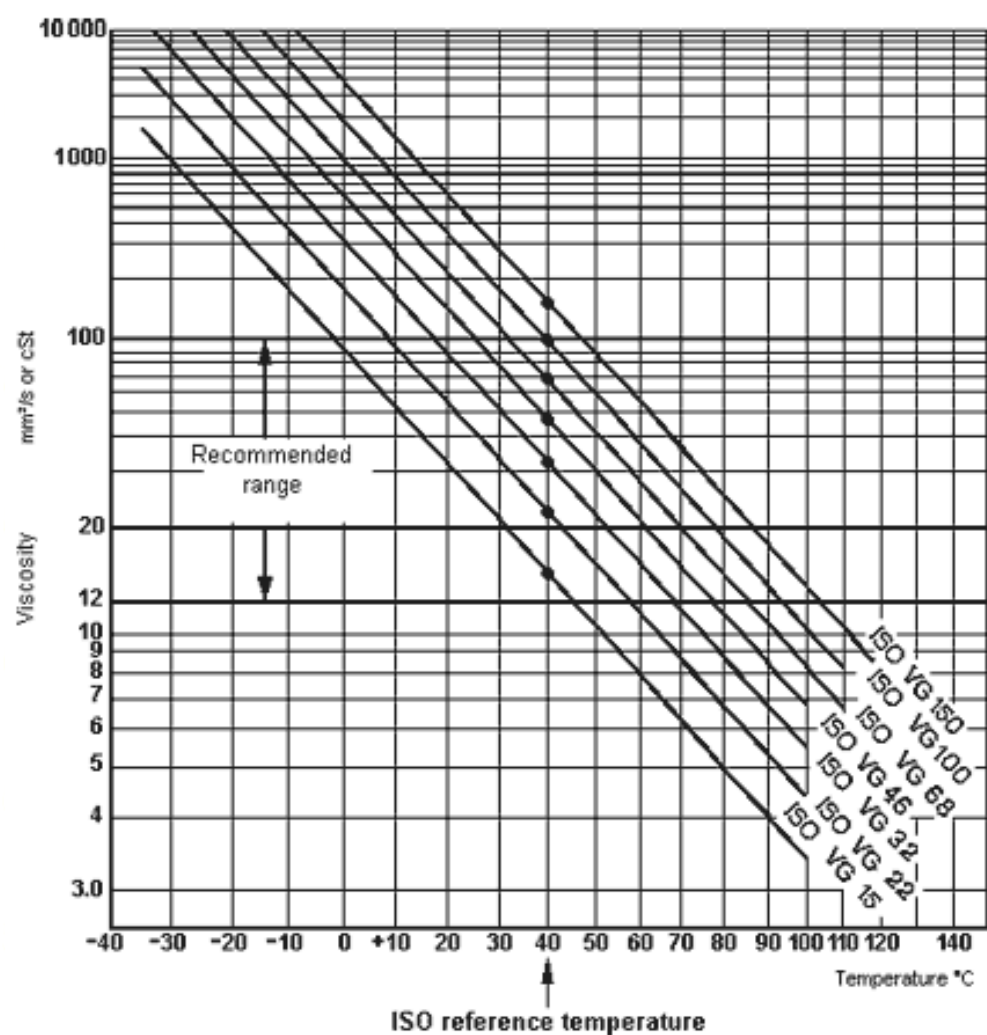
Interval confidence									
No	x Sudut blade	y ampere	x2	$(x_0-xrata)^2$	$(x_0-xrata)^2/SSx$	nilai interval	y regresi	y+interval	y-interval
	k	$I=b$	$m=k^2$	$n=(k-\sum k/n \text{ data})^2$	$o=n/Sxx$	$p=T\text{ Table}^*(MSE/(1/n \text{ data})+o)^{0.5}$	e	$q=h+p$	$r=h-p$
1	11	28.00	121	16	0.01	0.95	30.00	30.95	29.05
2	13	29.00	169	4	0.00	0.93	29.00	29.93	28.07
3	15	29.00	225	0	0.00	0.92	29.00	29.92	28.08
4	17	30.00	289	4	0.00	0.93	30.00	30.93	29.07
5	19	32.00	361	16	0.01	0.95	32.00	32.95	31.05
$\Sigma$	75	148.00	1165						

$Sxx = \sum m - \sum k/n \text{ data} = 1150$   
 $MSE = \sum d / (n \text{ data} - 2) = 0.42$   
 $T\text{ Table} = 3.18245$

Co varian  
Mean square error  
pada df  $(n \text{ data} - 2) = 3$  dan level signifikan 95% ( $\alpha/2 = 0.025$ )



Lampiran 12 Grafik viscositas DTE Oil Ligt terhadap temperatur



9 Halaman ini sengaja dikosongkan )

## BIOGRAFI PENULIS



Erryawan Kusuma, lahir di Surabaya 21 Maret 1979, Memulai pendidikan formal di Sekolah Dasar Dawuan 1 Situbondo, kemudian melanjutkan ke SMPN 1 Situbondo dan SMUN 1 Situbondo, Penulis melanjutkan ke jenjang Strata-1 di Teknik Mesin ITS pada tahun 1997.

Setelah menamatkan pendidikan S1 penulis bekerja pada PT. Pembangkitan Jawa Bali di Unit Muara Karang mulai tahun 2003 sampai dengan 2018. Saat di Muara Karang sebagian besar posisi penulis ada di divisi pemeliharaan Gas Turbin GE dan Mitsubishi. Tahun 2018 penulis pindah tugas ke UP Paiton 12 di divisi Engineering. Atas program beasiswa Pasca Sarjana dari PT. PJB di tahun 2016 penulis memulai menempuh pendidikan S2 di Teknik Mesin ITS Surabaya bidang keahlian Manajemen Energi hingga 2018.

Dengan adanya tesis ini, penulis berharap akan dapat menambah ilmu pengetahuan dan wawasan agar dapat bermanfaat bagi semua. Untuk memudahkan saran dan kritik email dapat dikirimkan ke:

[Erryawan@PTPJB.com](mailto:Erryawan@PTPJB.com)